



## รายงานการวิจัย

โครงการวิจัยเรื่อง ภาษาไทย การพัฒนาเตารีดไฟฟ้าโดยใช้วิธีการเหนี่ยวนำ  
แบบผสมสัมัญญาณควบคุมความร้อน

ภาษาอังกฤษ Electric Iron Development using by  
Induction Heating Control

คณะผู้วิจัย

- |                |                |
|----------------|----------------|
| 1. นายอนันต์   | โสภิน          |
| 2. นายเฉลิมชนา | ตั้งวชิรพันธุ์ |

โครงการวิจัยทุนสนับสนุนงานวิจัยของมหาวิทยาลัยเทคโนโลยีราชมงคลกรุงเทพ

งบประมาณแผ่นดิน ปี พ.ศ. 2553

มหาวิทยาลัยเทคโนโลยีราชมงคลกรุงเทพ

## กิตติกรรมประกาศ

การวิจัยเรื่อง การพัฒนาเตารีดไฟฟ้าโดยใช้วิธีการเหนี่ยวนำแบบสมสัญญาณควบคุมความร้อน (Electric Iron Development using by Induction Heating Control) นี้ ได้รับเงินทุนอุดหนุนในการทำวิจัยจากงบประมาณแผ่นดิน ประเภทการวิจัยประยุกต์ สาขาวิชากรรมศาสตร์ และ อุตสาหกรรมวิจัย ประจำปีงบประมาณ 2553 โดยการเสนอผ่านทางสถาบันวิจัยและพัฒนามหาวิทยาลัยเทคโนโลยีราชมงคลกรุงเทพ ซึ่งทางสถาบันวิจัยและพัฒนาได้อ่านวิเคราะห์และให้คำแนะนำแนวทางในการทำวิจัย ตลอดจนได้ช่วยแก้ปัญหาในขั้นตอนการดำเนินการวิจัยในบางขั้นตอน ที่ยุ่งยากให้ลุล่วงไปได้ด้วยดี และการทำวิจัยในครั้งนี้สำเร็จได้ด้วยความร่วมมือของทีมงานวิจัย และผู้ที่อยู่เบื้องหลังทุกท่านที่ให้คำแนะนำที่ไม่สามารถกล่าวได้หมดในที่นี้

นายอนันต์ ไสวิณ  
นายเฉลิมชนม์ ตั้งวชิรพันธุ์  
ผู้ดำเนินการวิจัย



## บทคัดย่อ

งานวิจัยนี้นำเสนอการออกแบบและสร้างเตารีดไฟฟ้าโดยวิธีการเหนี่ยวนำแบบสมดุลภานุญาณ ควบคุมความร้อนสำหรับเตารีดไฟฟ้า โดยอาศัยหลักการเหนี่ยวนำทางสนามแม่เหล็กไฟฟ้าทำให้เกิดความร้อนขึ้นที่ชั้นงาน และถ่ายเทความร้อนลงไปในแผ่นรีด โดยใช้มอสเฟตเป็นอุปกรณ์ในการสวิตช์ทำงานที่ความถี่ 35 กิโลเฮริซ โดยการทดสอบการทำงานที่แรงดันไฟฟ้ากระแสตรง 50 โวลต์ กระแสอินพุตประมาณ 5 แอมป์ เมื่อนำมาทดสอบโดยการปรับแรงดันที่จ่ายให้กับมอสเฟตเพิ่มขึ้น ทำให้มีความร้อนเพิ่มขึ้นได้ถึง 360 องศาเซลเซียส และเมื่อทำการทดสอบโดยการปรับความถี่ให้สูงและต่ำกว่า 35 KHz อุณหภูมิที่ได้จะลดลง ซึ่งแสดงให้เห็นว่าที่ความถี่เรโซนแนนซ์จะมีการส่งผ่านพลังงานมากที่สุด ในการทดสอบการใช้พลังงานไฟฟ้าพบว่า วิธีการนี้ทำให้ลดการใช้พลังงานไฟฟ้าได้ถึง 5 เท่าของเตารีดไฟฟ้าแบบเดิมในอุณหภูมิที่เท่ากัน การสร้างเตารีดไฟฟ้าแบบนี้ใช้ต้นทุนต่ำ สามารถนำไปประยุกต์ใช้งานอุตสาหกรรมเครื่องใช้ไฟฟ้าสำหรับเตารีดไฟฟ้าต่อไป

## Abstract

This research presents the design and devise electrical iron by using induction heating control. The principle of induction heating is made up the temperature and heat transfer into the iron. The MOSFETs transistors are using oscillate the frequency at 35 KHz. In the operate, set up the voltages  $50V_{DC}$  and currents 5A. There test are varies the frequency are below and make up, then the temperatures are decrease. When the resonance frequency, the power is maximum power transfer. In this case power testing, the power is using in operate decrease about 500 percents when the compare with the old electrical iron. This type of electrical iron are low cost and application into the electrical consumer.

## สารบัญ

หน้า

### กิตติกรรมประกาศ

#### บทคัดย่อ

#### สารบัญ

#### สารบัญตาราง

#### สารบัญภาพ

### บทที่ 1 บทนำ

1.1 ความเป็นมาของปัญหา	1
1.2 วัตถุประสงค์	2
1.3 ขอบเขตการวิจัย	2
1.4 วิธีดำเนินการวิจัย	2
1.5 ประโยชน์ที่คาดว่าจะได้รับ	3

### บทที่ 2 หลักการและทฤษฎีการเหนี่ยวนำความร้อน

2.1 บทนำ	4
2.2 ความเป็นมาของการเหนี่ยวนำความร้อน	5
2.3 พื้นฐานการเหนี่ยวนำความร้อน	6
2.4 การหาค่าความเหนี่ยวนำ	9
2.5 การเหนี่ยวนำทางสนามแม่เหล็กไฟฟ้า	10
2.6 ระยะความลึกของสนามแม่เหล็กไฟฟ้า	11
2.7 ค่าความต้านทานจำเพาะของโลหะกับอุณหภูมิ	13
2.8 ความซึมซาบทางแม่เหล็กของโลหะกับอุณหภูมิ	15
2.9 ความถี่	15
2.10 หลักการพากความร้อน	16
2.11 วงจรเรโซแนนซ์	17
2.11.1 วงจรเรโซแนนซ์แบบอนุกรม	18
2.11.2 วงจรเรโซแนนซ์แบบขนาน	23
2.12 การออกแบบทดลองเหนี่ยวนำ	26
2.13 การประมาณกำลังงานของเครื่องเหนี่ยวนำความร้อน	28

<b>บทที่ 3 การศึกษาและออกแบบแบบง่ายที่ใช้ในระบบหนี้ยน้ำความร้อน</b>	
3.1 วิธีดำเนินการวิจัย	29
3.1.1 ขั้นตอนและการศึกษาข้อมูล	29
3.1.2 แผนผังการดำเนินงาน	30
3.2 การออกแบบการวิจัย	31
3.2.1 ภาควงจรเหล็กจ่ายกำลัง	31
3.2.2 ภาควงจรกำเนิดความถี่	35
3.2.3 ภาควงจรขับเกต	36
3.2.4 วงจรขยายสัญญาณเอาต์พุตแบบไฮล์ฟบริดจ์และแบบฟูลบริดจ์	38
3.2.5 วงจร LC เรโซแนนซ์	40
3.2.6 การออกแบบวงจรใช้งานในเตารีด	43
3.2.7 การออกแบบแผ่นความร้อนและโครงสร้างของเตารีด	46
3.3 เครื่องมือที่ใช้ในการวิจัย	47
<b>บทที่ 4 ผลการวิจัย</b>	
4.1 การทดสอบวงจรการทำงาน	50
4.1.1 วงจรควบคุมกำเนิดสัญญาณความถี่	50
4.1.2 วงจรขยายและแยกสัญญาณทางแสง	51
4.1.3 วงจรอินเวอร์เตอร์	52
4.1.4 ลักษณะของเหล็กเมื่อถูกหนีบยัน้ำ	53
4.2 การวิเคราะห์และการทดสอบชุดหนี้ยน้ำความร้อน	54
4.2.1 ผลจากการทดสอบการแผ่กระจายความร้อน	54
4.2.2 ผลจากการจำลองการทำงานของการแผ่กระจายความร้อน	54
4.2.3 ผลจากการทดสอบการให้ความร้อน	57
<b>บทที่ 5 สรุปผลการวิจัยและข้อเสนอแนะ</b>	
5.1 สรุปผลการวิจัย	61
5.2 ปัญหาของงานวิจัย	62
5.3 ข้อเสนอแนะ	62
<b>บรรณานุกรม</b>	

## สารบัญภาพ

	หน้า
ภาพที่ 2.1 พื้นฐานการเห็นี่ยวนำความร้อน	7
ภาพที่ 2.2 หม้อแปลงไฟฟ้าซึ่งเป็นการเห็นี่ยวนำกระแสในขดลวดทุติยภูมิ	7
ภาพที่ 2.3 หม้อแปลงไฟฟ้าซึ่งขดลวดทางด้านทุติยภูมิพันเพียงรอบเดียว	7
ภาพที่ 2.4 แสดงสนามแม่เหล็กในสภาพวัตถุต่างๆ	8
ภาพที่ 2.5 แสดงความหนาแน่นของกระแสและค่าของความลึกเชิงผิว	12
ภาพที่ 2.6 ชี้นงานที่ถูกคลื่นออกเป็นแผ่น	12
ภาพที่ 2.7 แสดงค่าความต้านทานจำเพาะของโลหะกับอุณหภูมิ	13
ภาพที่ 2.8 ลักษณะการใช้งานของเครื่องให้ความร้อนแบบเห็นี่ยวนำในย่านความถี่ต่างๆ	15
ภาพที่ 2.9 แสดงวงจรเรโซแนนซ์แบบอนุกรมและแบบขนาน	18
ภาพที่ 2.10 วงจรเรโซแนนซ์แบบอนุกรม	18
ภาพที่ 2.11 กราฟความสัมพันธ์ของ $X_L$ และ $X_C$ ต่อความถี่สำหรับวงจร RLC แบบอนุกรม	19
ภาพที่ 2.12 อิมพิเดนซ์รวมและกระแสที่ไหลในวงจร RLC แบบอนุกรม ที่ความถี่ต่างๆ	20
ภาพที่ 2.13 ลักษณะสัญญาณแรงดันของ $V_R, V_C$ และ $V_L$ ที่จุดเรโซแนนซ์	22
ภาพที่ 2.14 วงจรเรโซแนนซ์แบบขนาน	23
ภาพที่ 2.15 วงรสมูลของวงจรเรโซแนนซ์แบบขนาน	24
ภาพที่ 2.16 กราฟแสดงค่าอิมพิเดนซ์และกระแสกับความถี่	25
ภาพที่ 2.17 การออกแบบขดลวดเห็นี่ยวนำกับค่าอินดักเต้นซ์	27
ภาพที่ 2.18 ตัวอย่างของขดลวดเห็นี่ยวนำชนิดต่างๆ	28
ภาพที่ 3.1 แสดงบล็อกโดยละเอียดการทำงานของ Induction Heating	31
ภาพที่ 3.2 แสดงเพาเวอร์ซัพพลายที่ใช้ในส่วนของวงจรกำเนิดความถี่	32
ภาพที่ 3.3 แหล่งจ่ายกำลังในส่วนของวงจรขับเกต	32
ภาพที่ 3.4 แหล่งจ่ายกำลังในส่วนของวงจรขับเกต	33
ภาพที่ 3.5 แหล่งจ่ายกำลังในส่วนของวงจรภาคกำลัง	34
ภาพที่ 3.6 แหล่งจ่ายกำลังในส่วนของวงจรภาคกำลัง	34
ภาพที่ 3.7 แหล่งจ่ายกำลังในส่วนของวงจรภาคกำลัง	34
ภาพที่ 3.8 แสดงวงจรกำเนิดความถี่ที่ต่ออยู่กับวงจร RC delay	35
ภาพที่ 3.9 แสดงการทำงานของ IC ขับเกต เบอร์ TLP250	36
ภาพที่ 3.10 แสดงการทำงานของ IC ขับเกต เบอร์ PC923	37

## สารบัญภาพ (ต่อ)

ภาพที่ 3.11 วิจารณญาณเอกสารพุตแบบยาล์ฟบริดจ์	38
ภาพที่ 3.12 แสดงวิจารณญาณเอกสารพุตแบบฟูลบริดจ์	39
ภาพที่ 3.13 วิจารณ์แนวโน้ม	40
ภาพที่ 3.14 แสดงวิจารณ์แนวโน้ม	41
ภาพที่ 3.15 แสดงวิจารณ์อินเวอร์เตอร์	43
ภาพที่ 3.16 แสดงวิจารณ์ใช้งานจริงที่ไฮจีบีที	44
ภาพที่ 3.17 แสดงวิจารณ์ใช้ในเตารีด	44
ภาพที่ 3.18 วิจารณ์น้ำความร้อนที่สร้างสำเร็จแล้วทั้งแบบยาฟล์บริดจ์และฟูลบริดจ์	45
ภาพที่ 3.19 แสดงวิจารณ์ที่ใช้ประกอบลงเตารีด	45
ภาพที่ 3.20 แสดงแผ่นความร้อนของเตารีด	46
ภาพที่ 3.21 แสดงเตารีดที่ประกอบเสร็จสมบูรณ์	47
ภาพที่ 3.22 เครื่องมือที่ใช้ในการสร้างและทดสอบ	48
ภาพที่ 3.23 แสดงโปรแกรม Quick Field ที่ใช้ในการจำลองการทำงาน	49
ภาพที่ 4.1 แสดงสัญญาณที่ได้จากการกำเนิดความถี่	50
ภาพที่ 4.2 แสดงสัญญาณที่ได้จากการกลับเฟสสัญญาณ	51
ภาพที่ 4.3 แสดงสัญญาณที่สำหรับขับเกต	51
ภาพที่ 4.4 วิจารณ์อินเวอร์เตอร์ที่ทำการปรับปรุงโดยใช้มอสเฟต	52
ภาพที่ 4.5 แสดงสัญญาณจากการสวิตช์ของมอสเฟต	52
ภาพที่ 4.6 แสดงสัญญาณที่ได้จากการวัดคร่อมขดลวด	53
ภาพที่ 4.7 แสดงลักษณะการเกิดความร้อนจากการเหนี่ยวนำ	53
ภาพที่ 4.8 แสดงการแผ่กระจายเส็นแรงแม่เหล็กและระดับความร้อน	55
ภาพที่ 4.9 แสดงทิศทางการแผ่กระจายเส็นแรงแม่เหล็กและระดับความร้อน	55
ภาพที่ 4.10 แสดงเส็นแรงแม่เหล็กและการแผ่กระจายเส็นแรงแม่เหล็ก	56
ภาพที่ 4.11 แสดงจุดรวมของการแผ่กระจายเส็นแรงแม่เหล็ก	56
ภาพที่ 4.10 แสดงสัญญาณที่วัดจากขดลวดที่พันยึดกับแผ่นความร้อน	59
ภาพที่ 4.11 แสดงกำลังงานที่ใช้ของเตารีดขณะความร้อนสูงสุด	60

## สารบัญตาราง

	หน้า
ตารางที่ 3.1 แผนผังการดำเนินงาน	30
ตารางที่ 4.1 แสดงความสัมพันธ์ของกระแส แรงดัน และอุณหภูมิ	57
ตารางที่ 4.2 แสดงความสัมพันธ์ของพลังงานที่ใช้และอุณหภูมิที่ได้ เมื่อทำการปรับความถี่ในการใช้งาน	58
ตารางที่ 4.3 ผลการทดลองจากการใช้งานจริงเมื่อมีโหลดเป็นแผ่นหน้าเตารีด	59



## บทที่ 1

### บทนำ

#### 1.1 ความเป็นมาของปัญหา

ปัจจุบันในประเทศไทยมีจำนวนประชากร 70 ล้านคน ซึ่งประชากรในประเทศไทยส่วนอาชีพนั้น มีเครื่องนุ่งห่มที่แตกต่างกันตามลักษณะภูมิประเทศและวัฒนธรรมท้องถิ่น แต่เครื่องนุ่งห่มส่วนใหญ่ หลังจากการซักทำความสะอาดต้องอาศัยการรีดให้เรียบ ซึ่งทุกครัวเรือนจะมีเตารีดไฟฟ้าสำหรับใช้งาน โดยเตารีดไฟฟ้าที่นิยมใช้ในปัจจุบันนั้นจะใช้กำลังงานไฟฟ้าไม่ต่ำกว่า 1,000 วัตต์ ไม่ว่าจะเป็นเตารีดที่ใช้ไอน้ำเป็นแหล่งความร้อน หรือจะเป็นเตารีดที่ใช้ขัดลวดความร้อนเพื่อให้เกิดความร้อน การรีดผ้านั้นจะเกิดขึ้นสัปดาห์ละ 1 ครั้ง บางครัวเรือนสัปดาห์ละ 2-3 ครั้ง และบางครัวเรือนจะเกิดขึ้นในทุกวัน ซึ่งเมื่อคำนวณถึงพลังงานไฟฟ้าที่ใช้ในการรีดเครื่องนุ่งห่มต่อปี ภายในประเทศไทยจะใช้พลังงานไฟฟ้าเป็นจำนวนมาก และพฤติกรรมในการใช้เตารีดกำลังวัตต์สูงนั้นกำลังเป็นที่นิยม เนื่องจากเตารีดที่มีใช้ในปัจจุบันจะเน้นรูปร่างของผลิตภัณฑ์ ความสะดวกในการใช้ แต่ไม่ได้คำนึงถึงค่ากำลังงานที่ใช้งานที่ทำให้ต้องสูญเสียพลังงานในการให้ความร้อน ตลอดจนเพิ่มค่าใช้จ่ายในครัวเรือน

จึงได้มีแนวความคิดในการพัฒนางานวิจัย ในด้านการให้ความร้อนอย่างมีประสิทธิภาพแก่เตารีดไฟฟ้า โดยอาศัยหลักการให้ความร้อนแบบเหนี่ยวนำสามารถแม่เหล็กไฟฟ้า ซึ่งสามารถให้ประสิทธิภาพได้สูงถึงร้อยละ 90 โดยความถี่ที่ใช้ในการเหนี่ยวนำโลหะให้เกิดความร้อนนั้นอยู่ในช่วง 10 kHz - 100 kHz และได้มีการพัฒนาเป็นสิ่งประดิษฐ์ คือ เตาเริดไฟฟ้าที่ใช้สนามแม่เหล็กเหนี่ยวนำ ซึ่งจะเป็นนวัตกรรมที่ให้ความร้อนโดยใช้สนามแม่เหล็กเหนี่ยวนำ ดังนั้นงานวิจัยนี้จะเป็นการพัฒนาเตารีดไฟฟ้าที่ให้ความร้อนโดยใช้สนามแม่เหล็กเหนี่ยวนำไปสู่ผู้คน โดยจะทำการสร้างขดลวดเหนี่ยวนำสามารถแม่เหล็กที่มีพิษทางการแพร่กระจายสนามแม่เหล็กเหนี่ยวนำไปสู่ผู้คน แล้วใช้เทคนิคการผสมสัญญาณในการควบคุมอุณหภูมิของผู้คน ความร้อนของเตารีด ซึ่งจะได้เตารีดที่ใช้สนามแม่เหล็กเหนี่ยวน้ำที่มีประสิทธิภาพสูง เวลาในการให้ความร้อนถึงจุดที่เหมาะสมในการรีดน้อย ทำให้ใช้พลังงานต่ำนำไปสู่การอนุรักษ์พลังงาน การพัฒนารูปทรงของผลิตภัณฑ์ และการนำไปใช้ในชีวิตประจำวันอันเป็นการประหยัดพลังงานไฟฟ้าและเป็นประโยชน์ต่อเศรษฐกิจในระยะยาวต่อไป

## 1.2 วัตถุประสงค์

1. ศึกษาการให้ความร้อนแก่เตารีดโดยใช้คลอดเหนี่ยวนำ
2. ศึกษาลักษณะตัวเหนี่ยวนำที่เหมาะสมต่อการเหนี่ยวนำสำหรับเตารีดแบบคลอดเหนี่ยวนำ
3. ศึกษาถึงโลหะที่เหมาะสมสำหรับเตารีดแบบคลอดเหนี่ยวนำ
4. ศึกษาหลักการใช้สัญญาณผสมในการควบคุมความร้อน
5. เพื่อเป็นการส่งเสริมการอนุรักษ์พลังงานไฟฟ้าจากการรีดผ้าในชีวิตประจำวัน

## 1.3 ขอบเขตการวิจัย

1. หาลักษณะของคลอดเหนี่ยวนำสำหรับเตารีดแบบคลอดเหนี่ยวนำที่เหมาะสมในการกระจายความร้อนและความถี่ที่เหมาะสมในการกระจายความร้อนแบบไฟฟ้าสู่ผิวโลหะ
2. หาชนิดของแผ่นโลหะที่เหมาะสมในการกระจายความร้อนที่ใช้ในการรีดผ้าจากเตารีดแบบคลอดเหนี่ยวนำสำหรับเตารีดแบบคลอดเหนี่ยวนำ
3. หาเวลาในการให้อุณหภูมิที่ใช้ในการรีดของเตารีดแบบคลอดเหนี่ยวนำสำหรับเตารีดแบบไฟฟ้าสู่ผิวโลหะ

## 1.4 วิธีดำเนินการวิจัย

1. ศึกษาทฤษฎีและวรรณกรรมที่เกี่ยวข้อง
2. ศึกษาโลหะที่ใช้ในทำเตารีด
3. ออกแบบโครงสร้างของเตารีดที่จะใช้สำหรับเตารีดแบบคลอดเหนี่ยวนำ
4. ออกแบบโครงสร้างของเตารีดที่จะใช้สำหรับเตารีดแบบคลอดเหนี่ยวนำ
5. ทำการสร้างเตารีดสำหรับเตารีดแบบคลอดเหนี่ยวนำ
6. ทำการวิเคราะห์และทดสอบเตารีดสำหรับเตารีดแบบคลอดเหนี่ยวนำ
7. ทดสอบและเก็บข้อมูลพลังงานที่ใช้เทียบกับเตารีดแบบทั่วไป
8. สรุปผลและวิเคราะห์ผล
9. จัดทำรูปเล่มรายงาน
10. เผยแพร่ผลงานวิจัย

สถานทำการทดลอง/เก็บข้อมูลคือ สาขาวิชาวิศวกรรมอิเล็กทรอนิกส์และโทรคมนาคม ภาควิชา  
วิศวกรรมไฟฟ้าและโทรคมนาคม คณะวิศวกรรมศาสตร์ มหาวิทยาลัยเทคโนโลยีราชมงคลกรุงเทพ  
และคณะเทคโนโลยี สาขาวิชาไฟฟ้าและอิเล็กทรอนิกส์ วิทยาลัยเทคโนโลยีสยาม

## 1.5 ประโยชน์ที่คาดว่าจะได้รับ

1. ทำให้ทราบสมรรถนะของการรีดผ้าโดยใช้เตารีดสนามแม่เหล็กเหนี่ยวนำความร้อน
2. ทำให้ทราบตัวแปรที่เหมาะสมที่มีผลต่อการแพร่กระจายสนามแม่เหล็กไฟฟ้า
3. สามารถนำผลงานที่ได้ไปจดสิทธิบัตรหรืออนุสิทธิบัตรได้
4. ทำให้ประหยัดพลังงานไฟฟ้าจากการรีดผ้าและช่วยลดค่าใช้จ่ายในครัวเรือนได้มากขึ้น
5. สามารถถ่ายทอดผลงานวิจัยเตารีดเหนี่ยวนำสนามแม่เหล็กไฟฟ้าสู่ชุมชน และอุตสาหกรรมผลิตภัณฑ์เครื่องใช้ไฟฟ้า
6. สามารถผลิตเพื่อจำหน่ายในเชิงพาณิชย์ได้

## บทที่ 2

### หลักการและทฤษฎีการเหนี่ยวนำความร้อน

#### 2.1 บทนำ

ปัจจุบันประเทศไทยมีจำนวนประชากรประมาณ 70 ล้านคน ซึ่งประชากรในประเทศทุกภาค ส่วนนั้นมีเครื่องนุ่งห่มที่แตกต่างกัน ตามลักษณะภูมิประเทศและวัฒนธรรมท้องถิ่น แต่เครื่องนุ่งห่ม ส่วนใหญ่หลังจากการซักทำความสะอาดแล้วก็ต้องอาศัยการรีดให้เรียบ ซึ่งในการรีดให้เรียบนั้นในทุก ครัวเรือนจะมีเตารีดไฟฟ้าสำหรับใช้งานในการรีด โดยเตารีดไฟฟ้าที่นิยมใช้ในปัจจุบันนี้จะใช้กำลังงาน ไฟฟ้าไม่น้อยกว่า 1,000 วัตต์ ไม่ว่าจะเป็นเตารีดที่ใช้อิน้ำเป็นแหล่งความร้อน หรือจะเป็นเตารีดที่ใช้ กำลังไฟฟ้าส่งผ่านชุด漉ความร้อน เพื่อทำให้เกิดความร้อนในการรีดผ้า การรีดผ้านั้นจะเกิดขึ้น สักดาวท์ละ 1 ครั้ง บ้าง บางครัวเรือนสักดาวท์ละ 2-3 ครั้ง และบางครัวเรือนจะเกิดขึ้นในทุกวัน ซึ่งเมื่อ คำนวณถึงพลังงานไฟฟ้าที่ใช้รีดเครื่องนุ่งห่มต่อปีภายในประเทศไทยจะใช้พลังงานไฟฟ้าเป็นจำนวนมาก และ พฤติกรรมในการใช้เตารีดกำลังวัตต์สูงนั้นก็กำลังเป็นที่นิยม เนื่องจากเตารีดที่มีใช้ในปัจจุบันจะเน้น รูปร่างของผลิตภัณฑ์ความสะดวกในการใช้ แต่ไม่ได้คำนึงถึงค่ากำลังงานที่ใช้งาน ทำให้ต้องสูญเสีย พลังงานในการให้ความร้อน ตลอดจนถึงเป็นการเพิ่มค่าใช้จ่ายในครัวเรือน

จึงได้มีแนวความคิดในการพัฒนางานวิจัย ในการให้ความร้อนแก่เตารีดไฟฟ้าที่สามารถลดการ ใช้พลังงานไฟฟ้าลง โดยที่ประสิทธิภาพในการทำงานยังคงเดิม โดยอาศัยหลักการให้ความร้อนแบบ เหนี่ยวนำสนามแม่เหล็กไฟฟ้า ซึ่งสามารถให้ประสิทธิภาพในการใช้งานได้สูงถึงร้อยละ 90 โดยความถี่ ที่ใช้ในการเหนี่ยวนำโลหะให้เกิดความร้อนนั้นอยู่ในช่วง 10 kHz - 100 kHz และได้มีการพัฒนาเป็น สิ่งประดิษฐ์เตารีดไฟฟ้าที่ใช้สนามแม่เหล็กไฟฟ้าเหนี่ยวนำ งานวิจัยนี้จึงเป็นการพัฒนาเตารีดที่ให้ความ ร้อนโดยใช้สนามแม่เหล็กไฟฟ้าเหนี่ยวนำ โดยจะทำการสร้างชุด漉เหนี่ยวนำสนามแม่เหล็กไฟฟ้าที่มีทิศ ทางการแพร่กระจายสนามแม่เหล็กเหนี่ยวนำไปสู่ผู้รับความร้อน และใช้เทคนิคการผสมสัญญาณในการ ควบคุมอุณหภูมิของแผ่นความร้อนของเตารีด ซึ่งจะได้เตารีดที่ใช้สนามแม่เหล็กไฟฟ้าเหนี่ยวน้ำที่มี ประสิทธิภาพสูง เวลาในการให้ความร้อนถึงจุดที่เหมาะสมในการรีดน้อย ทำให้ใช้พลังงานต่ำนำไปสู่ การอนุรักษ์พลังงาน การพัฒนารูปทรงของผลิตภัณฑ์ และการนำไปใช้ในชีวิตประจำวันอันเป็นการ ประหยัดพลังงานไฟฟ้า และเป็นประโยชน์ต่อเศรษฐกิจในระยะยาวต่อไป

## 2.2 ความเป็นมาของการเหนี่ยวนำความร้อน

ไมเคิล ฟาราเดย์ (Michael Faraday) เป็นผู้ค้นพบหลักการเหนี่ยวนำของสนามแม่เหล็กเป็นคนแรกในปี ค.ศ. 1831 หลักการนี้เป็นพื้นฐานของการเหนี่ยวนำความร้อน (Induction Heating) โดย ไมเคิล ฟาราเดย์ ได้แสดงให้เห็นว่า กระแสสามารถถูกเหนี่ยวนำขึ้นมาได้ในวงจรปิดของวงจรด้วยกฎใด้ ถ้าเราทำให้กระแสที่เหลื่อยในวงจรดัปป์มูนิกิดการเปลี่ยนแปลง ซึ่งหัวใจสำคัญของมัน คือ การเหนี่ยวนำจะเกิดขึ้นในวงจรดัปป์มูนิกิดต่อเมื่อมีกระแสสั่งไปที่วงจรดัปป์มูนิก หลักการเหล่านี้ได้นำมาใช้กับมอเตอร์เครื่องกำเนิดไฟฟ้า หม้อแปลงไฟฟ้า วิทยุสื่อสาร และโทรศัพท์ ฯลฯ และในอุปกรณ์เหล่านี้จะมีสิ่งๆหนึ่งซึ่งถูกมองว่าเป็นความสูญเสียและเป็นสิ่งที่ไม่ต้องการ สิ่งนั้น คือ “ความร้อน” ความร้อนที่เกิดขึ้นนี้ เกิดขึ้นจากการแส่ในวงจรและเส้นแม่เหล็กในวงจรแม่เหล็ก ซึ่งเรียกว่า “กระแสไฟลุก” (Eddy Current) วิศวกรจึงพยายามทุกวิถีทางที่จะทำให้กระแสไฟลุกมีค่าต่ำที่สุดเท่าที่จะทำได้ โดยใช้แผ่นลามิเนท (Laminate) มาทำเป็นทางเดินแม่เหล็กของหม้อแปลงและมอเตอร์ ทำให้ความต้านทานแม่เหล็กตามแนวเส้นแรงของแม่เหล็กมีค่าต่ำ แต่ความต้านทานทางไฟฟ้าของแผ่นลามิเนทซึ่งมีทิศทางตั้งฉากกับแนวเส้นแรงแม่เหล็กมีค่าสูง

จากการทดลองของ ฟาราเดย์ ทำให้เกิดทฤษฎีต่างๆมากมาย เช่น Lenzen และ Neaman ซึ่งได้พิสูจน์ให้เห็นว่ากระแสที่ถูกเหนี่ยวนำจะต้านกับเส้นแรงแม่เหล็กที่กำลังเหนี่ยวนำ และจะแปรผันกับความถี่ Foucault ได้ตั้งทฤษฎี Eddy Current ในปี ค.ศ. 1868 และ Heaviside ได้แต่งบทความซึ่วว่า “The Induction of Current Core” เป็นบทความที่เป็นเรื่องราวของการส่งถ่ายพลังงานจากคลอดไปยังแท่งโลหะ (Solid Core) และ Thomson ก็มีส่วนช่วยในเรื่องของการเหนี่ยวนำความร้อนอย่างมาก

ในช่วงแรกๆ ได้มีการสร้างเครื่องหลอมโลหะชนิดความถี่ปานกลาง เป็นเตาหลอมแบบเหนี่ยวนำแกนเหล็ก ขึ้นในฝรั่งเศส สวีเดน และ อิตาลี และต่อมาก็เกิดมีแนวความคิดที่ใช้คากาชิเตอร์ในการขาดเชยรีแอคตีฟเพาเวอร์ชั้น Dr. Northrup ที่เป็นบุคคลที่พัฒนาปรับปรุงเทคโนโลยีนี้มาใช้ในอุตสาหกรรม ในระหว่างสงครามโลกครั้งที่ 2 ได้มีการพัฒนาจนถึงขั้นที่สามารถทำให้การเหนี่ยวนำความร้อนมีความแม่นยำสูง ด้วยเหตุผลที่ว่า การเหนี่ยวนำความร้อนไม่ต้องการแหล่งกำเนิดพลังงานความร้อนจากภายนอก ดังนั้นจึงมีการสูญเสียน้อยและทำความสะอาดได้ง่าย เพราะไม่มีส่วนได้สัมผัสกัน

### 2.3 พื้นฐานการเหนี่ยวนำความร้อน

การเหนี่ยวนำทำให้เกิดความร้อนขึ้น จะประกอบไปด้วยสามปัจจัยพื้นฐานคือ 1). การเหนี่ยวนำเกี่ยวกับภาวะสนามแม่เหล็กไฟฟ้า 2). ผลกระทบเชิงผิว และ 3). การถ่ายเทความร้อน ซึ่งเป็นทฤษฎีมูลฐานของการเหนี่ยวนำความร้อนคล้ายกับการเปลี่ยนรูป เป็นการเหนี่ยวนำทางสนามแม่เหล็กไฟฟ้าและผลกระทบเชิงผิว ซึ่งสามารถอธิบายได้ในภาพที่ 2.1 เป็นภาพที่แสดงระบบพื้นฐานการเหนี่ยวนำความร้อน จะประกอบไปด้วยเครื่องทำความร้อนที่เป็นชุดลวดเป็นส่วนที่เหนี่ยวนำความร้อน เพื่อเป็นการอธิบายการเหนี่ยวนำเกี่ยวกับภาวะของสนามแม่เหล็กไฟฟ้าและผลกระทบเชิงผิว ในภาพที่ 2.2 เป็นการแสดงตัวอย่างอย่างจากหม้อแปลงไฟฟ้า ซึ่งเป็นการเหนี่ยวนำกระแสในชุดลวดทุติยภูมิของหม้อแปลงหรือที่เรียกว่า คอยล์ (coil) ซึ่งหม้อแปลงไฟฟ้าจะทำหน้าที่ในการแปลงแรงเคลื่อนไฟฟ้าให้สูงขึ้นหรือต่ำลง แต่ไม่ได้แปลงพลังงานไฟฟ้า นั่นคือ ถ้าไม่มีการสูญเสียพลังงานไฟฟ้าไปให้กับแกนเหล็กไปเป็นพลังงานความร้อนเนื่องจากการกระแสเหนี่ยวนำในแกนเหล็ก (กระแสไฟฟ้า) ตามกฎของเลนส์แล้ว พลังงานไฟฟ้าในชุดลวดทุติยภูมิและในชุดลวดทุติยภูมิต้องเท่ากัน นั่นคือ

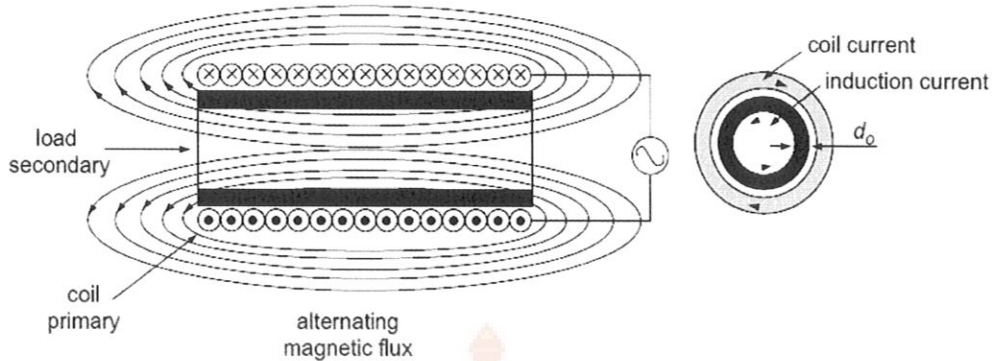
$$P_1 = P_2 \quad (2.1)$$

$$I_1 V_1 = I_2 V_2$$

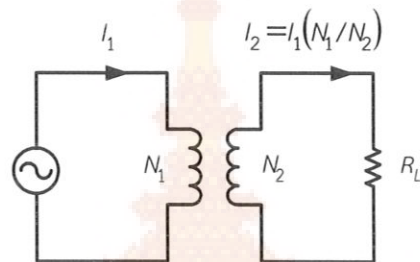
หรือ

$$\frac{V_1}{V_2} = \frac{I_2}{I_1} = \frac{N_1}{N_2} \quad (2.2)$$

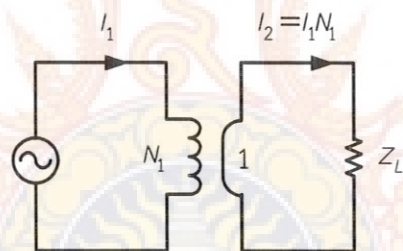
ในภาพที่ 2.3 เมื่อชุดลวดทางด้านทุติยภูมิพันเพียงรอบเดียวจะทำให้  $2N = 1$  และจะทำให้การสูญเสียทางความร้อนเพิ่มขึ้นที่กระแสของโหลด ภาพที่ 2.1 เป็นการแสดงระบบพื้นฐานของการเหนี่ยวนำความร้อน เมื่อมีพลังงานจากแหล่งจ่ายแรงดันไฟฟ้าคร่อมเข้ากับชุดลวดเป็นผลทำให้มีกระแสไฟฟ้าไหลผ่านชุดลวด ซึ่งกระแสไฟฟ้านี้จะทำให้เกิดสนามแม่เหล็กไฟฟ้า และความเข้มของสนามแม่เหล็กจะเพิ่มขึ้นจากค่าศูนย์ไปจนถึงค่าสูงสุดในช่วงเวลาสั้นๆ โดยการขยายตัวของสนามแม่เหล็กไฟฟ้าจะเริ่มจากส่วนกลางของลวดตัวนำ ซึ่งการขยายตัวของเส้นแรงแม่เหล็กนี้จะเป็นการเคลื่อนที่ตัดกับตัวนำที่อยู่กับที่ ดังนั้นจึงส่งผลให้เกิดแรงดันไฟฟ้าเหนี่ยวนำขึ้น การที่กระแสไฟฟ้าไหลผ่านลวดตัวนำแล้ว ทำให้เกิดแรงดันไฟฟ้าเหนี่ยวนำภายในนี้เรียกว่าการเหนี่ยวนำภายในชุดลวด



ภาพที่ 2.1 พื้นฐานการเหนี่ยวนำความร้อน



ภาพที่ 2.2 หม้อแปลงไฟฟ้าซึ่งเป็นการเหนี่ยวนำกระแสในขดลวดทุกดิจิตภูมิ



ภาพที่ 2.3 หม้อแปลงไฟฟ้าซึ่งขดลวดทางด้านทุกดิจิตภูมิพันเพียงรอบเดียว

ภาพที่ 2.1 แสดงการต่อตัวเหนี่ยวนำคู่ร่วมอยู่กับแหล่งจ่ายไฟฟ้ากระแสตรง เมื่อเปิดสวิตช์กระแสไฟฟ้าในวงจรจะให้ผลผ่านตัวเหนี่ยวนำและตัวต้านทานที่ต่อลำดับอยู่ ถ้าปริมาณกระแสไฟฟ้าเพิ่มขึ้นจนถึงค่าสูงสุดก็จะทำให้สนามแม่เหล็กเกิดการขยายตัว และตลอดเวลาที่มีการเคลื่อนที่ตัดกันระหว่างสนามแม่เหล็กกับตัวเหนี่ยวนำก็จะทำให้เกิดแรงดันไฟฟ้าเหนี่ยวนำขึ้น แรงดันไฟฟ้าเหนี่ยวนำที่เกิดขึ้นนี้จะทำให้เกิดกระแสไฟฟ้าเหนี่ยวนำที่จะคงอยู่ต้านการเปลี่ยนแปลงกระแสไฟฟ้าภายในวงจร โดยค่าความเหนี่ยวนำของตัวเหนี่ยวนำ 1 เยนรี หมายถึง การเปลี่ยนแปลงของปริมาณกระแสไฟฟ้า 1 แอมป์ร์/วินาที ทำให้เกิดแรงดันไฟฟ้าเหนี่ยวนำ 1 โวลต์ ดังนั้นค่าความเหนี่ยวนำจะเป็นตัวแสดงว่าแรงดันไฟฟ้าเหนี่ยวนำที่เกิดจากตัวเหนี่ยวนำจะมีปริมาณเท่าไร สำหรับการเปลี่ยนแปลงของกระแสไฟฟ้าที่ให้ผลผ่านตัวเหนี่ยวนำเดียวกัน สมการในการคำนวณหาแรงดันไฟฟ้าเหนี่ยวนำเป็นดังนี้

$$V_L = L \frac{\Delta i}{\Delta t} \quad (2.3)$$

- โดยที่  $L$  คือ ค่าความเหนี่ยวนำ  
 $\Delta i$  คือ การเปลี่ยนแปลงของปริมาณกระแสไฟฟ้า  
 $\Delta t$  คือ การเปลี่ยนแปลงของเวลา

เมื่อค่าความเหนี่ยวนำมีค่ามากจะทำให้เกิดแรงดันไฟฟ้าเหนี่ยวนำมาก และถ้าต้องการเปลี่ยนแปลงกระแสไฟฟ้าเมื่อเทียบกับเวลาที่เพิ่มขึ้น ก็จะทำให้แรงดันไฟฟ้าเหนี่ยวนำมีค่าเพิ่มมากขึ้นด้วย การเปลี่ยนแปลงของกระแสไฟฟ้าในชุดลวด ถ้าเกิดขึ้นอย่างรวดเร็วจะทำให้แรงดันไฟฟ้าเหนี่ยวนำเกิดขึ้นมากด้วย

เมื่อกระแสไฟฟ้าเพิ่มขึ้นจนถึงค่าสูงสุด จะทำให้สนามแม่เหล็กมีปริมาณมากหรือน้อยขึ้นอยู่กับปริมาณกระแสไฟฟ้าก็ถึงค่าสูงสุดด้วย และทำให้สนามแม่เหล็กไฟฟ้าไม่เกิดการขยายตัวอีกต่อไป โดยจะรักษา-rate ดับให้คงที่ไว้ เมื่อกระแสไฟฟ้าคงที่แล้วการเปลี่ยนแปลงของสนามแม่เหล็กจะไม่เกิดขึ้นดังนั้นการเคลื่อนที่ตัดกันระหว่างตัวเหนี่ยวนำและสนามแม่เหล็กที่ทำให้เกิดแรงดันไฟฟ้าเหนี่ยวนำจึงไม่เกิดขึ้น และสุดท้ายกระแสไฟฟ้าเหนี่ยวนำที่จะไปต้านการไหลของกระแสไฟฟ้าในวงจรก็จะไม่เกิดขึ้นด้วยเช่นกัน ดังแสดงในภาพที่ 2.4 (ข) ชุดลวดจะรับพลังงานไฟฟ้าและเก็บไว้ในรูปของพลังงานสนามแม่เหล็ก เช่นเดียวกับกรณีที่ตัวเก็บประจุที่เก็บพลังงานไฟฟ้าในรูปของสนามไฟฟ้านั่นเอง



ภาพที่ 2.4 แสดงสนามแม่เหล็กในสภาวะต่างๆ

ถ้าปรับสวิตซ์ไปที่ตำแหน่ง B ดังแสดงในภาพที่ 2.4 (ค) กระแสไฟฟ้าที่ไหลมาจากแบตเตอรี่จะมีค่าเท่ากับศูนย์และทำให้สนามแม่เหล็กยุบตัวลงมา ทั้งนี้เนื่องจากไม่มีกระแสไฟฟ้าไหลผ่านในวงจร จึงไม่ทำให้เกิดสนามแม่เหล็กอีกต่อไป และถึงแม้เส้นแรงแม่เหล็กจะยุบตัวลงมาแต่ก็ยังเป็นการเคลื่อนที่ตัดกับชุดลวดตัวนำอยู่ เป็นเหตุให้มีการเคลื่อนที่ตัดกันระหว่างตัวเหนี่ยวนำและสนามแม่เหล็ก ส่งผลให้เกิดแรงดันไฟฟ้าเหนี่ยวนำเกิดขึ้นในชุดลวด ซึ่งผลที่ตามมาคือ เกิดกระแสไฟฟ้าเหนี่ยวนำที่จะไหลไปในทิศทางเดียวกันกับกระแสไฟฟ้าของวงจรซึ่งไหลอยู่ก่อนหน้านี้แล้ว ชุดลวดในขณะนี้จะเปลี่ยนพลังงานสนามแม่เหล็กไปเป็นพลังงานไฟฟ้าและคืนพลังงานที่เก็บสะสมไว้ในตอนแรกออกมานะ หลังจาก

เวลาผ่านไปสนามแม่เหล็กจะยุบตัวหมดแรงดันไฟฟ้าเหนี่ยวนำก็จะกลับเป็นศูนย์ และกระแสไฟฟ้าเหนี่ยวนำภายในวงจรก็จะไม่เกิดขึ้นอีก แรงดันไฟฟ้าเหนี่ยวนำที่เกิดขึ้นในชุดลวดนี้ ทำหน้าที่ด้านแรงดันไฟฟ้าที่จ่ายออกมายังแบตเตอรี่ และความสามารถของชุดลวดหรือตัวเหนี่ยวนำที่ทำให้เกิดแรงดันไฟฟ้าเหนี่ยวนำขึ้นภายใน ซึ่งเกิดจากการเปลี่ยนแปลงของกระแสไฟฟ้า หรือที่นิยมเรียกว่า คือความเหนี่ยวนำ หน่วยเป็น เอนรี่ (H)

## 2.4 การหาค่าความเหนี่ยวนำ

ค่าความเหนี่ยวนำถูกกำหนดโดย 4 ปัจจัยดังนี้

1. จำนวนรอบของชุดลวด
2. พื้นที่ของชุดลวด
3. ความยาวของชุดลวด
4. วัสดุที่นำมาทำแกนภายในชุดลวด

### (1) จำนวนรอบของชุดลวด

ถ้าตัวเหนี่ยวนำมีจำนวนรอบของชุดลวดมากขึ้น สนามแม่เหล็กที่เกิดจากการไฟฟ้าผ่านของกระแสไฟฟ้าในชุดลวดก็จะเกิดขึ้นมากด้วย สนามแม่เหล็กปริมาณมากนี้จะทำให้เกิดแรงดันไฟฟ้าขึ้นในตัวเหนี่ยวนำ และจากการที่มีเส้นแรงแม่เหล็กจำนวนมากตัดกับชุดลวด จึงส่งผลให้ค่าความเหนี่ยวนำมากตามไปด้วย ดังนั้น ค่าความเหนี่ยวนำจึงเป็นสัดส่วนโดยตรงกับจำนวนรอบของชุดลวด

### (2) พื้นที่ของชุดลวด

ถ้าพื้นที่ของชุดลวดเพิ่มขึ้นสำหรับชุดลวดที่มีจำนวนรอบเดียว จะทำให้เส้นแรงแม่เหล็กมีจำนวนมากขึ้นด้วย และการมีสนามแม่เหล็กเพิ่มขึ้น จะทำให้ค่าความเหนี่ยวนำเพิ่มขึ้นตาม ดังนั้นค่าความเหนี่ยวนำจึงเป็นสัดส่วนกับพื้นที่ของชุดลวด

### (3) ความยาวของชุดลวด

ถ้าทำให้ชุดลวดจำนวน 4 รอบ ขยายพื้นที่ออก ผลรวมของสนามแม่เหล็กที่เกิดขึ้นจากชุดลวดแต่ละชุดจะมีปริมาณลดลง ในทางกลับกันถ้าชุดลวดที่มีจำนวนเท่าเดิมนี้นำมาพันให้อยู่ชิดกันมากขึ้น ความยาวของชุดลวดสั้นลงสนามแม่เหล็กที่เกิดจากชุดลวดในแต่ละชุดจะเสริมซึ้งกันและกัน ทำให้เกิดสนามแม่เหล็กที่มีปริมาณมากขึ้นทำให้ค่าความเหนี่ยวนำมีค่ามากตามไปด้วย ดังนั้นค่าความเหนี่ยวนำจึงเป็นสัดส่วนผกผันกับความยาวของชุดลวด

#### (4) วัสดุที่นำมาทำเกณฑ์ในชุดลวด

ตัวเห็นี้ยวนำส่วนมากมีแกนที่ทำจากวัสดุจำพวก นิกเกิล โคบอลต์ เหล็ก เพอร์อิเตอร์ หรืออัลลอย ซึ่งแกนเหล่านี้มีคุณสมบัติที่จะช่วยรวม หรือเพิ่มความเข้มของสนามแม่เหล็ก ดังนั้นค่าความชาบชีมได้ (Permeability) จึงเป็นอีกปัจจัยหนึ่งที่มีผลต่อค่าความเหนี่ยวนำ โดยถ้าค่าความชาบชีมได้ของวัสดุที่ใช้ทำแกนมีค่ามาก ก็จะทำให้ค่าความเหนี่ยวนำมีค่ามากตามไปด้วย

จากปัจจัยทั้ง 4 ประการที่มีผลต่อค่าความเหนี่ยวนำ ดังนั้นจึงสามารถคำนวณหาค่าความเหนี่ยวนำได้ดังนี้

$$L = \frac{N^2 A \mu}{l} \quad (2.4)$$

โดยที่  $L$  คือ ค่าความเหนี่ยวนำ มีหน่วยเป็น เยนรี ( $H$ )

$N$  คือ จำนวนของชุดลวด หน่วยเป็น รอบ

$A$  คือ พื้นที่ของชุดลวด มีหน่วยเป็น ตารางเมตร ( $m^2$ )

$\mu$  คือ ค่าความชาบชีมได้ (Permeability)

$l$  คือ ความยาวของวัสดุที่นำมาทำแกน มีหน่วยเป็น เมตร ( $m$ )

#### 2.5 การเหนี่ยวนำทางสนามแม่เหล็กไฟฟ้า

จากภาพที่ 2.1 เมื่อจ่ายกระแสให้กับชุดลวดเหนี่ยวนำ สนามแม่เหล็กไฟฟ้าจะเกิดขึ้นรอบๆ ชุดลวดซึ่งสอดคล้องกับกฎของแอมเบอร์ (Ampere's Law)

$$\int H dl = Ni = F \quad (2.5)$$

$$\text{และ } \phi = \mu H A \quad (2.6)$$

ซึ่งวัตถุที่ใส่เข้าไปในส่วนของพื้นที่ที่เกี่ยวกับสนามแม่เหล็กไฟฟ้า เป็นสาเหตุทำให้เกิดการเปลี่ยนแปลงความเร็วของการเคลื่อนไหวเกี่ยวกับสนามแม่เหล็ก ความหนาแน่นของส่วนพื้นที่ที่เกิดสนามแม่เหล็กจะเกิดขึ้นที่บริเวณตรงกลางจากพื้นผิวมากที่สุด ซึ่งคล้ายกับกฎของ ฟาราเดีย (Faraday's Law) เมื่อจ่ายกระแสเข้ากับพื้นผิวของวัตถุที่สามารถนำไฟฟ้าได้ มีความสัมพันธ์กับกันกับกระแสบนวงจรการเหนี่ยวนำ ดังสมการที่ 2.7 เกิดกระแสบนพื้นผิวของวัตถุ

$$E = \frac{d\lambda}{d\lambda} = N \frac{d\phi}{dt} \quad (2.7)$$

ดังนั้นจึงเป็นสาเหตุให้เกิดพลังงานทางไฟฟ้าจากกระแสซักจูงและกระแสแส่วน แปลงเป็นพลังงานในรูปของความร้อน ดังสมการที่ 2.8

$$P = \frac{E^2}{R} = I^2 R \quad (2.8)$$

ซึ่งค่าของตัวต้านทานได้มาจากค่าของความหนาแน่น และ ค่าความชาร์จมีได้ของวัตถุที่สามารถนำไฟฟ้าได้ ส่วนกระแสไฟฟ้าจะนำค่าความหนาแน่นของสนามแม่เหล็กไฟฟ้า พลังงานความร้อนจะเกิดขึ้นได้โดยมีความสัมพันธ์กับค่าของความลึกผิว ซึ่งสามารถอธิบายได้ในส่วนของภาพที่ 2.2

ถ้าวัตถุที่สามารถนำไฟฟ้าได้ เช่น เหล็ก พลังงานความร้อนที่เกิดขึ้นจากสนามแม่เหล็กจะมีค่าเพิ่มขึ้นโดยจำนวนของพลังงานความร้อนที่ได้จะมากขนาดไหนขึ้นอยู่กับขนาดของวัตถุด้วยพลังงานจะเพิ่มเช่นถ้าวัตถุมีขนาดเล็กมากๆ เนื่องจากพลังงานมีการสูญเสียมากกว่า 10 เปอร์เซ็นต์

## 2.6 ระยะความลึกผิวของสนามแม่เหล็กไฟฟ้า

ปรากฏการณ์ที่สัญญาณความถี่สูงไหลที่ผิวและความถี่ต่ำไหลลึกลงไปในผิวเรียกว่า ความถี่ที่ลดลง ดังสมการที่ 2.9 และสมการที่ 2.10 เราเรียกว่า เกิดปรากฏการณ์ Skin Effect

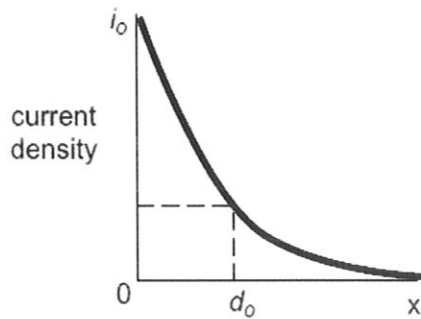
$$i_x = i_0 e^{-\frac{x}{\delta}} \quad (2.9)$$

เมื่อ	$i_x$	คือ ความหนาแน่นของกระแสที่ $x$
	$i_0$	คือ ความหนาแน่นของกระแสบนความลึกผิว
	$\delta$	คือ ความลึกผิว

$$\delta = \sqrt{\frac{2\rho}{\mu\omega}} \quad (2.10)$$

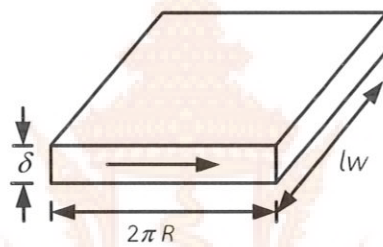
โดยที่	$\rho$	คือ ความควบแน่น
	$\mu$	คือ ความชื้นช้าได้
	$\omega$	คือ ความถี่ที่กระแสไฟฟ้าผ่านวัตถุ

จากสมการที่ 2.9 จะเห็นว่าความลึกผิวที่ได้ ขึ้นอยู่กับค่าความควบแน่น ค่าความชาร์จมีได้ และความถี่ของวัตถุ ภาพที่ 2.5 เป็นกราฟที่แสดงความสัมพันธ์ระหว่างค่าความหนาแน่นของกระแสและค่าของความลึกเชิงผิว



ภาพที่ 2.5 แสดงความหนาแน่นของกระแสและค่าของความลึกเชิงผิว

ถ้าพิจารณาว่ากระแสโดยส่วนใหญ่ไหลอยู่ในระดับความลึกผิว และความต้านทานสมมูลของชิ้นงาน จะพิจารณาชิ้นงานทรงกระบอกจากการคลื่อออกเป็นแผ่นบาง มีระยะทางการไหลของกระแส มีค่าเท่ากับขนาดเส้นรอบวงของชิ้นงานทรงกระบอกที่มีความหนาเท่ากับความลึกผิว



ภาพที่ 2.6 ชิ้นงานที่ถูกคลื่อออกเป็นแผ่น

จากค่าความต้านทาน  $R = \frac{\rho l}{A}$  ดังนั้นค่าความต้านทานของชิ้นงานรูปทรงกระบอกที่ถูกคลื่อออกในภาพที่ 2.6 มีความหนาของชิ้นงานเท่ากับความลึกผิว สามารถหาได้จากสมการที่ 2.11

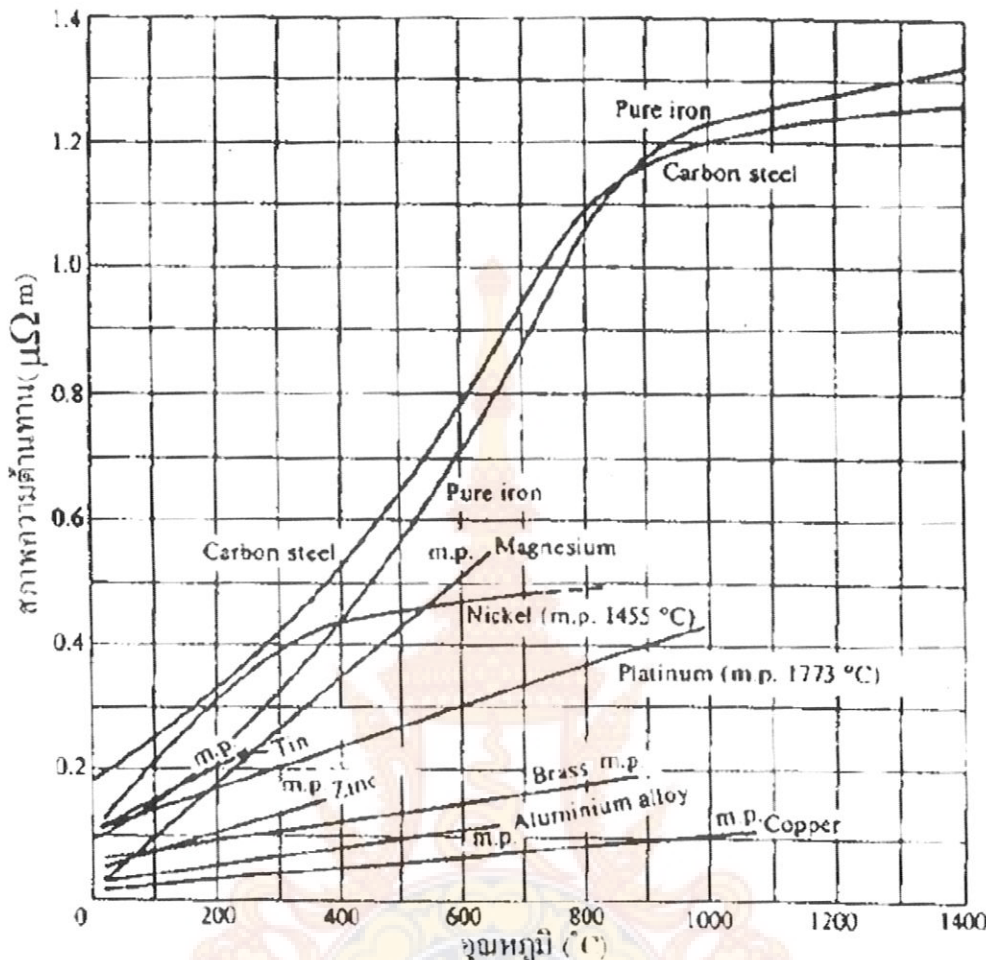
$$R_w = \rho \frac{2\pi R}{\delta l_w} \quad (2.11)$$

ดังนั้น

$$R_w \alpha \frac{\rho}{\delta} = \sqrt{\rho \mu f} \quad (2.12)$$

สรุปได้ว่า ค่าความต้านทานของชิ้นงานจะแปรผันโดยตรงกับรากที่สองของค่าความต้านทาน จำเพาะของชิ้นงาน รากที่สองของค่าความซึมซาบทางแม่เหล็กของชิ้นงาน และรากที่สองของความถี่ของแหล่งจ่ายไฟฟ้า

## 2.7 ค่าความต้านทานจำเพาะของโลหะกับอุณหภูมิ



ภาพที่ 2.7 แสดงค่าความต้านทานจำเพาะกับเวลา

ค่าความต้านทานจำเพาะโดยทั่วไปจะขึ้นกับสารที่เป็นชิ้นงาน โดยปกติสารที่เป็นพากโลหะเมื่อมีอุณหภูมิสูงขึ้น ค่าความต้านทานจำเพาะจะเพิ่มขึ้นในลักษณะเชิงเส้น ความสัมพันธ์ในลักษณะทั่วไปจะเป็นดังสมการที่ 2.13

$$\rho_{\theta} = \rho_1 [1 + \alpha(\theta - \theta_1)] \quad (2.13)$$

โดยที่  $\rho_{\theta}$  คือค่าความต้านทานจำเพาะ ( $\Omega m$ ) ที่อุณหภูมิ  $\theta$  ( $^{\circ}\text{C}$ ) ใดๆ และ  $\rho_1$  คือความต้านทานจำเพาะที่อุณหภูมิ  $\theta_1$  ส่วน  $\alpha$  คือ ค่าสัมประสิทธิ์ของสารชนิดต่างๆ ในทางปฏิบัติจะพบว่าค่าความต้านทานจำเพาะของชิ้นงานจะเปลี่ยนแปลงไปตามอุณหภูมิ ในการคำนวณค่าความต้านทานจำเพาะสมมูล จะพิจารณาจากกำลังที่ชิ้นงาน โดยกำลังที่ชิ้นงานจะประมาณ  $\rho/\delta$  หรืออีกนัยหนึ่งคือประมาณ  $\sqrt{\rho}$  ดังนั้นถ้าให้ตัวแปรอื่นคงที่และพิจารณาว่าค่าความต้านทานจำเพาะของชิ้นงานจะแปรผันกับอุณหภูมิเป็นเชิงเส้นจะได้ว่า

$$\rho_0 = \rho_1 + \frac{\theta - \theta_1}{(\theta_2 - \theta_1)(\rho_2 - \rho_1)} \quad (2.14)$$

และ

$$\frac{d\theta}{dt} = C\sqrt{\rho} \quad (2.15)$$

โดยที่  $C$  เป็น ค่าคงที่ จัดรูปสมการที่ 2.15 ใหม่จะได้เป็น

$$\int_{\theta_1}^{\theta_2} \frac{d\theta}{\sqrt{\rho_1 + (\theta - \theta_1)(\rho_2 - \rho_1)}} = \int_0^1 C dt \quad (2.16)$$

ดังนั้นเวลาที่ใช้ในการให้ความร้อนจนอุณหภูมิ  $\theta_1$  เปลี่ยนเป็น  $\theta_2$  เท่ากับ

$$t = 2 \frac{(\theta_2 - \theta_1)\sqrt{\rho_2} - \sqrt{\rho_1}}{(\rho_2 - \rho_1)C} \quad (2.17)$$

ถ้าสมมติให้ค่าความต้านทานจำเพาะมีค่าคงที่ และมีค่าเป็น  $\rho_m$  ตลอดช่วงอุณหภูมิการใช้งาน  $(\theta_1 \text{ ถึง } \theta_2)$  เมื่อแทนในสมการที่ 2.16 จะได้

$$\int_{\theta_1}^{\theta_2} d\theta = \int_0^1 C \sqrt{\rho_m} dt$$

$$t = \frac{(\theta_2 - \theta_1)}{C \sqrt{\rho_m}} \quad (2.18)$$

เมื่อเปรียบเทียบสมการที่ 2.17 กับสมการที่ 2.18 จะได้ว่า

$$\rho_m = \frac{(\sqrt{\rho_2} + \sqrt{\rho_1})^2}{4} \quad (2.19)$$

จากสมการที่ 2.19 ค่าความต้านทานจำเพาะสมบูรณ์ที่ได้ อาจจะใช้ได้กับโลหะบางประเภทที่มีลักษณะการเปลี่ยนแปลงอุณหภูมิเป็นเชิงเส้น และจากภาพที่ 2.7 จะเห็นได้ว่าโลหะที่เป็นสารเฟอร์โร แมกเนติกจะมีการเปลี่ยนแปลงของค่า  $\rho$  กับอุณหภูมิ จะไม่เป็นเชิงเส้นตลอดช่วงอุณหภูมิเหมือนสมมติฐานในสมการที่ 2.19 ดังนั้นการคำนวณโดยใช้ค่า  $\rho_m$  จึงต้องแยกพิจารณากราฟที่เป็นเชิงเส้นออกเป็นช่วงๆ ทีละช่วง

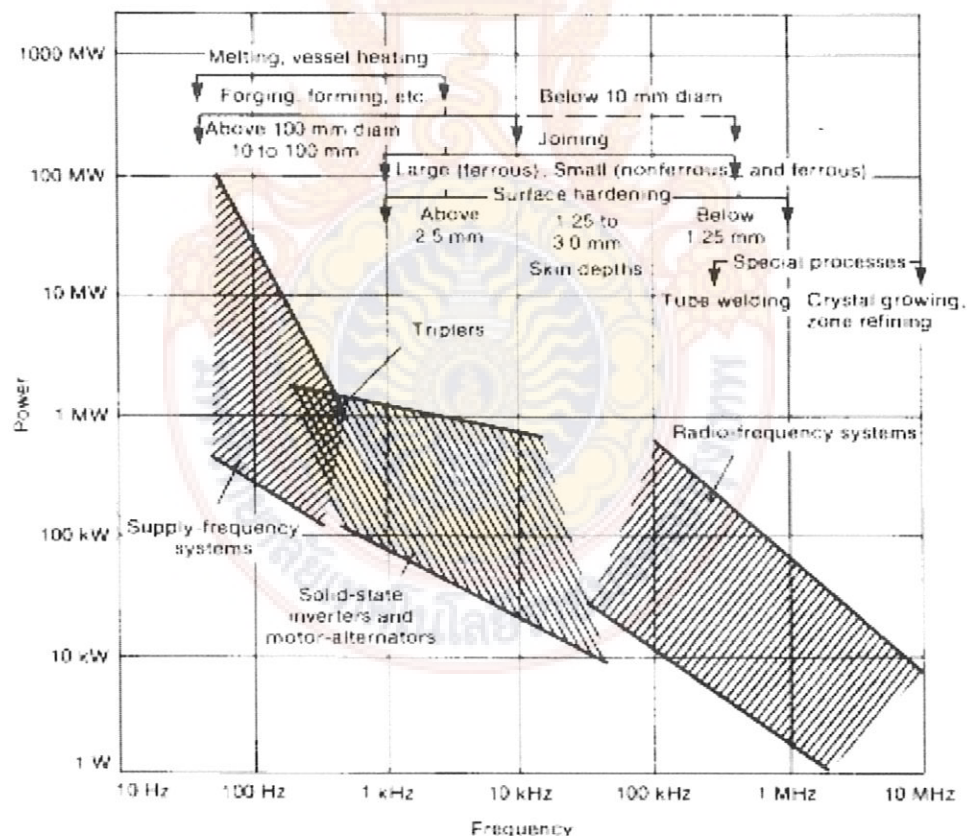
## 2.8 ความซึมซาบทางแม่เหล็กของโลหะกับอุณหภูมิ

ความซึมซาบทางแม่เหล็กของโลหะนั้นปกติจะมีค่าค่อนข้างคงที่ แต่สำหรับสารที่มีคุณสมบัติเป็นสารเฟอร์โรเมกเนติกนั้น ความสัมพันธ์ระหว่างความหนาแน่นสนามแม่เหล็กกับความเข้มสนามแม่เหล็กจะไม่เป็นเชิงเส้น

นอกจากนี้ค่าความซึมซาบทางแม่เหล็กของสารเฟอร์โรเมกเนติก ยังมีความสัมพันธ์กับอุณหภูมิ ด้วย โดยปกติแล้วความซึมซาบทางแม่เหล็กของสารประเภทนี้จะค่อนข้างมีค่าคงที่กับอุณหภูมิ แต่ถ้าอุณหภูมิเพิ่มขึ้นจนถึงจุดครีร์ (Curie point) และ ค่าความซึมซาบของสารนั้นจะลดลงเป็นค่าซึมซาบของอากาศทันที  $\mu_r = 1$  มีผลให้สารนั้นหมดสภาพความเป็นแม่เหล็กนั่นเอง

## 2.9 ความถี่

การให้ความร้อนด้วยการเห็น-eye นำแต่ละประเภท จะใช้ช่วงความถี่และระดับกำลังแตกต่างกันไปดังที่แสดงในภาพที่ 2.8 ซึ่งจะได้รับกำลังจากแหล่งกำเนิดไฟฟ้ากระแสสลับ ซึ่งได้มาจากการแหล่งกำเนิดชนิดต่างๆ ซึ่งสามารถจำแนกได้ ดังนี้



ภาพที่ 2.8 ลักษณะการใช้งานของเครื่องให้ความร้อนแบบเห็น-eye ในย่านความถี่ต่างๆ

1) เครื่องให้ความร้อนแบบเหนี่ยวนำที่ใช้แหล่งจ่ายจากการไฟฟ้าโดยตรง แรงดันไฟฟ้าจากการไฟฟ้าเป็นแรงดันไฟฟ้าที่มีความถี่ค่อนข้างต่ำ จึงทำให้ระดับความลึกผิวในการให้ความร้อนมีค่ามากตั้งแต่ 10 – 100 มิลลิเมตร โดยปกติเครื่องให้ความร้อนแบบเหนี่ยวนำประเภทนี้ จะใช้ในงานการหลอมโลหะ มีกำลังสูงได้ถึงหลายร้อยเมกะวัตต์

2) เครื่องให้ความร้อนแบบเหนี่ยวนำที่ใช้มอเตอร์และเครื่องกำเนิดไฟฟ้า ให้ความถี่อยู่ในย่าน 500 เฮิร์ซ ถึง 10 กิโลเฮิร์ซ เครื่องให้ความร้อนแบบเหนี่ยวนำชนิดนี้ จะใช้พลังงานจากการไฟฟ้ามาขับเคลื่อนมอเตอร์ และใช้มอเตอร์ไปขับเคลื่อนเครื่องกำเนิดไฟฟ้าอีกที โดยสามารถให้กำลังได้หลายร้อยกิโลวัตต์ และให้ระดับความลึกผิวตั้งแต่ 1 – 10 มิลลิเมตร

3) เครื่องให้ความร้อนแบบเหนี่ยวนำโดยวิธีเปล่งผันแรงดัน โดยใช้สิ่งประดิษฐ์สารกึ่งตัวนำ จำพวกทรานซิสเตอร์กำลัง มองสเฟตกำลัง หรือพวกไทริสเตอร์ เปล่งผันแรงดันไฟฟ้าจากการไฟฟ้าให้เป็นไฟสลับอีกครั้งแต่มีความถี่สูงขึ้น โดยใช้งานในย่านความถี่ 500 เฮิร์ซ ถึง 50 กิโลเฮิร์ซ การเลือกใช้อุปกรณ์สวิตช์จะต้องคำนึงถึงความเร็วในการสวิตช์ และขนาดกำลังของอุปกรณ์สวิตช์ให้เหมาะสม

4) เครื่องให้ความร้อนแบบเหนี่ยวนำที่ทำงานย่านความถี่วิทยุ โดยเครื่องประเภทนี้จะทำงานตั้งแต่ความถี่ 50 กิโลเฮิร์ซ จนถึง 50 เมกะเฮิร์ซ ซึ่งปัจจุบันนี้สิ่งประดิษฐ์สารกึ่งตัวนำยังมีสมรรถนะในการใช้งานที่ความถี่สูงๆ ได้ไม่ดีพอ โดยความลึกผิวอยู่ในช่วง 0.1 ถึง 2 มิลลิเมตร ซึ่งเหมาะสมสำหรับงานชุบแข็งที่ผิว เครื่องให้ความร้อนแบบเหนี่ยวนำนี้จะให้กำลังงานค่อนข้างต่ำ

จะเห็นว่าความถี่นั้นเป็นตัวแปรสำคัญต่อประสิทธิภาพความลึกผิวในชิ้นงานและกำลังเข้าของชิ้นงาน โดยเมื่อความถี่สูงขึ้นความลึกผิวจะลดลง ประสิทธิภาพและกำลังเข้าของชิ้นงานจะสูงขึ้น

## 2.10 หลักการพาราความร้อน

การพาราความร้อน คือ วิธีการที่ความร้อนเคลื่อนที่ระหว่างผิวของแข็งและของเหลว คือ การพาราความร้อนโดยที่ของเหลวจะเป็นตัวพาราความร้อนมาให้ หรือพาราความร้อนจากผิวของแข็ง กลไกที่ทำให้เกิดการเคลื่อนที่ของความร้อนโดยการพาราได้นั้น เกิดจากผลรวมของการนำความร้อน การสะสมพลังงาน และการเคลื่อนที่ของการไหล การพาราความร้อนยังแบ่งออกได้เป็น 2 ชนิด คือ การพาราโดยการบังคับ (Forced convection) และการพาราตามธรรมชาติ (natural หรือ free convection)

1) การพาราโดยการบังคับ (Forced convection) คือ การเคลื่อนที่ของความร้อนระหว่างผิวของแข็งและของเหลว โดยที่ของเหลวถูกบังคับให้เคลื่อนที่ไปสัมผัสกับผิวของแข็งโดยกลไกภายนอก เช่น พัดลม หรือเครื่องสูบน้ำ

2) การพาตามธรรมชาติ (Natural convection) คือ การเคลื่อนที่ของความร้อนระหว่างผิวของของแข็งและของเหลว โดยที่ไม่มีมีกลไกใดๆมาทำให้ของเหลวเคลื่อนที่ แต่ของเหลวที่อยู่ใกล้กับผิวของของแข็งก็จะจากจะเคลื่อนที่ได้จากแรงดึงดูดตัวของของเหลวเอง แรงดึงดูดตัวนี้เกิดจากความแตกต่างของความหนาแน่นของของเหลว เมื่อเกิดความแตกต่างของอุณหภูมิในชั้นของของเหลวขึ้น

การคำนวณอัตราการเคลื่อนที่ของความร้อนโดยการพานั้น มีหลายสิ่งที่ต้องพิจารณาร่วมกัน ไม่ใช่แค่ความต่างของอุณหภูมิ แต่ยังรวมถึงความหนาแน่นของของเหลว ความหนืด เป็นต้น ดังนั้นเราจะตัดความยุ่งยากเหล่านี้ โดยเสนอสมการสำหรับคำนวณอัตราการเคลื่อนที่ของความร้อน  $q$  โดยการพอดังสมการที่ 2.20

$$q = hA(\Delta T) \quad (2.20)$$

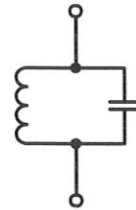
โดยที่	$q$	คือ ปริมาณความร้อนที่เกิดการถ่ายโอนเนื่องจากการพา
	$h$	คือ สัมประสิทธิ์การพาความร้อน
	$A$	คือ พื้นที่แลกเปลี่ยนความร้อน
	$\Delta T$	คือ ผลต่างของอุณหภูมิ

## 2.11 วงจรเรโซโนนซ์

วงจรเรโซโนนซ์ เป็นวงจรผสมที่ต่อร่วมอยู่ระหว่างคาปaciเตอร์และขดลวดเหนี่ยวนำ ซึ่งมีความสำคัญและใช้มากพอสมควรในวงจรอิเล็กทรอนิกส์แบบแอนะล็อก ด้วยผลต่อสัญญาณไฟฟ้ากระแสสลับของขดลวดเหนี่ยวนำและคาปaciเตอร์ซึ่งแตกต่างกันไปในทางตรงกันข้าม จะทำให้เกิดผลต่อแรงดันไฟฟ้ากระแสตรงและแรงดันไฟฟ้ากระแสสลับในลักษณะต่างๆ เช่น เกิดการจ่ายและรับกระแสซึ่งกันและกัน ทำให้เกิดสัญญาณไฟฟ้ากระแสสลับตกคร่อมวงจรขึ้น เมื่อวงจรได้รับแรงดันไฟฟ้ากระแสตรง จะเกิดการต่อต้านและยอมให้สัญญาณไฟฟ้ากระแสสลับบางความถี่ผ่าน เป็นต้น จากคุณสมบัตินี้ จึงสามารถนำวงจรเรโซโนนซ์ไปใช้เป็นชุดสร้างความถี่ให้กับวงจรอสซิลเลเตอร์ นำมาใช้สำหรับเลือกให้สัญญาณที่ต้องการผ่าน หรือใช้เป็นวงกรองกันหรือกำจัดสัญญาณที่ไม่ต้องการ โดยวงจรเรโซโนนซ์ จะแบ่งได้เป็น 2 ชนิด โดยพิจารณาจากลักษณะการต่อร่วมกันระหว่างขดลวดและคาปaciเตอร์ ถ้าต่อร่วมกันแบบอนุกรม จะเรียกว่า วงจรเรโซโนนซ์แบบอนุกรม (Series resonance circuit) และถ้าต่อขนานกัน จะเรียกว่า วงจรเรโซโนนซ์แบบขนาน (Parallel resonance circuit) ซึ่งจะมีลักษณะดังภาพที่ 2.9



(ก) แบบอนุกรม



(ข) แบบขนาน

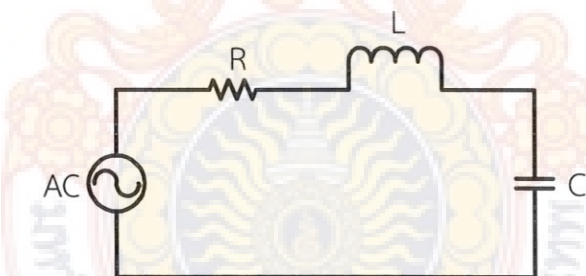
ภาพที่ 2.9 แสดงวงจรเรโซแนนซ์แบบอนุกรมและแบบขนาน

## 2.11.1 วงจรเรโซแนนซ์แบบอนุกรม (Series resonance circuit)

สมการของวงจรเรโซแนนซ์แบบอนุกรม เป็นดังสมการที่ 2.21

$$Z = R + j(X_L - X_C) \quad (2.21)$$

ลักษณะพิเศษทางไฟฟ้าของวงจรเรโซแนนซ์แบบอนุกรม จะมีอิมพีเดนซ์ที่ต่ำเหลือเรโซแนนซ์ต่ำที่สุด ดังนั้นกระแสที่ไหลผ่านวงจรจะมีค่ามากสุด ทำให้เกิดกำลังไฟฟ้าที่โหลดมีค่าสูงสุด วิธีการควบคุมกำลังไฟฟ้าทำได้โดย การลดแรงดันที่จ่ายให้วงจร หรือเลื่อนความถี่การใช้งานให้ต่ำหรือ สูงกว่าตำแหน่งเรโซแนนซ์ เมื่อพิจารณาในภาพที่ 2.10 ค่าอิมพีเดนซ์ของวงจร  $RLC$  ที่ต่อแบบ อนุกรมจะมีค่าดังสมการที่ 2.21



ภาพที่ 2.10 วงจรเรโซแนนซ์แบบอนุกรม

สภาวะเรโซแนนซ์จะสามารถหาค่าความถี่ได้ดังสมการที่ 2.22

$$X_L = X_C$$

$$f^2 = \frac{1}{(2\pi)^2 LC}$$

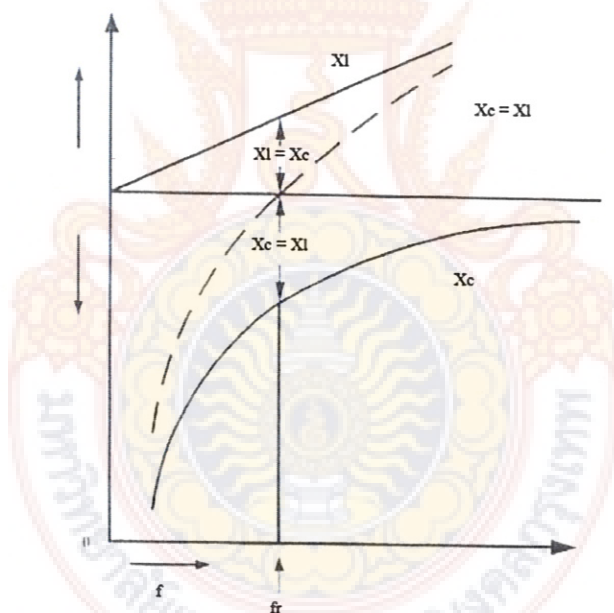
$$f = \frac{1}{2\pi\sqrt{LC}} \quad (2.22)$$

จากสมการที่ 2.22 จะพบว่า ค่าออมพิแคนซ์จะขึ้นอยู่กับความถี่ของแหล่งจ่ายไฟฟ้า เนื่องจากค่า  $X_L = 2\pi f L$  และ  $X_C = \frac{1}{2\pi f C}$  จากภาพที่ 2.10 จะเห็นว่าเมื่อความถี่ของแหล่งจ่ายไฟฟ้ามีค่าเพิ่มขึ้นอย่างเป็นเชิงเส้น ค่า  $X_L$  จะมีค่าเพิ่มขึ้น ส่วนค่าของ  $X_C$  จะมีค่าลดลงอย่างเป็นเชิงเส้นด้วย โดยผลรวมของค่ารีแอคเคนซ์จะมีค่าเท่ากับ  $(X_L - X_C)$  ดังนั้นถ้าความถี่ของแหล่งจ่ายไฟมีค่าเท่ากับความถี่เรโซแนนซ์ จะมีผลทำให้ค่ารีแอคเคนซ์รวมมีค่าเป็นศูนย์ และออมพิแคนซ์รวมของวงจรจะมีค่าเท่ากับค่าความต้านทาน ( $Z = R$ )

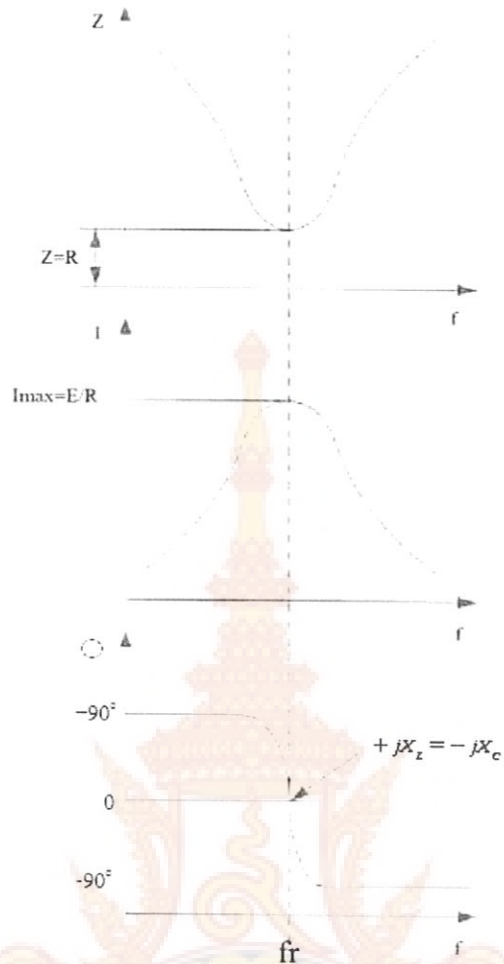
$$Z = \sqrt{R^2 + X^2} \quad (2.23)$$

$$I = \frac{V}{Z} \quad (2.24)$$

จากสมการที่ 2.23 และสมการที่ 2.24 นำค่าออมพิแคนซ์รวมและกระแสที่ไหลในวงจรที่ความถี่ใดๆ มาเขียนกราฟได้ดังภาพที่ 2.12



ภาพที่ 2.11 กราฟความสัมพันธ์ของ  $X_L$  และ  $X_C$  ต่อความถี่สำหรับวงจร  $RLC$  แบบอนุกรม



ภาพที่ 2.12 อิมพีเดนซ์รวมและกระแสที่เหลื่อยวงจร  $RLC$  แบบอนุกรม ที่ความถี่ต่างๆ

กระแสในวงจรอุปกรณ์

$$I = \frac{V}{R + j(X_L + X_C)} \quad (2.25)$$

กระแสที่เหลื่อยเมื่อความถี่เรโซแนนซ์ ( $X_L = X_C$ )

$$I = \frac{V}{R} \quad (2.26)$$

จากภาพที่ 2.12 พบร้าที่ได้จะมีค่าต่ำ เมื่อความถี่ในวงจรไม่มีอยู่ที่จุดเรโซแนนซ์

### 2.11.1.1 ความถี่เรโซแนนซ์ของวงจรแบบอนุกรม

สามารถเขียนสมการของรีแอคเตนซ์ที่มีความสัมพันธ์กับความถี่ได้เป็น

$$X_L = 2\pi f L \quad (2.27)$$

$$X_C = \frac{1}{2\pi f C} \quad (2.28)$$

$$f = \frac{1}{2\pi\sqrt{LC}} \quad (2.29)$$

เมื่อ  $L$  คือ ตัวเหนี่ยวนำ มีหน่วยเป็น เอนรี (H)

$C$  คือ ตัวเก็บประจุ มีหน่วยเป็น ฟาร์ด (F)

$f$  คือ ความถี่ มีหน่วยเป็น เฮิร์ช (Hz)

### 2.11.1.2 แรงดันที่จุดเรโซแนนซ์

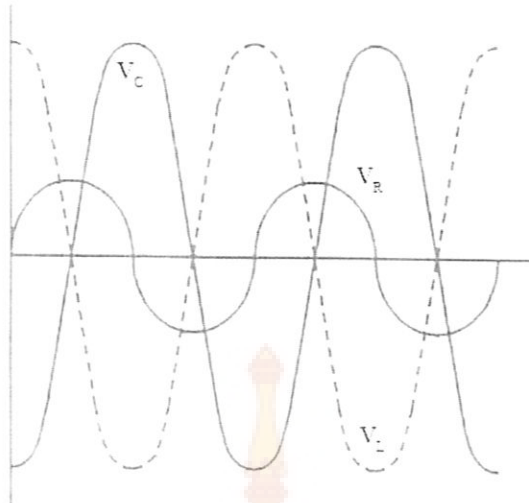
แรงดันที่จุดต่อกคร่อมตัวต้านทานในวงจร  $RLC$  จะมีค่าเท่ากับ  $I_X R$  และที่จุดเรโซแนนซ์ แรงดันที่ต่อกคร่อมตัวต้านทาน จะมีค่าเท่ากับแรงดันที่เหลืออยู่ ส่วนแรงดันที่ต่อกคร่อมตัวเก็บประจุ และตัวเหนี่ยวนำจะมีค่าดังนี้

$$V_C = I_X X_C \quad (2.30)$$

$$V_L = I_X X_L \quad (2.31)$$

### 2.11.1.3 พลังงานที่ส่งผ่านระหว่าง $L$ และ $C$

เมื่อนำรูปคลื่นสัญญาณของ  $V_R, V_C$  และ  $V_L$  ที่จุดเรโซแนนซ์มาพล็อต ดังภาพที่ 2.13 จะพบว่า  $V_L$  และ  $V_C$  จะกลับเฟสกัน 180 องศา ส่วน  $V_R$  จะมีค่ามากที่สุดเมื่อ  $V_C$  และ  $V_L$  มีค่าเท่ากับศูนย์ จากที่กล่าวมานี้แสดงให้เห็นว่า มีการส่งพลังงานระหว่าง  $L$  และ  $C$  กลับไปกลับมา เมื่อยุ่งในสภาวะเรโซแนนซ์



ภาพที่ 2.13 ลักษณะสัญญาณแรงดันของ  $V_R, V_C$  และ  $V_L$  ที่จุดเรโซแนนซ์

#### 2.11.1.4 Q แฟคเตอร์ของวงจรอนุกรม $LC$

พิจารณาความสัมพันธ์ของ  $I, V_C, V_L$  ที่จุดเรโซแนนซ์

$$\begin{aligned}
 &V = IR \\
 &V_L = IX_L \\
 &V_L = \frac{VX_L}{R} \\
 &\frac{V_L}{V} = \frac{X_L}{R} \\
 \text{อัตราส่วน } \frac{V_L}{V} \text{ และ } \frac{V_C}{V} \text{ คือค่าคุณลักษณะ (Quality) ของวงจรเรโซแนนซ์หรือค่า } Q \text{ แฟคเตอร์} \\
 &Q = \frac{X_L}{R} = \frac{X_C}{R} = \frac{1}{\omega CR} \quad (2.32)
 \end{aligned}$$

ดังนั้น

นั่นเอง

จากสมการพบว่าค่า  $Q$  แฟคเตอร์ของวงจรอนุกรมเรโซแนนซ์ สามารถเปลี่ยนเพิ่มได้เมื่อลด

ความต้านทาน หรือโดยการเพิ่มอัตราส่วนของ  $\frac{L}{C}$

### 2.11.1.5 ผลของวงจรเรโซแนนซ์แบบอนุกรมที่มีต่อสัญญาณไฟฟ้ากระแสสลับ

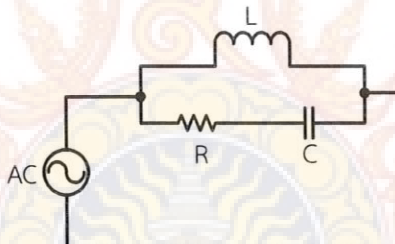
เมื่อสัญญาณอินพุตมีความถี่ต่ำกว่าความถี่เรโซแนนซ์ของวงจร  $X_L$  จะมีค่าต่ำ แต่ค่า  $X_C$  จะมีค่าสูง กระแสจะไหลผ่านวงจรได้น้อยและแรงดันต่อกครือมวงจรสูง วงจรแสดงค่า  $X_C$  ทำให้กระแสที่ไหลในวงจรมีเฟสเร็วกว่าแรงดันที่ต่อกครือมวงจร

เมื่อสัญญาณอินพุตมีความถี่สูงกว่าความถี่เรโซแนนซ์ของวงจร  $X_C$  จะมีค่าต่ำ และ  $X_L$  จะมีค่าสูงกระแสจึงไหลผ่านวงจรได้น้อย ทำให้แรงดันต่อกครือมวงจรสูง วงจรแสดงค่า  $X_L$  ทำให้กระแสที่ไหลผ่านในวงจรมีเฟสช้ากว่าแรงดันที่ต่อกครือมวงจร

เมื่อสัญญาณอินพุตมีความถี่เท่ากับความถี่เรโซแนนซ์ของวงจร ค่า  $X_L$  จะเท่ากับค่า  $X_C$  จึงหักล้างกันหมดไป ทำให้วงจรไม่มีค่ารีแอคเวนซ์เหลือแต่เฉพาะค่าความต้านทานกระแสตรงเท่านั้นและแรงดันในวงจรจึงมีเฟสตรงกัน โดยค่าความต้านทานรวมของวงจรจะมีค่าต่ำสุด ทำให้กระแสไหลได้มากที่สุดและมีแรงดันต่อกครือมวงจรต่ำที่สุด

### 2.11.2 วงจรเรโซแนนซ์แบบขนาน (Parallel resonance circuit)

วงจรเรโซแนนซ์แบบขนานแสดงไว้ดังรูปที่ 2.14 ค่าแอดมิตตันซ์ (Admittance) ของวงจร มีค่าดังสมการที่ 2.33



ภาพที่ 2.14 วงจรเรโซแนนซ์แบบขนาน

$$Y = \frac{1}{R} - j \frac{1}{X_L} + j \frac{1}{X_C} \quad (2.33)$$

ถ้าปรับความถี่ของแหล่งจ่ายไฟไปจนกระทั่ง  $X_L$  และ  $X_C$  มีค่าเท่ากัน ค่าแอดมิตตันซ์จะมีค่า

$$Y = \frac{1}{R_P} \quad (2.34)$$

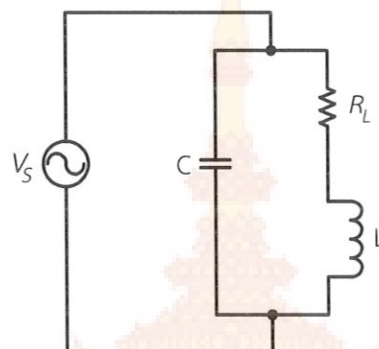
และค่าอิมพิเดนซ์ มีค่า

$$R_P = \frac{1}{Y} \quad (2.35)$$

กระแสจากแหล่งจ่ายมีค่า

$$I = \frac{V}{R} \quad (2.36)$$

กระแสที่โหลดผ่านตัวต้านทานจะมีมุ่งของเฟสตรงกับแรงดันของแหล่งจ่าย กระแสที่โหลดผ่านตัวเหนี่ยวนำจะมีมุ่งเฟล็กต้าหลังไป 90 องศา ส่วนกระแสที่โหลดผ่านตัวเก็บประจุจะนำหน้าแรงดันอยู่ 90 องศา นั่นคือ มีการส่งพลังงานกลับไปมาระหว่างตัวเหนี่ยวนำและตัวเก็บประจุ เนื่องจากความเป็นจริงในตัวเหนี่ยวนำจะมีความต้านทานรวมอยู่ด้วย ส่วนที่ตัวเก็บประจุจะมีความต้านทานภายใต้อยู่น้อยมาก สามารถเขียนเป็นวงจรสมมูลดังภาพที่ 2.15



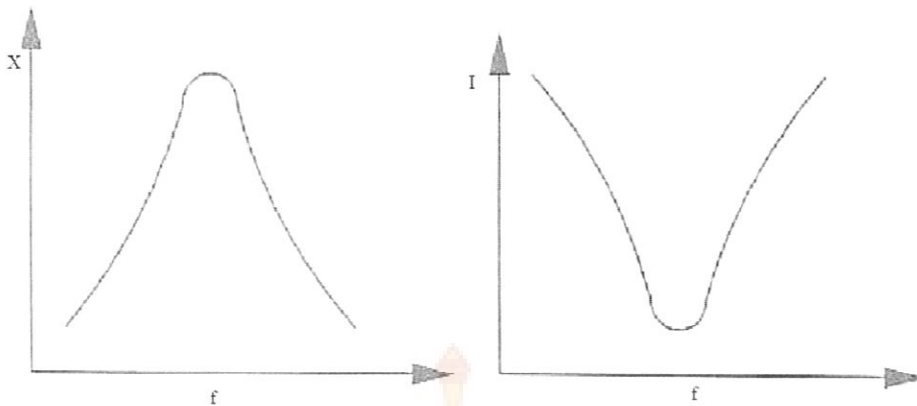
ภาพที่ 2.15 วงจรสมมูลของวงจรเรโซแนนซ์แบบขาน

เพราะฉะนั้นที่จุดเรโซแนนซ์

$$X_C = \frac{R_L^2 + X_L^2}{X_L} \quad (2.37)$$

#### 2.11.2.1 Q แฟคเตอร์ของวงจรเรโซแนนซ์แบบขาน

จากภาพที่ 2.16 พบร่วงจรเรโซแนนซ์แบบขาน จะมีค่าออมพีเดนซ์สูงสุดที่ความถี่เรโซแนนซ์ ผลกระทบของกระแสที่โหลดในวงจรที่มีความถี่เรโซแนนซ์นั้น จะมีเฟสเดียวกันกับแรงดันของแหล่งจ่าย กระแสจะมีค่าน้อยกว่า  $I_C$  และ  $I_L$  หลายเท่า ดังนั้นวงจรเรโซแนนซ์แบบขาน  $L_C$  จะมีค่าการขยายกระแสค่า  $Q$  แฟคเตอร์ คือ ค่าอัตราส่วนของ  $I_C$  หรือ  $I_L$  ต่อค่ากระแสจากแหล่งจ่าย



ก) ค่าออมพีเดนซ์กับความถี่

ข) ค่ากระแสกับความถี่

ภาพที่ 2.16 กราฟแสดงค่าออมพีเดนซ์และกระแสกับความถี่

### 2.11.2.2 ความถี่ที่จุดเรโซแนนซ์ของวงจรแบบขนาด

ค่าความถี่ที่จุดเรโซแนนซ์สำหรับวงจรขนาด  $LC$  เมื่อ  $Q > 10$  คือ

$$f_r = \frac{1}{2\pi\sqrt{LC}} \quad (2.38)$$

ในกรณีที่  $Q < 10$  ความถี่เรโซแนนซ์จะมีค่า

$$f_r = \frac{1}{2\pi\sqrt{LC}} \sqrt{1 - \frac{CR_L^2}{L}} \quad (2.39)$$

### 2.11.2.3 ผลของวงจรเรโซแนนซ์แบบขนาดที่มีต่อสัญญาณไฟฟ้ากระแสสลับ

เมื่อสัญญาณอินพุตมีความถี่ที่ต่ำกว่าความถี่เรโซแนนซ์ของวงจร ค่าของ  $X_L$  จะมีค่าน้อยกว่าค่า  $X_C$  เปรียบเทียบ  $C$  เปิดวงจร ดังนั้นค่าแรงดันที่ตกคร่อม  $L$  ในขณะนั้นจะมีค่าน้อยเนื่องจากมีค่า  $X_L$  ต่ำ เมื่อความถี่ต่ำกว่าจะแสดงคุณสมบัติของขดลวด ทำให้เฟสของแรงดันที่ตกคร่อมวงจรเร็วกว่าเฟสของกระแสที่แหล่งผ่านวงจร

เมื่อสัญญาณอินพุตมีความถี่สูงกว่าความถี่เรโซแนนซ์ของวงจร ค่าของ  $X_C$  จะน้อยกว่าค่า  $X_L$  โดย  $L$  ในขณะนั้นจะเหมือนเปิดวงจรไว้ แรงดันที่ตกคร่อม  $C$  ในขณะนั้นจะมีค่าต่ำ เพราะ  $C$  ลดค่าความต้านทานต่ำลงเมื่อความถี่สูง ดังนั้นวงจรจึงแสดงคุณสมบัติของคาปิชิเตอร์ ทำให้เฟสของกระแสที่แหล่งในวงจรเร็วกว่าเฟสของแรงดันที่ตกคร่อมวงจร

เมื่อสัญญาณอินพุตมีความถี่เท่ากับความถี่เรโซแนนซ์ของวงจร ค่า  $X_L$  จะเท่ากับค่า  $X_C$  วงจรจะไม่มีค่ารีแอคเคนซ์ เปรียบเทียบเหมือนมีตัวต้านทานต่ำอยู่ในวงจรเท่านั้น ซึ่งจะทำให้มีค่าความต้านทานในวงจรสูง ทำให้กระแสไฟฟ้าผ่านวงจรได้น้อยที่สุด ทำให้แรงดันที่ตกคร่อมวงจรมีค่าสูงสุด โดยเฟสของ

กระแสที่ให้ผลผ่านวงจร และเพสของเร่งดันที่ต่อกครอกระหว่างวงจรจะตรงกัน(เนื่องจากวงจรไม่มีค่ารีแอคเคนซ์)

## 2.12 การออกแบบชุด漉วเดนี่ยวนำ

ชุด漉วเดนี่ยวนำหรือชุด漉วให้ความร้อน คือ ชุด漉วที่สร้างสนามแม่เหล็กไปเห็นี่ยวนำให้เกิดความร้อนขึ้นที่ชิ้นงาน การออกแบบรูปร่าง ขนาด หรือจำนวนรอบ ขึ้นอยู่กับปัจจัยหลายๆ ประการ เช่น ขึ้นอยู่กับขนาด รูปร่าง และชนิดของวัสดุที่ใช้ทำชุด漉วเดนี่ยวนำและชิ้นงาน ตลอดจนความถี่ของไฟฟ้ากระแสสลับที่ใช้ป้อนให้กับชุด漉วเดนี่ยวนำ ดังนั้นทั้งประสิทธิภาพ และตัวประกอบ ตั้งกล่าวข้างต้น หลักการพื้นฐานประกอบไปด้วย

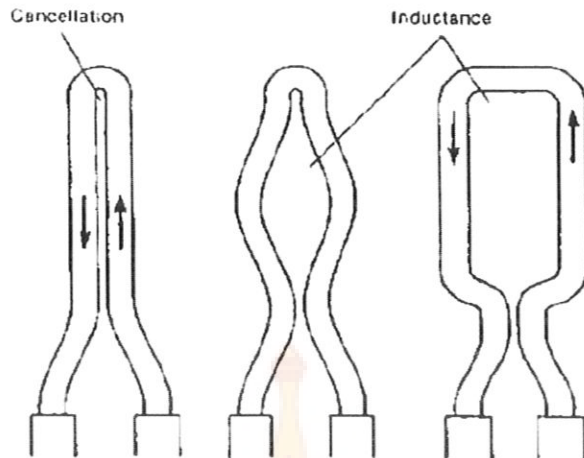
1) ชุด漉วเดนี่ยวนำจะต้องอยู่ใกล้ชิ้นงานให้มากที่สุดเท่าที่ทำได้ เพื่อให้เกิดการส่งผ่านพลังงานสูงสุด สามารถอธิบายได้โดยการที่มีจำนวนเส้นแรงแม่เหล็กตัดผ่านชิ้นงานได้มากขึ้นเมื่อยื่นเข้าไปในชิ้นงานมากขึ้น

2) ในกรณีที่ชุด漉วเดนี่ยวนำเป็นชุดโซลีนอยล์ เส้นแรงแม่เหล็กจะคล้องผ่านภายในชุด漉วมากที่สุด ซึ่งตำแหน่งนี้จะให้อัตราการให้ความร้อนมากที่สุด

3) เนื่องจากเส้นแรงแม่เหล็กจะมีความหนาแน่นมากที่สุดที่ตำแหน่งใกล้ชุด漉วเดนี่ยวนำ และจะลดลงเมื่อห่างออกไป โดยที่ตำแหน่งศูนย์กลางของชุด漉วเดนี่ยวนำจะมีเส้นแรงแม่เหล็กน้อยที่สุด ดังนั้นถ้าชิ้นงานถูกวางอยู่ไม่ตรงกลางชุด漉วเดนี่ยวนำ พื้นที่ที่อยู่ใกล้กับชุด漉วเดนี่ยวน้ำจะถูกเหนี่ยวนำให้เกิดความร้อนมากกว่า ทำให้เม็ดความร้อนสลาย散逸

4) ที่จุดต่อของเส้น漉วตัวนำกับชุด漉วเดนี่ยวนำ สนามแม่เหล็กจะมีค่าอ่อนมาก ดังนั้นศูนย์กลางสนามแม่เหล็กไม่จำเป็นจะต้องเป็นศูนย์กลางทางเรขาคณิต ด้วยเหตุนี้จะมีผลอย่างมากสำหรับชุด漉วเดนี่ยวน้ำที่มีรูปเดียว แต่ถ้ามีจำนวนรอบมากขึ้นสภาวะนี้จะมีผลน้อยลง ในทางปฏิบัติแล้วจะจับชิ้นงานหมุนไปด้วยขณะที่มีการให้ความร้อน เพื่อให้ชิ้นงานได้รับความร้อนอย่างสม่ำเสมอ

5) การออกแบบชุด漉วเดนี่ยวนำ จะต้องไม่ทำให้เกิดการหักล้างสนามแม่เหล็ก ดังภาพที่ 2.17 ด้านซ้ายสุดจะไม่มีค่าอินดักเคนซ์ เพราะว่าด้านตรงข้ามของชุด漉วเดนี่ยวน้ำอยู่ใกล้กันมากเกินไป การทำให้เกิดวงรอบในชุด漉วเดนี่ยวน้ำจะทำให้เกิดค่าอินดักเคนซ์เพิ่มขึ้น การออกแบบในภาพที่ 2.17 ด้านขวาเป็นการออกแบบที่ดี

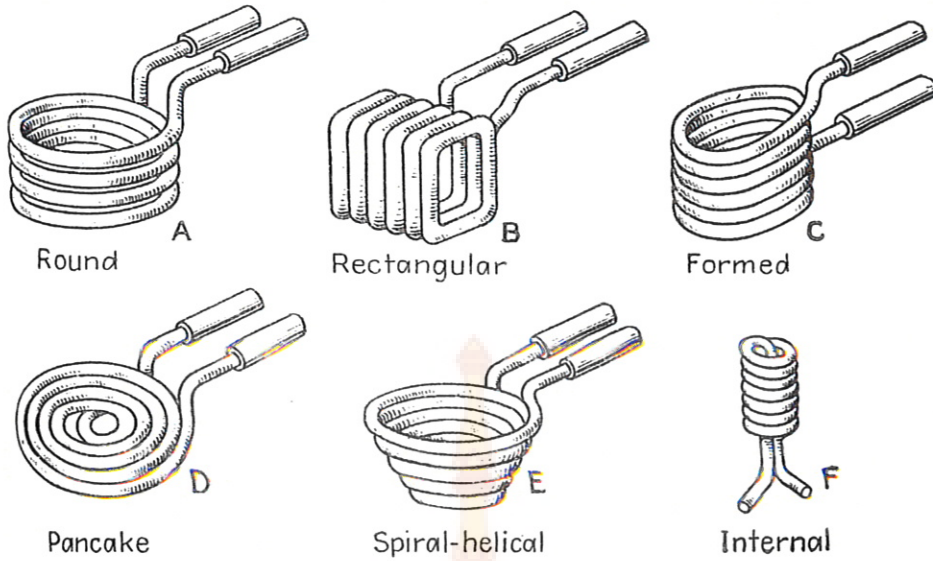


ภาพที่ 2.17 การออกแบบชุดลดเหลี่ยมสำหรับค่าอินดักแนร์

เนื่องจากเหตุผลข้างต้น ชุดลดเหลี่ยมจะต้องสามารถทำให้เกิดความหนาแน่นเส้นแรงแม่เหล็กในพื้นที่ที่ต้องการให้ความร้อนได้ ตัวอย่างเช่น

- โซลินอยด์ที่มีรูปร่างเป็นขด (A helical solenoid) จะให้ความร้อนแก่ชิ้นงานภายในชุดลดเหลี่ยม
- ชุดลดแบบขนมแพนเค้ก (A pancake coil) จะให้ความร้อนเฉพาะบริเวณผิวน้ำด้านหนึ่งของชิ้นงาน
- ชุดลดภายใน (An internal coil) จะให้ความร้อนบริเวณรอบของชุดลดเหลี่ยม

โดยทั่วไปแล้วชุดลดเหลี่ยมจะทำขึ้นจากห่อหงายแอดกาวง ทั้งนี้ เพราะหงายแอดเป็นตัวนำไฟฟ้าที่ดี ทำให้มีกำลังสูญเสียในชุดลดเหลี่ยมต่ำ ซึ่งจะมีผลให้ระบบมีประสิทธิภาพสูง อย่างไรก็ดี เนื่องจากความหนาแน่นของกระแสในชุดลดเหลี่ยมนั้นมีค่าสูง ความร้อนที่เกิดจากกระแสที่ไหลในชุดลดเหลี่ยมจะมีค่ามาก ดังนั้นจึงต้องใช้ห่อหงายแอดกาวง เพื่อให้สามารถระบายความร้อนที่เกิดขึ้นภายในชุดลดเหลี่ยมได้ด้วยของเหลว เช่น น้ำมันผ่านเข้าไปในห่อ



ภาพที่ 2.18 ตัวอย่างของขดลวดเหนี่ยววนนำน้ำดิตต่างๆ

### 2.13 การประมาณกำลังงานของเครื่องเหนี่ยววนนำความร้อน

การประมาณกำลังงานที่ได้ของเครื่องเหนี่ยววนนำความร้อนความถี่สูงนั้น เรายิ่งทราบจาก พลังงานความร้อนที่ชิ้นงานดูดกลืนได้ตลอดช่วงของการทดลอง โดยพิจารณาจากอุณหภูมิที่เปลี่ยนแปลง ไปของชิ้นงาน จากสมการที่ 2.40 แสดงถึงพลังงานที่ชิ้นงาน ( $P_W$ ) ต้องการได้รับในการเพิ่มอุณหภูมิ

$$P_W = mc \frac{T_f - T_{in}}{t} \quad (2.40)$$

- โดยที่  $P_W$  คือ พลังงานที่ต้องการ (Watts)
- $m$  คือ มวลของชิ้นงาน (กิโลกรัม, kg)
- $c$  คือ ค่าความร้อนจำเพาะของชิ้นงาน ( $J/kg^{\circ}C$ )
- $T_{in}$  คือ อุณหภูมิเริ่มต้นของชิ้นงาน ( $^{\circ}C$ )
- $T_f$  คือ อุณหภูมิสุดท้ายของชิ้นงาน ( $^{\circ}C$ )
- $t$  คือ เวลาที่ใช้ (วินาที, s)

$$CTR = \frac{I_{in}}{I_{out}} \quad (2.41)$$

## บทที่ 3

### การศึกษาและออกแบบจรรที่ใช้ในระบบเห็นยิ่งนำความร้อน

#### 3.1 วิธีดำเนินการวิจัย

##### 3.1.1 ขั้นตอนและการศึกษาข้อมูล

การออกแบบและสร้างวาระของระบบเห็นยิ่งนำความร้อน ต้องทำการสร้างวาระศึกษาการทำงานของระบบในส่วนของวงจรภาคต่างๆ เพื่อให้ได้คุณสมบัติของความร้อนที่ต้องการ โดยทำการจำลองวงจรการทำงานทั้งระบบก่อน

1. ศึกษาทฤษฎีและวรรณกรรมที่เกี่ยวข้อง
2. ศึกษาโลหะที่ใช้ในทำเตารีดชนิดต่างๆ (เหล็ก, ทองแดง, อลูมิเนียม, สแตนเลส)
3. ออกแบบจรรที่กำเนิดสัญญาณย่านความถี่สูงและขาด漉าดเห็นยิ่งนำความร้อน
4. ออกแบบโครงสร้างของเตารีดที่จะใช้สนา�แม่เหล็กเห็นยิ่งนำความร้อน
5. ทำการสร้างเตารีดสนา�แม่เหล็กเห็นยิ่งนำ
6. ทำการวิเคราะห์และทดสอบเตารีดสนา�แม่เหล็กเห็นยิ่งนำ
7. ทดสอบและเก็บข้อมูลพลังงานที่ใช้เทียบกับเตารีดแบบทั่วๆไป
8. สรุปผลและวิจารณ์ผล
9. จัดทำรูปเล่มรายงาน
10. เผยแพร่ผลงานวิจัย

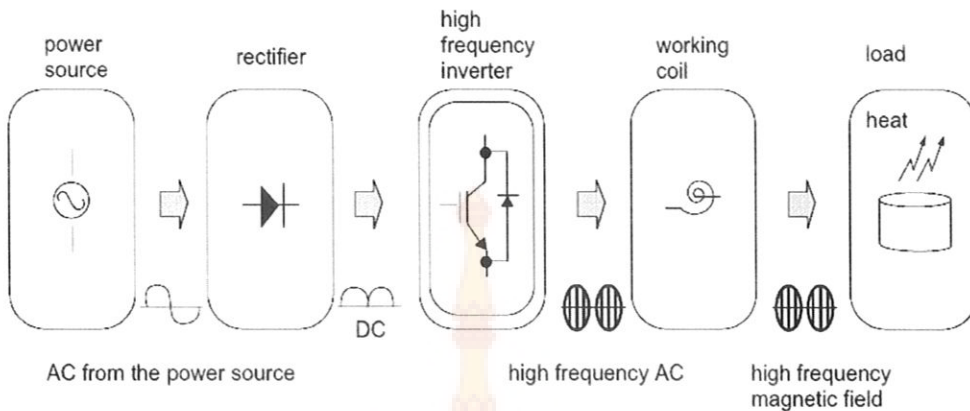
สถานที่ทำการทดลอง/เก็บข้อมูลคือ สาขาวิชาศิวกรรมอิเล็กทรอนิกส์และโทรคมนาคม ภาควิชาศิวกรรมไฟฟ้าและโทรคมนาคม คณะศิวกรรมศาสตร์ มหาวิทยาลัยเทคโนโลยีราชมงคลกรุงเทพฯ และคณะเทคโนโลยี สาขาไฟฟ้าและอิเล็กทรอนิกส์ วิทยาลัยเทคโนโลยีสยาม

### 3.1.2 แผนผังการดำเนินงาน

### ตารางที่ 3.1 แผนผังการดำเนินงาน

### 3.2 การออกแบบการวิจัย

ในการทำงานของ Induction Heating มีหลักการทำงานดังภาพที่ 3.1



ภาพที่ 3.1 แสดงบล็อกโดยรวมการทำงานของ Induction Heating

การควบคุมการทำงานของระบบ Induction Heating ทำการปรับดิจิต์ไซเกิล เพื่อให้ระบบทำงานอย่างมีประสิทธิภาพ ซึ่งมีองค์ประกอบต่างๆ ที่สำคัญแสดงดังต่อไปนี้

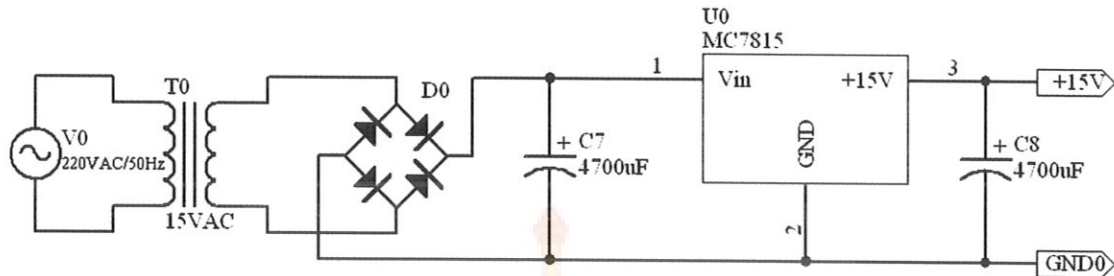
#### 3.2.1 ภาควงจรเหล่งจ่ายกำลัง

วงจรเรียงกระแสจะทำหน้าที่เปลี่ยนไฟฟ้ากระแสสลับแรงดัน 220 โวลต์ ความถี่ 50 เฮิร์ซ เป็นไฟฟ้ากระแสตรง ประกอบด้วย วงจรเรียงกระแสแบบบริดจ์ และตัวเก็บประจุทำหน้าที่เป็นวงจรกรองแรงดัน ซึ่งเป็นส่วนที่จ่ายไฟให้กับวงจรต่างๆ ทั้งส่วนของวงจรควบคุม ส่วนให้กำเนิดสัญญาณความถี่ ส่วนของวงจรขับนำเกต และส่วนของวงจรภาคกำลัง ซึ่งแต่ละส่วนต้องการแรงดันไฟฟ้ากระแสตรงที่ไม่เท่ากัน ดังนั้นจึงต้องออกแบบเพื่อจ่ายไฟแต่ละส่วนให้พอดีกับอุปกรณ์ส่วนนั้นๆ เพื่อประสิทธิภาพของแต่ละวงจร โดยที่เราสามารถแยกวงจรเหล่งจ่ายกำลังได้ทั้งหมดเป็น 3 ส่วน ด้วยกันคือ แหล่งจ่ายกำลังที่ใช้ในส่วนของวงจรควบคุมจากแรงดัน แหล่งจ่ายกำลังที่ใช้ในส่วนของวงจรขับนำเกต และ แหล่งจ่ายกำลังที่ใช้ในส่วนของวงจรภาคกำลัง

##### 3.2.1.1 แหล่งจ่ายกำลังที่ใช้ในส่วนของวงจรกำเนิดความถี่

จากการที่ 3.2 วงจรชุดนี้เป็นวงจรที่ต้องการเอาต์พุต  $15V_{DC}$  เพื่อเป็นวงจรจ่ายไฟให้กับชุดวงจรกำเนิดความถี่ โดยวงจรชุดนี้จะรับไฟกระแสสลับแรงดัน  $220V_{AC}$  ผ่านหม้อแปลง  $15V_{AC}$  เพื่อทำการแปลงแรงดันลงแล้วผ่านเข้าวงจรบริดจ์โดยออด เพื่อทำการแปลงไฟกระแสสลับให้เป็นไฟกระแสสลับเป็นไฟฟ้ากระแสตรงที่สม่ำเสมอขึ้น จึงต้องมีวงจรกรองกระแส โดยที่วงจรกรองกระแส ประกอบด้วยตัวเก็บประจุที่ต้องนานกันอยู่นั่นเอง วงจรชุดนี้ต้องการแรงดันไฟที่จ่ายให้กับวงจรเพียงแค่

$15V_{DC}$  เท่านั้น แต่แรงดันหลังจากผ่านวงจรบริจ์มีค่าถึง  $21V_{DC}$  ดังนั้นเราจึงใช้อีซีเบอร์ 7815 เพื่อปรับแรงดันให้ได้  $15V_{DC}$  ตามต้องการ

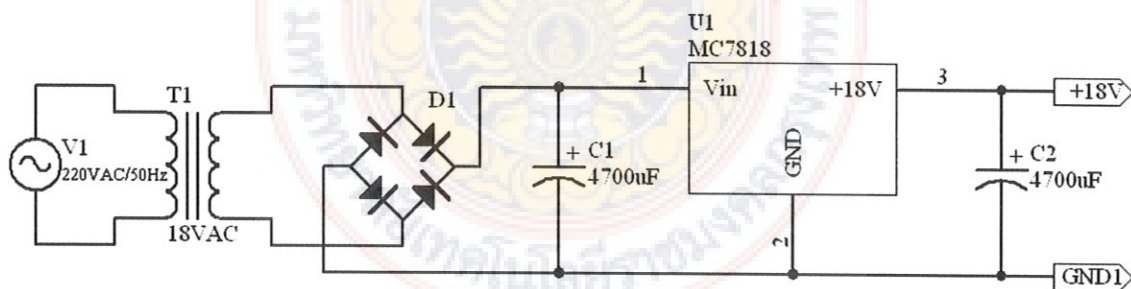


ภาพที่ 3.2 แสดงเพาเวอร์ซัพพลายที่ใช้ในส่วนของวงจรกำเนิดความถี่

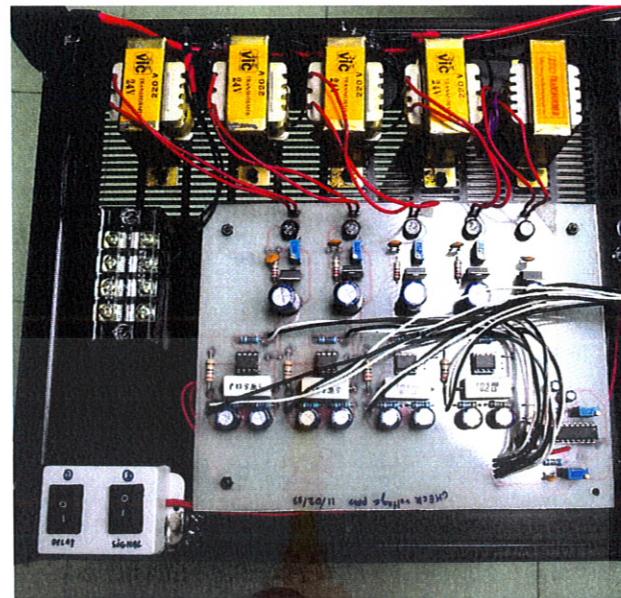
### 3.2.1.2 แหล่งจ่ายกำลังที่ใช้ในส่วนของวงจรขับนำเกต

วงจรขับนำเกตเป็นวงจรที่ต้องการแรงดันไฟฟ้ากระแสสลับ  $18V_{AC}$  ผ่านหม้อแปลง  $18V_{AC}$  เพื่อแปลงแรงดันไฟฟ้าลงให้เหลือ  $18V_{AC}$  และผ่านบริดจ์ไดโอดเพื่อทำการแปลงไฟฟ้ากระแสสลับให้เป็นไฟฟ้ากระแสตรง และผ่านวงจรกรองกระแสที่ใช้ตัวเก็บประจุเช่นกันตามรูปที่ 3.3

วงจรในส่วนนี้จะต้องการแรงดันไฟเข้าวงจร  $18V_{DC}$  เท่านั้น แต่เมื่อแรงดันผ่านบริดจ์ไดโอดแล้วจะเรียงกระแสเดียวจะมีค่าแรงดันเท่ากับ  $18 \times \sqrt{2}$  ซึ่งจะมีค่าเท่ากับ  $25V_{DC}$  และใช้อีซีเบอร์ 7818 เพื่อปรับแรงดันให้ได้  $18V_{DC}$  ตามต้องการ วงจรจริงของแหล่งจ่ายกำลังในส่วนของวงจรขับเกตตามภาพที่ 3.4



ภาพที่ 3.3 แหล่งจ่ายกำลังในส่วนของวงจรขับเกต



ภาพที่ 3.4 แหล่งจ่ายกำลังในส่วนของวงจรกำเนิดความถี่และวงจรขับเกต

### 3.2.1.3 แหล่งจ่ายกำลังที่ใช้ในส่วนของวงจรภาคกำลัง

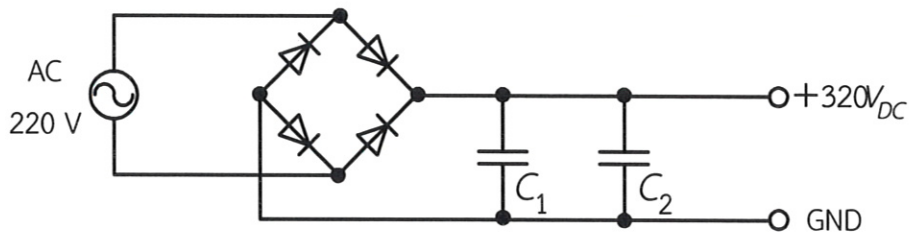
แหล่งจ่ายกำลังที่ใช้ในส่วนของวงจรภาคกำลังแสดงดังภาพที่ 3.5 วงจรชุดนี้ต้องการแรงดันไฟฟ้า  $320V_{DC}$  มาเป็นไฟเลี้ยงให้กับระบบของวงจรภาคกำลัง โดยวงจรส่วนนี้จะรับไฟกระแสสลับ  $220V_{AC}$  เข้ามาผ่านชุดวงจรบริดจ์ไดโอดเพื่อทำการแปลงไฟฟ้ากระแสสลับให้เป็นไฟฟ้ากระแสตรง เอ้าต์พุตที่ออกจากบริดจ์ไดโอดจะต่อเข้ากับตัวเก็บประจุขนาด  $4,700\mu F$  ที่ต่อขานกันอยู่ จากรางส่วนนี้เรามารถคำนวณแรงดันไฟฟ้ากระแสตรงได้จากสมการที่ 3.1 ได้แรงดันเท่ากับ  $320V_{DC}$  จากภาพที่ 3.5 แสดงส่วนของวงจรแหล่งจ่ายกำลังที่ใช้ในส่วนของวงจรภาคกำลัง วงจรจริงของแหล่งจ่ายกำลังในส่วนของวงจรภาคกำลัง แสดงดังภาพที่ 3.6

$$V_{DC} = (\sqrt{2} \times V_S) - V_D \quad (3.1)$$

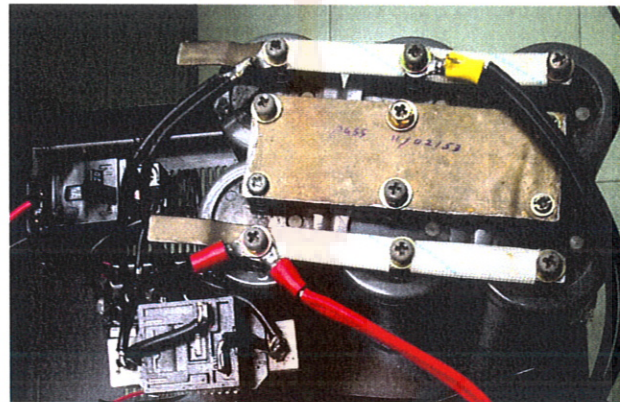
เมื่อ  $V_S$  คือ แรงดันที่ใช้งาน  
 $V_D$  คือ แรงดันที่ตกคร่อมไดโอด

ดังนั้น

$$\begin{aligned} V_{DC} &= (\sqrt{2} \times 220) - (2 \times 0.70) \\ &= 320V_{DC} \end{aligned}$$



ภาพที่ 3.5 แหล่งจ่ายกำลังในส่วนของวงจรภาคกำลัง

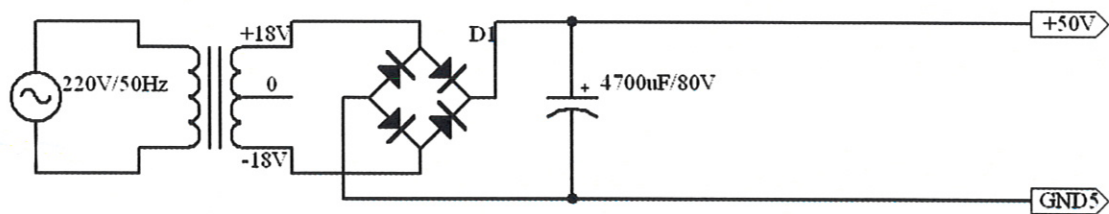


ภาพที่ 3.6 แหล่งจ่ายกำลังในส่วนของวงจรภาคกำลัง

แต่เมื่อทำการปรับปรุงภาคกำลัง จากการใช้อิจีบีที่เป็นมอสเฟต แหล่งจ่ายกำลังที่ใช้ในส่วนของวงจรภาคกำลังชุดนี้ต้องการแรงดันไฟฟ้า  $50V_{DC}$  มาเป็นไฟเลี้ยงให้กับระบบของวงจรภาคกำลัง โดยวงจรส่วนนี้จะรับไฟกระแสสลับ  $220V_{AC}$  เข้ามาผ่านชุดวงจรบริดจ์ไดโอด เพื่อทำการแปลงไฟฟ้ากระแสสลับให้เป็นไฟฟ้ากระแสตรง เอาร์พุตที่ออกจากบริดจ์ไดโอดจะต่อเข้ากับตัวเก็บประจุขนาด  $4,700 \mu F$  จากวงจรส่วนนี้เรามารถคำนวณหาค่าไฟฟ้ากระแสตรงจากได้สมการที่ 3.1 ได้แรงดัน  $50V_{DC}$

$$V_{DC} = (\sqrt{2} \times 36) - (2 \times 0.70)$$

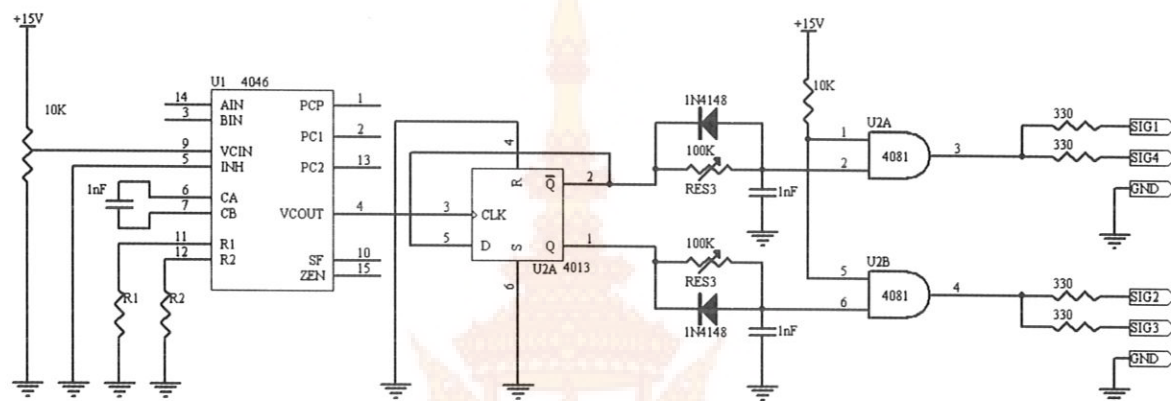
$$= 50V_{DC}$$



ภาพที่ 3.7 แหล่งจ่ายกำลังในส่วนของวงจรภาคกำลัง

### 3.2.2. ภาควงจรกำเนิดความถี่

ระบบสนานแม่เหล็กไฟฟ้าเนี้ยวนำมีหลักการทำงานโดยต้องใช้ความถี่ส่งผ่านเข้าไปในชุดลวดเหนี่ยวนำทำให้โหลดเกิดความร้อน ดังนั้นจะสร้างความถี่จะต้องกำเนิดความถี่ได้ในช่วงเรโซแนนซ์ของโหลดที่ต้องการได้ จึงได้เลือกใช้ IC 4046 ซึ่งเป็น IC Phase Look Loop ในการกำเนิดความถี่ ซึ่งสามารถกำเนิดความถี่ในย่านที่ต้องการได้ โดยจะทำหน้าที่กำเนิดสัญญาณสี่เหลี่ยมโดยจะใช้แรงดันไฟฟ้าเป็นตัวควบคุมผ่าน VR10 kΩ เพื่อปรับแรงดันในการสร้างความถี่ ซึ่งความถี่ที่ IC สามารถกำเนิดได้อよุ่ที่ค่าความต้านทานที่ขา 11 และขา 12



ภาพที่ 3.8 แสดงวงจรกำเนิดความถี่ที่ต่ออยู่กับวงจร RC delay

จากสมการในการหาความถี่จะได้

$$F_{\max} = \frac{1}{R_1}$$

$$F_{\min} = \frac{1}{R_2}$$

สัญญาณสี่เหลี่ยมที่ได้จะออกที่ขาเอาร์พุต ที่ขา 4 ของ IC เพื่อนำไปใช้งาน จากนั้นสัญญาณที่ได้จากขา 4 จะถูกนำไปกลับเฟสโดย D-type flip flop 4013 สัญญาณที่ได้จะมีเฟสตรงข้ามกัน 180 องศา เอาร์พุตที่ได้จะมีสัญญาณสองสัญญาณ คือ สัญญาณเมื่อกับสัญญาณอินพุตที่ขา 1 (Hi) และ สัญญาณที่ถูกกลับเฟส 180 องศา ที่ขา 2 (Low) จากนั้นสัญญาณที่ได้จะถูกหน่วงเวลาโดยค่า delay time ( $\tau$ ) ที่ถูกกำหนดโดยค่า  $R$  และ  $C$  สัญญาณที่ได้จะเป็นสัญญาณที่เกิดจากการเก็บประจุและคายประจุของ  $C$  และจะถูกกลับมาทำให้เป็นสัญญาณสี่เหลี่ยมอีกครั้งด้วย IC 4081 ซึ่งสัญญาณที่ได้จะเป็นสัญญาณ Hi และ Low ที่นำไปขับเกต

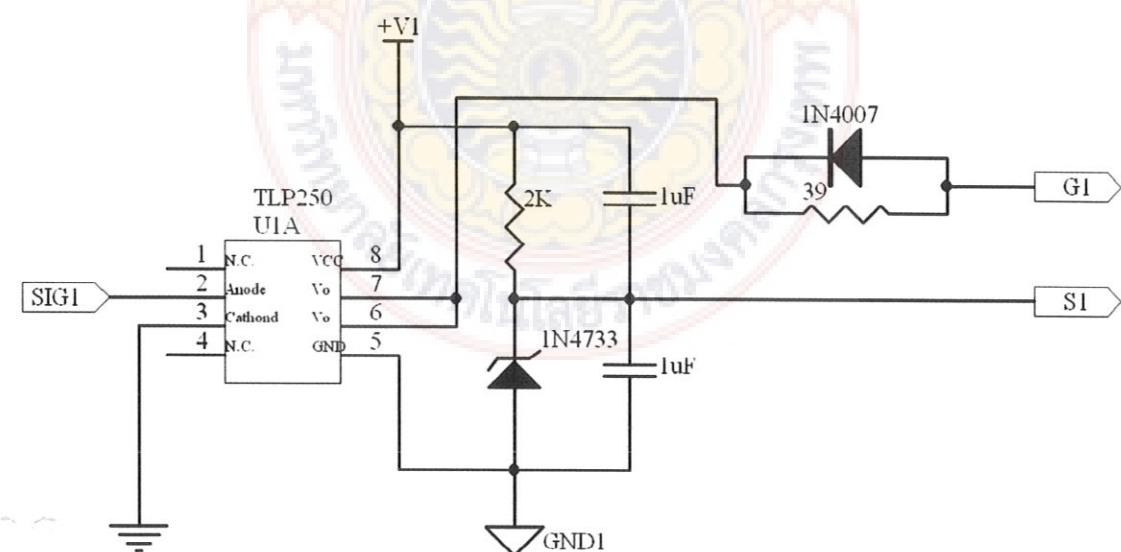
### 3.2.3 ภาควงจรขับเกต

วงจรขับสัญญาณขาเกตของมอสเฟต์ก็จะต้องแยกเกตของมอสเฟต์แต่ละตัว โดยที่วงจรแต่ละชุดจะต้องมีแหล่งจ่ายแรงดันแยกกัน เนื่องจากให้เกิดการแยกกันระหว่างกราวด์ของวงจรขับแต่ละตัว เพื่อป้องกันการทำงานชนกันของมอสเฟต์ ซึ่งถ้าเอาร์พุตเป็นวงจรขยายแบบฮาร์ล์ฟบริดจ์ (half bridge) ต้องประกอบด้วยวงจรขับ 2 ชุด และถ้าเป็นวงจรขยายแบบฟลูบридจ์ (full bridge) จะต้องใช้วงจรขับเกตทั้งหมด 4 ชุด ซึ่งแต่ละชุดจะมีการทำงานเหมือนกัน

ในส่วนของวงจรขับเกตจะใช้ Opto ในการขับเกตของมอสเฟต์ ซึ่ง Opto จะมีด้วยกัน 2 ชนิด คือ ชนิดที่มี Protection ในตัว และชนิดที่ไม่มีวงจรป้องกันในตัว ซึ่งในงานวิจัยนี้จะทดลองใช้ IC ที่เป็น Opto ทั้ง 2 ชนิด คือ IC เบอร์ TLP 250 เป็นชนิดที่ไม่มีวงจรป้องกันในตัว ซึ่งจะใช้เป็น IC ขับเกต ในวงจรขยายสัญญาณเอาร์พุตแบบฟลูบридจ์ และ IC เบอร์ PC 923 เป็นชนิดที่มีวงจรป้องกันในตัว ซึ่งจะใช้เป็น IC ขับเกตในวงจรขยายสัญญาณเอาร์พุตแบบฮาร์ล์ฟบริดจ์ โดยจะแยกอธิบายการทำงานของ IC แต่ละเบอร์ที่กล่าวมาดังนี้

#### 3.2.3.1 การออกแบบวงจรขับเกตและการทำงานของ IC ขับเกต เบอร์ TLP250

หลังจากที่ได้สัญญาณเอาร์พุตจากการจำแนกความถี่แล้ว สัญญาณที่ได้จะเข้ามาที่ขา 2 ของ IC TLP 250 โดยการทำงานของ IC Opto ทางด้านอินพุตจะรับสัญญาณขับเกตผ่าน Diode นั้นจะส่งสัญญาณไปยังวงจรขยายทางด้านเอาร์พุต ซึ่งใช้ทรานซิสเตอร์ทำงานแบบ Push Pull ส่งไปยังขาเกตของมอสเฟต์กำลังขณะนำกระแส ทั้งนี้เพื่อเป็นการแยกกราวด์ระหว่างอินพุตและเอาร์พุต เพื่อป้องกันความเสียหายที่เกิดจากวงจรขยายภาคสุดท้าย



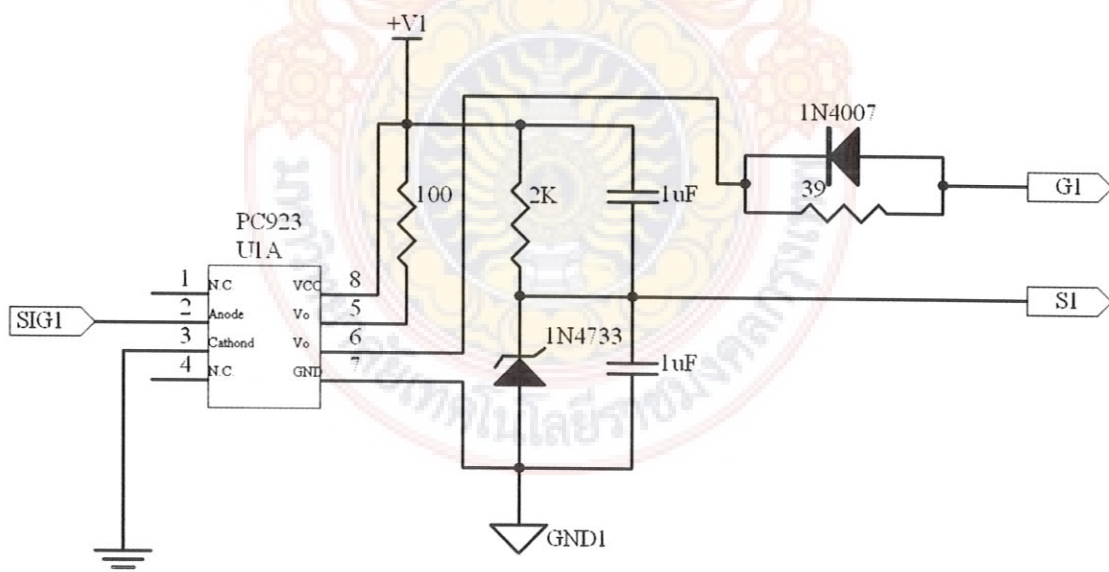
ภาพที่ 3.9 แสดงการทำงานของ IC ขับเกต เบอร์ TLP250

ในการต่อแหล่งจ่ายไฟตรงนี้ จะพิจารณาจากช่วงการนำกระแสและช่วงหยุดนำกระแสของมอสเฟตกำลัง ต้องการแรงดันขับเกตที่ +13 โวลต์ ส่วนในช่วงหยุดนำกระแสแม้มอสเฟตกำลัง ต้องการแรงดันขับเกตที่ -5 โวลต์ ซึ่งเป็นการป้องกันสภาพแตกค้างของประจุภายในตัวไปด้วย

จากหลักการดังกล่าวจึงได้ออกแบบแหล่งจ่ายที่ระดับ 18 โวลต์จ่ายให้กับวงจร ทำให้ได้แรงดันตามหลักการของมอสเฟตกำลัง และการใบแอลอสแรงดันที่ขาอิริสจะต้องมีการยกระดับแรงดันขึ้นไป 5.1 โวลต์ เพื่อต้องการให้มอสเฟตคายประจุได้เร็ว เนื่องจากในการทำงานของมอสเฟตจะเกิดประจุ放ชั่นภายใน โดยสัญญาณเอาร์พุตที่ขา 6 และขา 7 จะเป็นสัญญาณที่ใช้ขับเกตของมอสเฟตกำลังในวงจรขยายสัญญาณเอาร์พุต

### 3.2.3.2 การออกแบบวงจรขับเกตและการทำงานของ IC ขับเกต เบอร์ PC923

การทำงานของ IC Opto เบอร์ PC923 จะเหมือนกับ IC Opto เบอร์ TLP250 แต่จะต่างกันที่ เบอร์ PC923 จะเป็น IC Opto ชนิดที่มีวงจรป้องกันในตัว และทำการต่อใช้งานวงจรจะแตกต่างกันเล็กน้อย โดยจะมีสัญญาณอินพุตที่มาจากการกำเนิดความถี่เข้ามาที่ขา 2 ของ IC การทำงานภายใน IC จะเหมือนกับ TLP250 เพื่อเป็นการแยกกราวด์ระหว่างอินพุตและเอาร์พุต เช่นเดียวกัน และการใบแอลอสแรงดันที่ขาอิริสจะต้องมีการยกระดับแรงดันขึ้นไป 5.1 โวลต์ เพื่อต้องการให้มอสเฟตคายประจุได้เร็ว เนื่องจากในการทำงานของมอสเฟตจะเกิดประจุ放ชั่นภายใน โดยสัญญาณเอาร์พุตที่ขา 6 จะเป็นสัญญาณที่นำไปใช้ขับเกตของมอสเฟตกำลังในวงจรขยายสัญญาณเอาร์พุตแบบไฮล์ฟบริดจ์ต่อไป

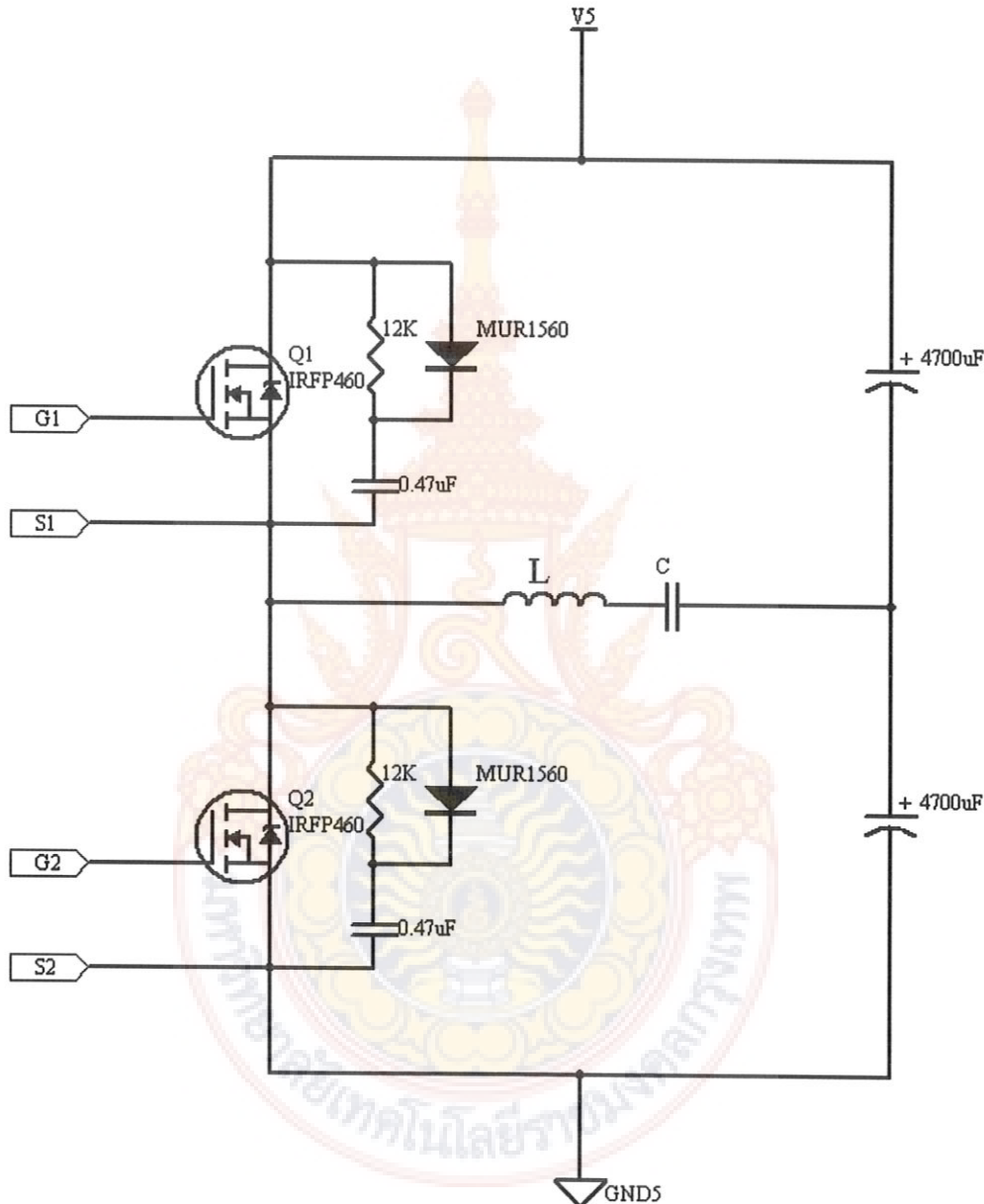


ภาพที่ 3.10 แสดงการทำงานของ IC ขับเกต เบอร์ PC923

### 3.2.4 วงจรขยายสัญญาณเอาต์พุตแบบชาร์ฟบริดจ์และแบบฟลูบридจ์

ในส่วนของภาควงจรขยายสัญญาณเอาต์พุตนั้นจะแยกอธิบายการทำงานของวงจรขยายในแบบชาร์ฟบริดจ์และวงจรขยายในแบบฟลูบридจ์ไว้ดังนี้

#### 3.2.4.1 วงจรขยายสัญญาณเอาต์พุตแบบชาร์ฟบริดจ์



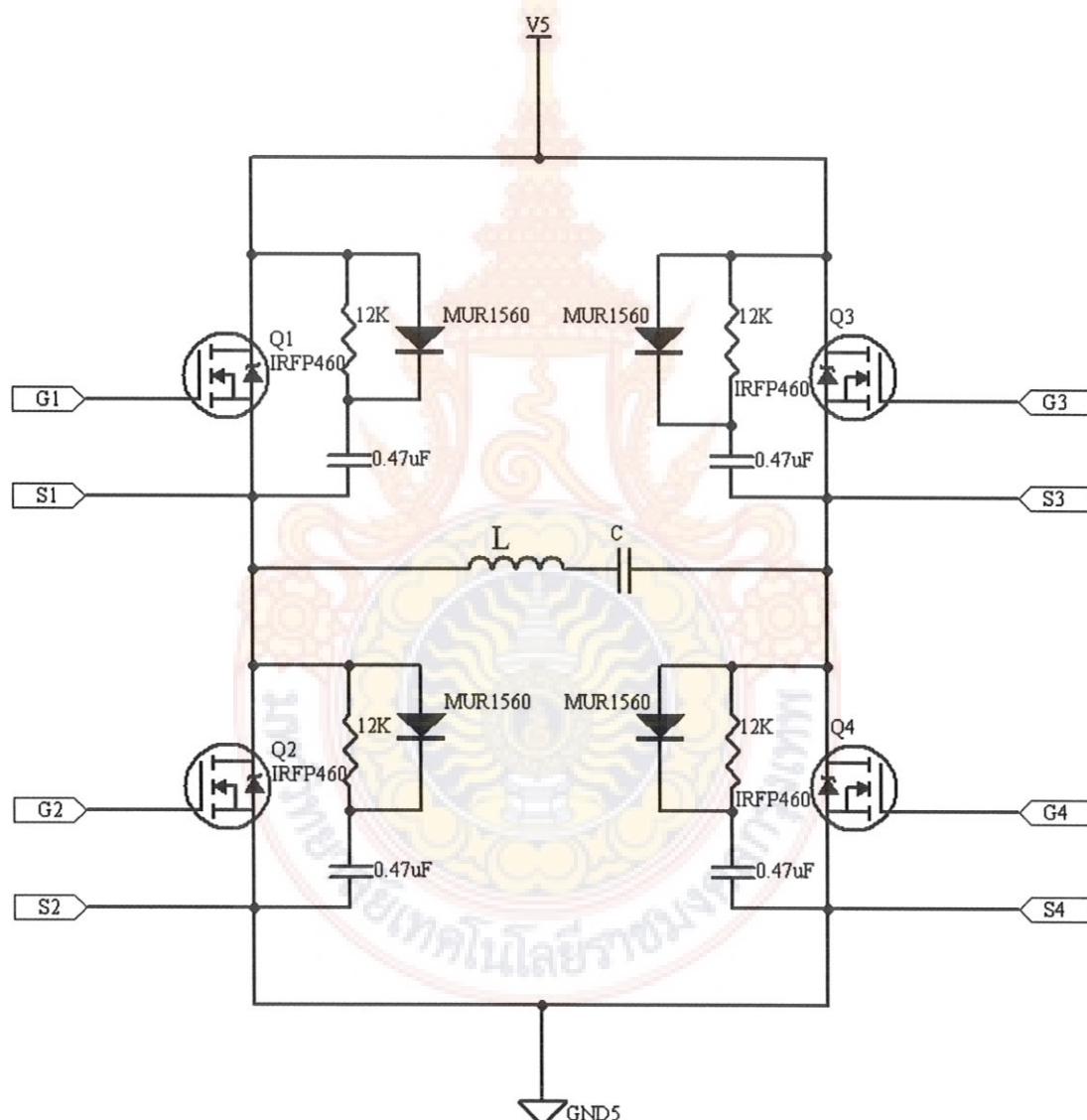
ภาพที่ 3.11 วงจรขยายสัญญาณเอาต์พุตแบบชาร์ฟบริดจ์

วงจรขยายแบบชาร์ฟบริดจ์จะใช้มอสเฟตทั้งหมด 2 ตัว โดยมอสเฟตทั้งสองตัวจะสลับกันทำงาน ในขณะที่ตัวใดตัวหนึ่งทำงานอีกตัวจะหยุดทำงาน ซึ่งมอสเฟตจะถูกกำหนดการทำงานโดย สภาวะที่ได้จากการขับของ Opto ในรูปเมื่อ  $G_1$  ได้สัญญาณ  $Q_1$  จะทำงาน เปรียบเสมือนเป็นการปิด วงจรกระแสก็จะไหลผ่านโหลดลงศักย์ไฟฟ้าที่ต่ำกว่า เมื่อเวลาผ่านไป  $G_2$  ได้รับสัญญาณ จะมีกระแส

ให้ผลผ่านโหลดจากคัมภีร์กว้างที่ต่ำกว่าผ่าน  $Q_2$  ลงกราวด์ ซึ่งมอสเฟตจะทำงานสลับกันไปเรื่อยๆ ทำให้ได้สัญญาณที่โหลดอย่างต่อเนื่อง ลักษณะการทำงานเช่นนี้ของวงจรไฮล์ฟบริดจ์ทำให้วงจรใช้แรงดันสูงแต่กระแสสน้อย

### 3.2.4.2 วงจรขยายสัญญาณเอาต์พุตแบบฟูลบริดจ์

วงจรขยายสัญญาณเอาต์พุตแบบฟูลบริดจ์จะแตกต่างกับวงจรขยายแบบไฮล์ฟบริดจ์เนื่องจากใช้มอสเฟตทั้งหมด 4 ตัว ซึ่งดีกว่าวงจรขยายแบบไฮล์ฟบริดจ์ตรงที่ใช้แหล่งจ่ายแรงดันแค่ชุดเดียว ในขณะที่แบบไฮล์ฟบริดจ์ต้องมีแรงดัน 2 ชุด คือ บาง ลบ กราวด์



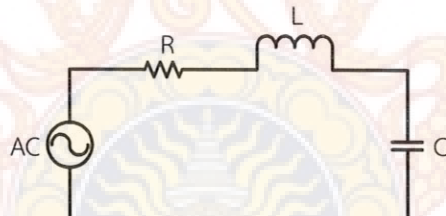
ภาพที่ 3.12 แสดงวงจรขยายสัญญาณเอาต์พุตแบบฟูลบริดจ์

การทำงานของวัสดุร้ายสัญญาณເອົາຕີພຸລບຣິດ໌ ມອສເຟຈະກຳທຳການພ້ອມກັນ 2 ຕັ້ງ ໂດຍຖືກກຳຫັນດກການທຳການຈາກວົງຈະບັນເກດ ທີ່ໃນຮູບເມື່ອ  $G_1$  ແລະ  $G_4$  ໄດ້ຮັບສัญญาณ  $Q_1$  ແລະ  $Q_4$  ທຳການ ກຣະແສຈໃຫ້ຈາກ  $Q_1$  ຜ່ານໂຫດລົງກຣາວົດທີ່  $Q_4$  ແລະ ເມື່ອເວລາເປີ່ມຢືນໄປ  $G_2$  ແລະ  $G_3$  ໄດ້ຮັບສัญญาณ  $Q_2$  ແລະ  $Q_3$  ທຳການ ກຣະແສຈໃຫ້ຈາກ  $Q_3$  ຜ່ານໂຫດລົງກຣາວົດທີ່  $Q_2$  ທຳໃຫ້ໄດ້ສัญญาณທີ່ ຕ່ອນື່ອງ ສ່ວນລັກຊະນະຂອງວົງຈະບັນເກດພຸລບຣິດ໌ຈະໃຫ້ແຮງດັນນ້ອຍກວ່າວົງຈະບັນເກດພຸລບຣິດ໌ ແຕ່ຈະໃຫ້ກຣະແສສູງກວ່າ

### 3.2.5 ວຈຣ LC ເຮໂໜແນ່ນໜີ

### 3.2.5.1 วงศ์เรโซแนนซ์แบบอนุกรม

การต่อวงจรเรซิวน์แบบอนุกรมภาพที่ 3.13 กระแสไฟฟ้าที่ไหลผ่านตัวต้านทาน ตัวเหนี่ยวนำ และตัวเก็บประจุ จะมีค่าเท่ากัน



### ภาพที่ 3.13 วงศ์เรโซแนนซ์แบบอนุกรม

เราจึงพิจารณาเชิงพาณิชย์ความต่างศักย์ท่านนั้น โดยที่

ความต่างศักย์ที่ปลายตัวด้านหน้า ( $V_B$ ) จะมีเฟสเดียวกับกระแสไฟฟ้า /

ความต่างศักย์ที่ปลายตัวเก็บประจุ ( $V_C$ ) จะมีเฟสตามหลังกระแสไฟฟ้า / อายุ 90°

ความต่างศักย์ที่ปลายตัวเหนี่ยวนำ ( $V_L$ ) จะมีเฟสนำหน้ากราฟไฟฟ้า / อุญ  $90^\circ$

$$v^2 = v_R^2 + (v_I - v_C)^2$$

๑๕๘

$$V = \sqrt{V_R^2 + (V_I - V_C)^2}$$

มุมไฟสของความต่างศักย์รวม

$$\tan \theta = \frac{V_L - V_C}{V_R}$$

จะได้

$$\theta = \tan^{-1} \left( \frac{V_L - V_C}{V_R} \right) \quad (3.2)$$

จากสมการ ในกรณีที่  $V_C = V_L$  ค่าความต่างศักย์ไฟฟ้ารวมในวงจรจะเท่ากับ  $V_R$  (เนื่องจากไฟสของ  $V_C$  และ  $V_L$  ต่างกันอยู่ 180 องศา ทำให้ค่าทั้งสองหักล้างกันเป็นศูนย์)  
เนื่องจาก

$$V_L = I X_L \text{ และ } V_C = I X_C$$

ดังนั้น

$$V_L = V_C \rightarrow X_L = X_C$$

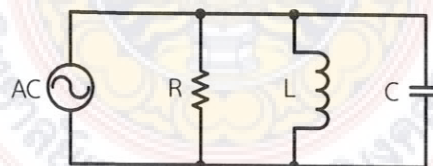
จะได้ว่า

$$\therefore f = \frac{1}{2\pi\sqrt{LC}}$$

การต่อ  $RLC$  แบบอนุกรม เมื่อยูในสภาพเรโซแนนซ์ ค่ากระแสไฟฟ้าในวงจรจะมีค่ามากที่สุด

### 3.2.5.2 วงจรเรโซแนนซ์แบบขนาน

การต่อวงจรเรโซแนนซ์แบบขนานดังรูปที่ 3.14 ความต่างศักย์ที่ต่อกคร่วงตัวต้านทานตัวหนึ่งยวนำ และตัวเก็บประจุ จะมีค่าเท่ากัน



ภาพที่ 3.14 แสดงวงจรเรโซแนนซ์แบบขนาน

เราจึงพิจารณาเฉพาะกระแสไฟฟ้าเท่านั้นโดย

$$I^2 = I_R^2 + (I_C - I_L)^2$$

ดังนั้น

$$I = \sqrt{I_R^2 + (I_C - I_L)^2}$$

และมุมเพลส

$$\tan \theta = \frac{I_C - I_L}{I_R}$$

$$\theta = \tan^{-1} \left( \frac{I_C - I_L}{I_R} \right)$$

ในกรณีที่  $I_C = I_L$  ค่ากระแสไฟฟ้าในวงจรจะมีค่าเท่ากับ  $I_R$  เพราะ  $I_C$  มีเฟสต่างจาก  $I_L$  อยู่ 180 องศา

จะได้

ดังนั้น

$$V_L = I_L X_L \text{ และ } V_C = I_C X_C$$

จะได้

$$\therefore f = \frac{1}{2\pi\sqrt{LC}}$$

การต่อ  $RLC$  แบบขนาน เมื่อยูในสภาพเรโซแนนซ์ ค่ากระแสไฟฟ้าในวงจรจะมีค่าน้อยที่สุด

จากการออกแบบวงจรเรโซแนนซ์แบบอนุกรมและขนานที่ทำหน้าที่เป็นแหล่งของวงจร ซึ่งค่าเรโซแนนซ์สามารถหาได้จาก

$$f = \frac{1}{2\pi\sqrt{LC}}$$

โดยข้างต้นเราทราบว่า  $L$  ของวงจรมีค่าเท่าไร จากการพัน  $L$  และวัดค่าด้วยเครื่องวัด ความเหนี่ยวนำ ได้ค่า  $L = 40 \mu H$  หรือสามารถคำนวณได้จากสมการ

$$L = \frac{N^2 A \mu}{l}$$

$$= \frac{30^2 \times \pi \times (26 \times 10^{-3})^2 \times 1.256 \times 10^{-6}}{60 \times 10^{-3}}$$

$$L = 40 \mu H$$

และการใช้ความถี่ในย่าน  $35.588 kHz$  สามารถหาค่า  $C$  ได้จากการคำนวณ

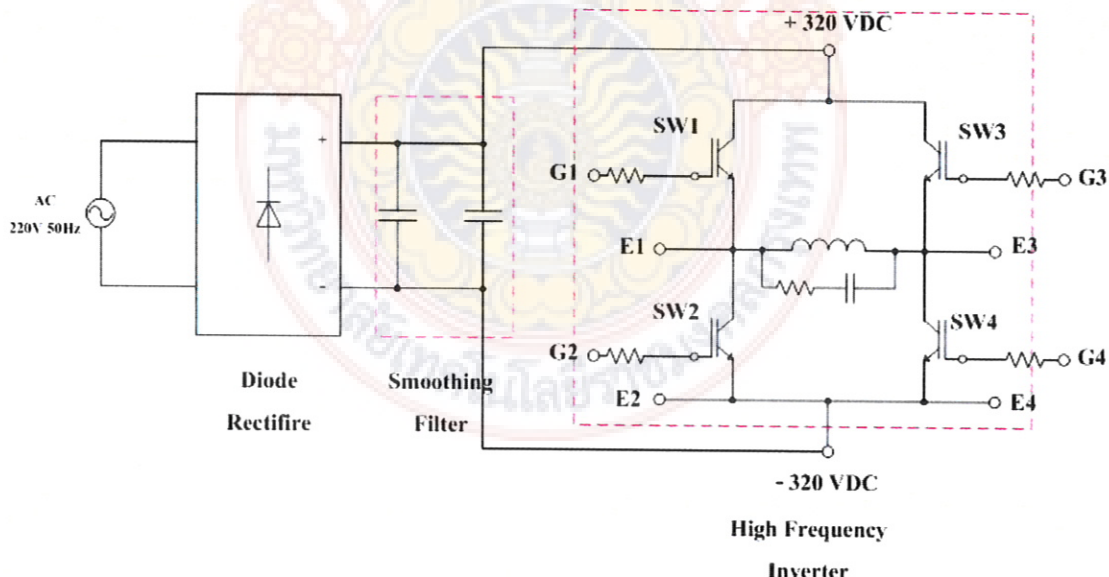
$$\begin{aligned}
 C &= \frac{\left(\frac{1}{2\pi f}\right)^2}{L} \\
 &= \frac{\left(\frac{1}{2\pi \times 35.588 \times 10^3}\right)^2}{40 \times 10^{-6}} \\
 C &= 0.5 \mu F
 \end{aligned}$$

และสามารถหาความถี่เรโซแนนซ์ในวงจรได้จาก

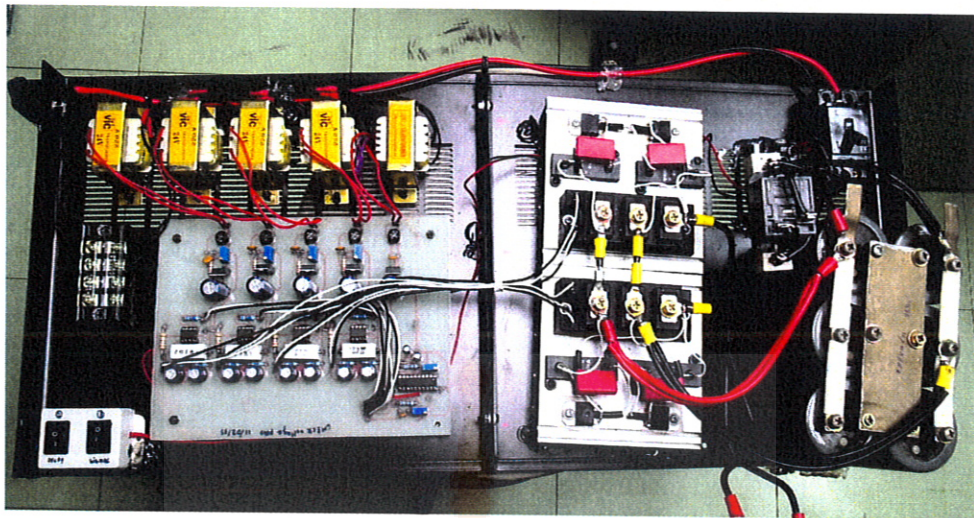
$$\begin{aligned}
 f_r &= \frac{1}{2\pi\sqrt{LC}} \\
 f_r &= \frac{1}{2\pi \times \sqrt{(40 \times 10^{-6}) \times (0.5 \times 10^{-6})}} \\
 &= 35.588 \text{ kHz}
 \end{aligned}$$

จากการคำนวณที่ได้ความถี่เรโซแนนซ์ คือ 35.588 kHz

### 3.2.6 การออกแบบวงจรใช้งานในเตารีด



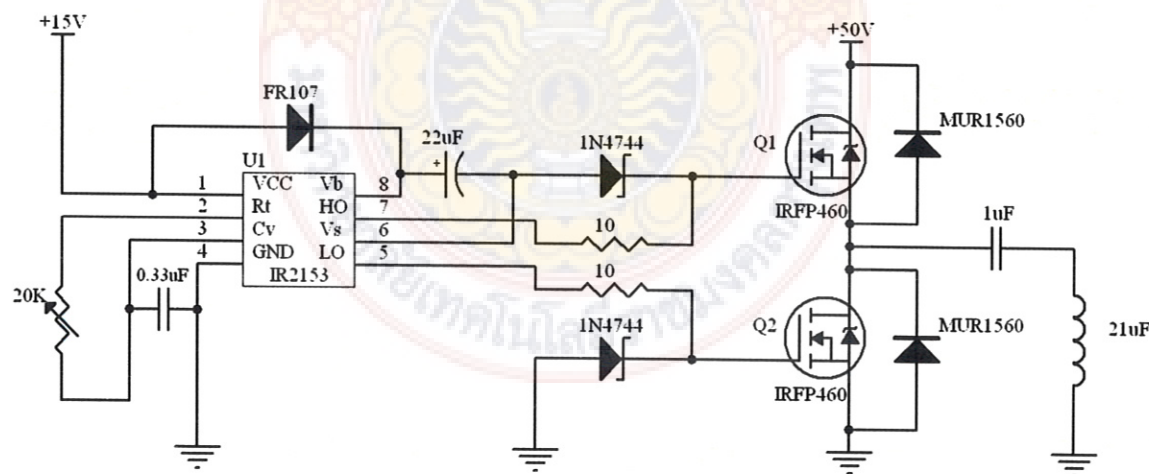
ภาพที่ 3.15 แสดงวงจรฟูลบริดจ์อินเวอร์เตอร์



ภาพที่ 3.16 แสดงวงจรใช้งานจริงที่ใช้อิจีบีที

ในการสร้างเตารีดสนามไฟฟ้าเหนี่ยวนำ ไม่สามารถนำอุปกรณ์ทั้งหมดในเตารีดได้เนื่องจาก วงจรเมฆนาดใหญ่ จึงมีการออกแบบวงจรใหม่โดยใช้ IC ที่สามารถสร้างความถี่และขับเกตได้ในตัวเดียว ซึ่งทำให้วงจรเมฆนาดเล็กลง

วงจรที่ใช้งานจริงของเตารีด Induction Heating จะใช้ IC เบอร์ IR 2153 ที่ทำหน้าที่เป็นตัว กำหนดสัญญาณสี่เหลี่ยม กลับเฟสสัญญาณ กำหนดค่า dead time และขับสัญญาณให้กับมอสเฟต ภายในตัวเดียว ซึ่งเป็นการลดขนาดของวงจร และอุปกรณ์ลง อีกอย่างคือ ไม่ต้องใช้แหล่งจ่ายแรงดัน หลายชุด เนื่องจากไม่มีปัญหาเกี่ยวกับกราวด์ของวงจร โดยจะใช้ขั้บมอสเฟตแบบฮาร์ฟบริดจ์ การ ทำงานของวงจรขออธิบายรวมดังนี้



ภาพที่ 3.17 แสดงวงจรที่ใช้ในเตารีด

การกำหนดสัญญาณของวงจรถูกกำหนดโดย  $VR = 50\text{ k}\Omega$  และ  $C = 0.33\text{ nF}$  จากนั้นสัญญาณที่ ได้ถูกกลับเฟสสัญญาณและถูกกำหนดค่าการเพื่อทางเวลาออกมาเป็นสถานะ HI และ LOW ทางขา 7

และ ข้า 5 ตามลำดับ สัญญาณนี้สามารถขับมอสเพตกำลังได้โดยตรง ซึ่งมีซีเนอร์ไดโอดทำหน้าที่ควบคุมสัญญาณขับไม่ให้มากเกินไป และเมื่อมอสเพต  $Q_1$  ได้รับการใบแอสแรงดันที่ขาเกต ทำให้กระแสทางเอาต์พุตไฟล์ผ่านโหลดเรโซแนนซ์ หลังจากนั้นเมื่อเวลาผ่านไป  $Q_2$  ได้รับใบแอสตรง เนื่องจากการทำงานของ  $Q_1$  ทำให้กระแสไฟล์ผ่านโหลด 1 จังหวะ สัญญาณที่ได้จึงเกิดการขยายครบ 1 รอบพอดี ซึ่งจากการแสต์ไฟล์ผ่านโหลดเป็นจังหวะเป็นผลให้ขาด漉ดเกิดการยุบตัวของตัว ตัดผ่านแกนเหล็กทำให้เกิดความร้อนขึ้นที่แกนเหล็ก

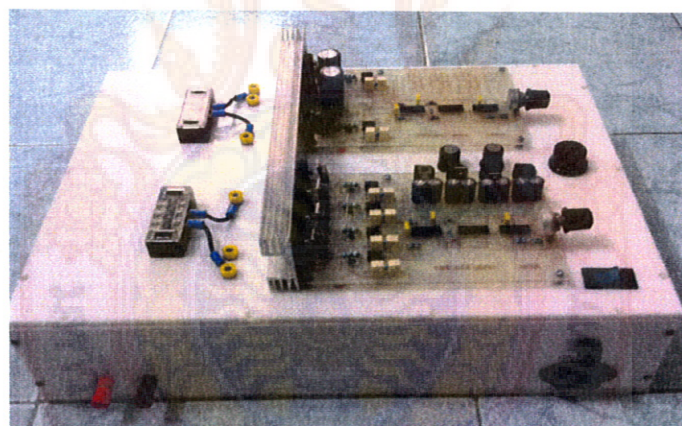
ส่วนค่าเรโซแนนซ์ของวงจรใช้งานจริง ถูกกำหนดโดยขาด漉ดที่พันอยู่กับเตารีดซึ่งสามารถหาค่าเรโซแนนซ์ได้จาก

$$f_r = \frac{1}{2\pi\sqrt{LC}}$$

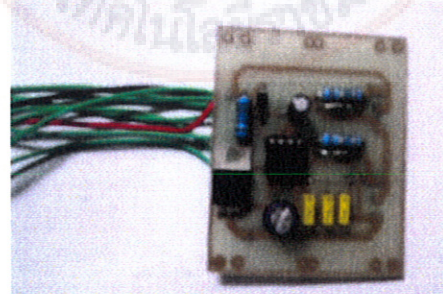
จาก  $L = 21 \mu H$  ขณะมีโหลดและกำหนดให้  $C = 1$  จะได้

$$f_r = \frac{1}{2\pi\sqrt{21 \times 10^{-6} \times 1 \times 10^{-6}}}$$

$$f_r = 34.748 \text{ kHz}$$



ภาพที่ 3.18 วงจรเหนี่ยวนำความร้อนที่สร้างสำเร็จแล้วทั้งแบบขาฟล์บบริดจ์และฟลูบริดจ์



ภาพที่ 3.19 แสดงวงจรจริงที่ใช้ประกอบลงเตารีด

### 3.2.7 การออกแบบแผ่นความร้อนและโครงสร้างของเตารีด

ในการออกแบบแผ่นความร้อนต้องคำนึงถึงปัจจัยหลายอย่าง ที่มีผลทำให้แผ่นความร้อนเกิดความร้อนมากที่สุด โดยขึ้นอยู่กับองค์ประกอบหลายลักษณะ ซึ่งจะมีลักษณะหลักดังต่อไปนี้

1. รูปร่างของแผ่นความร้อน โดยแผ่นความร้อนต้องสามารถใช้งานได้เหมือนกับแผ่นความร้อนของเตารีดแบบเดิมที่มีใช้กันอยู่ในปัจจุบัน
2. ความร้อนที่ได้ที่ผิวน้ำของแผ่นความร้อนต้องมีความร้อนพอที่สามารถทำให้รีดผ้าเรียบได้
3. ขนาดของแผ่นความร้อนต้องมีขนาดไม่ใหญ่จนเกินไป

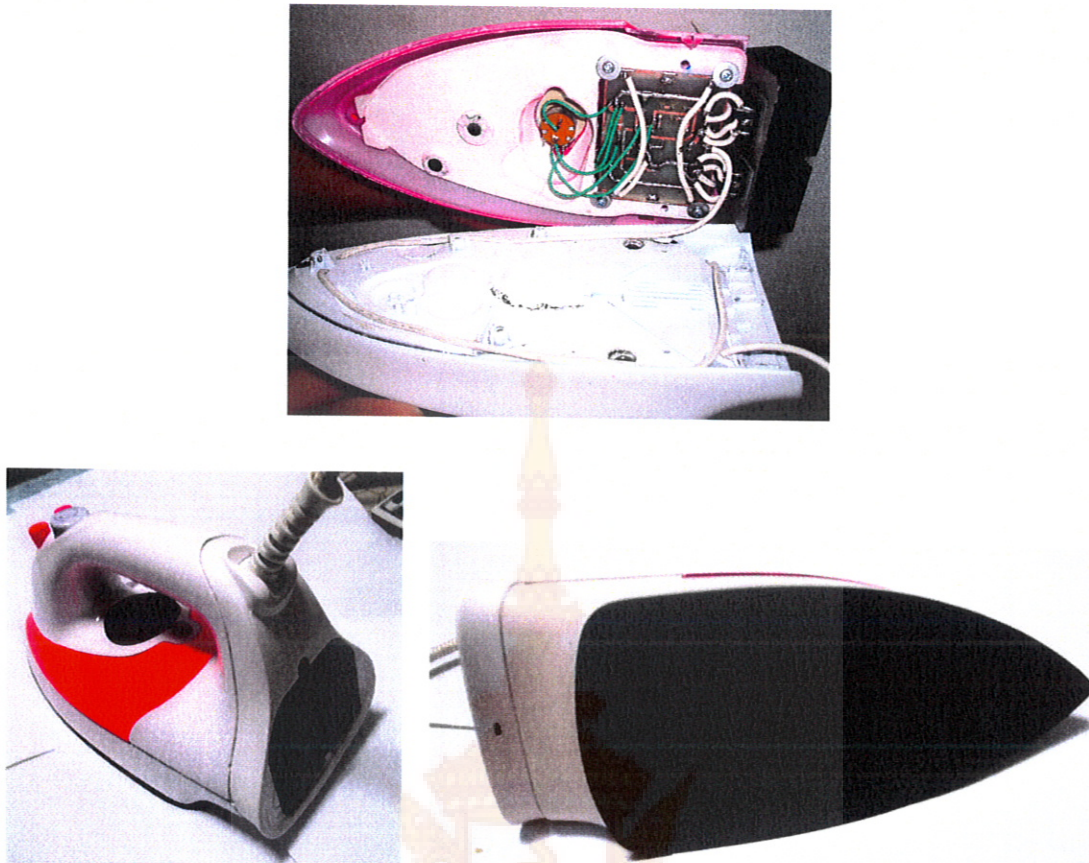
ดังนั้นจากลักษณะที่ถูกกำหนดนี้ทำให้เกิดข้อจำกัดทางโครงสร้างของเตารีด จึงยากต่อการออกแบบชุดควบคุมความร้อน ซึ่งต้องสามารถกำเนิดความร้อนได้มาก และสามารถถ่ายโอนความร้อนได้มากที่สุด จึงเลือกใช้ชุดควบคุมความร้อนที่เป็นทรงกระบอก เนื่องจากเป็นชุดควบคุมที่มีประสิทธิภาพสูงสุด และเกิดการสูญเสียน้อย

จากนั้นนำชุดควบคุมกระบอกมาร้อยผ่านแกนเหล็กโดยชุดควบคุมเหนี่ยววนำทำหน้าที่สร้างสนามแม่เหล็ก  $H$  ทำให้เกิดกระแสไฟฟ้าในโหลด ซึ่งในงานวิจัยนี้พันชุดควบคุมทั้งหมด 2 ชุด วาง 2 ข้าง ของแผ่นความร้อน เพื่อให้เกิดความร้อนทั่วพิภูมิของแผ่นความร้อน ดังภาพที่ 3.20



ภาพที่ 3.20 แสดงแผ่นความร้อนของเตารีด

หลังจากที่ได้ออกแบบแผ่นความร้อนที่ใช้งานในเตารีด และเตารีดที่ประกอบเสร็จสมบูรณ์แล้ว ในภาพที่ 3.21



ภาพที่ 3.21 แสดงเตารีดที่ประกอบเสร็จสมบูรณ์

### 3.3 เครื่องมือที่ใช้ในการวิจัย

เครื่องมือที่ใช้ในการทำวิจัย แบ่งเป็น 2 ส่วน คือ ส่วนในการสร้างและทดสอบเตารีด และส่วนที่ใช้ในการจำลองการแผ่กระจายความร้อนและกระแสไฟฟ้า

#### 3.3.1 เตารีดไฟฟ้าแบบสามไฟฟ้าเหนี่ยววน

เครื่องมือที่ใช้ในการสร้างและทดสอบ ดังภาพที่ 3.22 ได้แก่

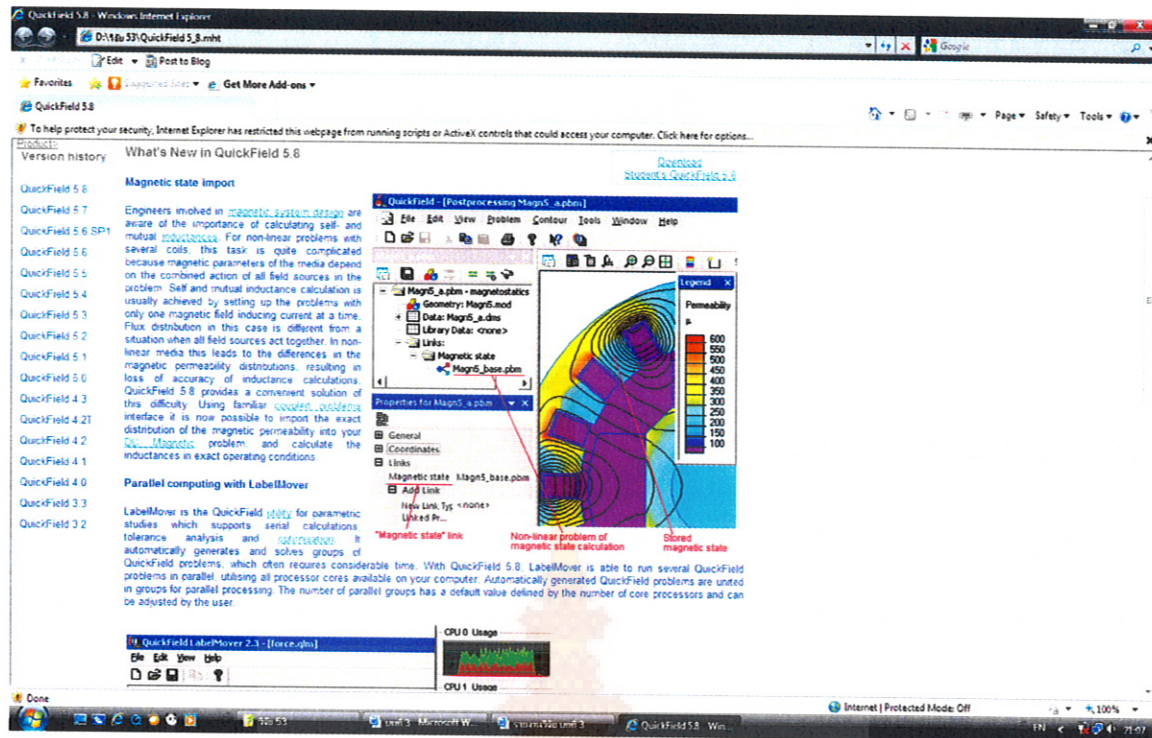
1. แหล่งจ่ายกำลังกระแสตรง
2. เครื่องวัดรูปสัญญาณ
3. เครื่องกำเนิดความถี่
4. เครื่องวัดกระแสและแรงดัน
5. เครื่องวัดอุณหภูมิ
6. เครื่องวัดกำลังงานไฟฟ้า



ภาพที่ 3.22 เครื่องมือที่ใช้ในการสร้างและทดสอบ

### 3.3.2 โปรแกรมจำลองการแผ่กระจายความร้อน

โปรแกรมที่ใช้ในการจำลองการแผ่กระจายความร้อนและกระแสไฟฟ้า ได้แก่ โปรแกรม QuickField ซึ่งเป็น free program เพื่อถูกการแผ่กระจายเส้นแรงแม่เหล็ก ทิศทางการแผ่กระจายเส้นแรงแม่เหล็ก กระแสไฟฟ้า และระดับของความร้อนที่เกิดขึ้นดังภาพที่ 3.23



ภาพที่ 3.23 แสดงโปรแกรม Quick Field ที่ใช้ในการจำลองการทำงาน

## บทที่ 4

### ผลการวิจัย

#### 4.1 การทดสอบวงจรการทำงาน

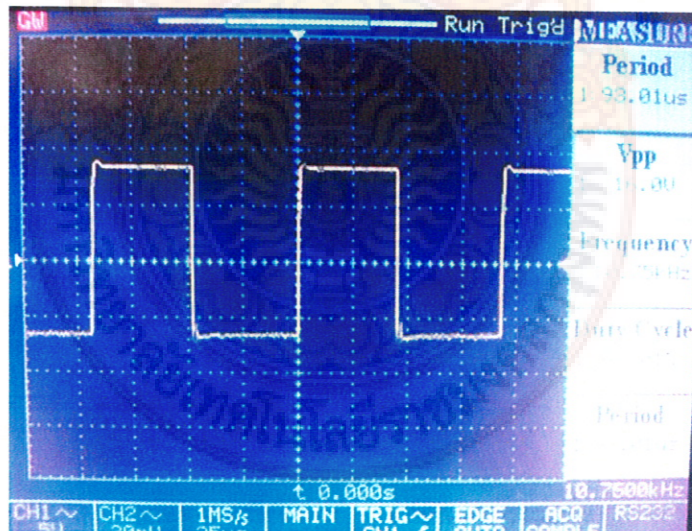
ผลการทดสอบการทำงานของระบบการให้ความร้อนแบบเหนี่ยวน้ำ และระบบที่นำไปใช้งานจริง ซึ่งประกอบด้วย

1. วงจรควบคุมกำเนิดสัญญาณความถี่
2. วงจรขยายและแยกสัญญาณทางแสง
3. วงจรอินเวอร์เตอร์
4. วงจรแหล่งจ่ายกำลัง
5. วงจรใช้งานในเตารีด

ผลการวัดสัญญาณแต่ละชุดของภาคต่างๆ ของวงจรที่ใช้จำลองการทำงานเป็นดังต่อไปนี้

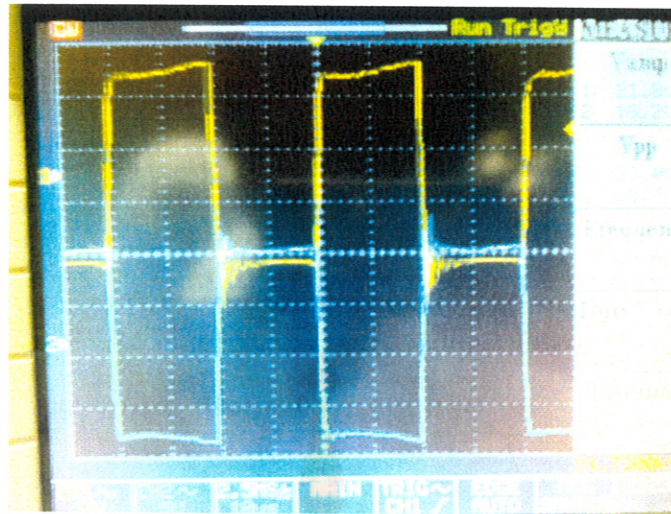
##### 4.1.1 วงจรควบคุมกำเนิดสัญญาณความถี่

ภาพที่ 4.1 แสดงสัญญาณที่ขา 4 ซึ่งเป็นเอาต์พุตของ IC4046 โดยจะทำหน้าที่สร้างสัญญาณ สี่เหลี่ยม



ภาพที่ 4.1 แสดงสัญญาณที่ได้จากการกำเนิดความถี่

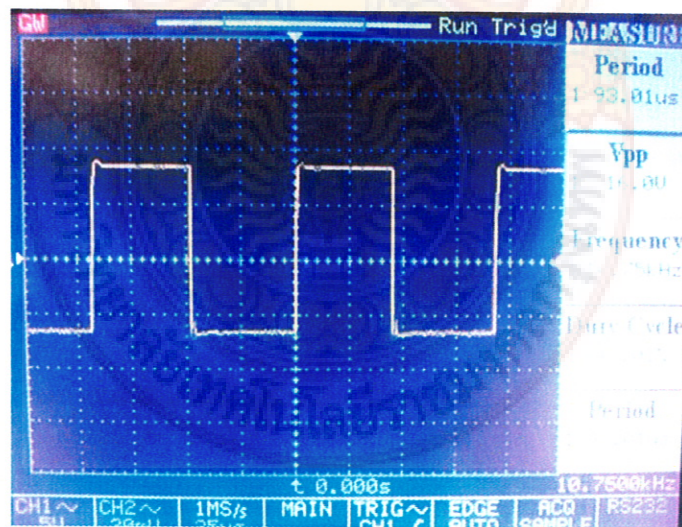
ภาพที่ 4.2 เป็นสัญญาณที่วัดได้จากเอาต์พุตของ IC 4081 ซึ่งผ่านการกลับเฟสของสัญญาณ โดย IC 4013 สัญญาณที่ได้จะมีเฟสกลับกัน 180 องศา และสัญญาณที่ได้นี้ถูกกำหนดค่าการ delay โดย วงจร RC delay



ภาพที่ 4.2 แสดงสัญญาณที่ได้จากการจดกลับเฟสสัญญาณ

#### 4.1.2 วิเคราะห์รายละเอียดสัญญาณทางแสง

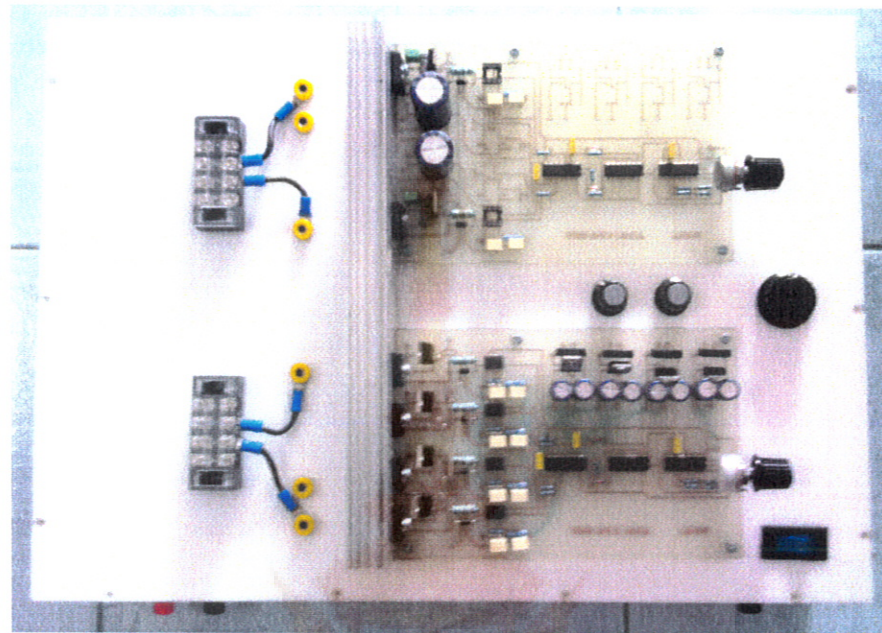
สัญญาณที่ได้จาก IC 4081 ทั้งสองสัญญาณจะถูกนำไปขับขาเกตของมอสเฟต ซึ่งสัญญาณแรกจะถูกนำไปขับเกตของมอสเฟตบนขวาและล่างซ้าย ส่วนสัญญาณที่สองจะถูกนำไปขับเกตของมอสเฟตบนซ้ายและล่างขวา โดยสัญญาณที่จะนำไปขับมอสเฟตให้ทำงานในวงจรอินเวอร์เตอร์นั้น สัญญาณในการขับแต่ละคุณนั้นจะต้องมีการเพื่อเวลาซึ่งกันและกันเอาไว้ จานนั้นนำสัญญาณที่ได้ไปผ่าน Opto ทำหน้าที่ขยายสัญญาณและสัญญาณที่ได้จาก Opto ที่จะถูกนำไปขับมอสเฟตแต่ละตัว



ภาพที่ 4.3 แสดงสัญญาณที่สำหรับขับเกต

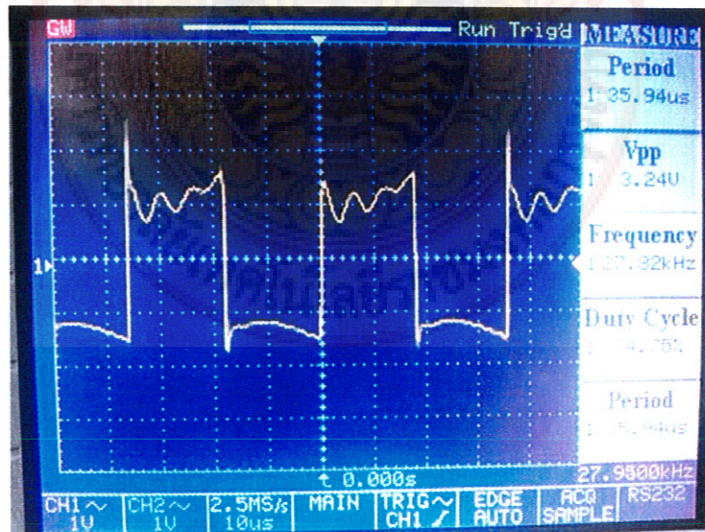
### 4.1.3 วงจรอินเวอร์เตอร์

การทดสอบวงจรอินเวอร์เตอร์ จะทำการทดสอบวงจรที่ปรับปรุงโดยใช้มอสเฟตแล้ว ดังภาพที่ 4.4



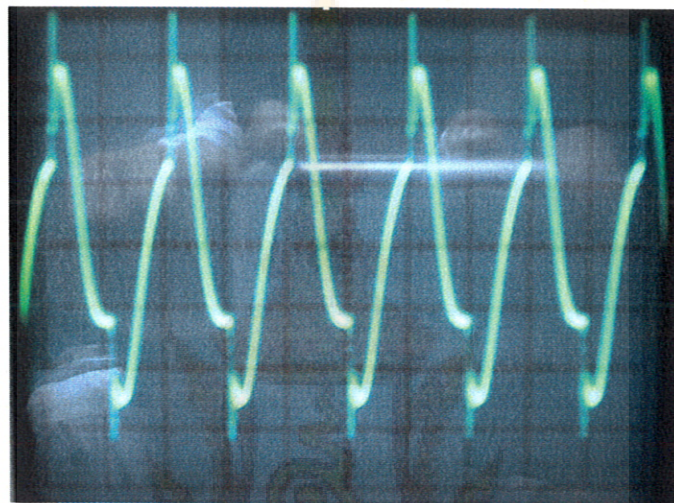
ภาพที่ 4.4 วงจรอินเวอร์เตอร์ที่ทำการปรับปรุงโดยใช้มอสเฟต

จากสัญญาณที่ได้จาก opto coupler ที่นำไปสั่งการสวิทช์ของมอสเฟต ระหว่างคู่  $Q_1$  กับ  $Q_4$  และ  $Q_2$  กับ  $Q_3$  ทำให้ทำงาน และเมื่อมอสเฟตทำงาน สัญญาณที่วัดได้จากการสวิทช์แสดงดังภาพที่ 4.5



ภาพที่ 4.5 แสดงสัญญาณจากการสวิทช์ของมอสเฟต

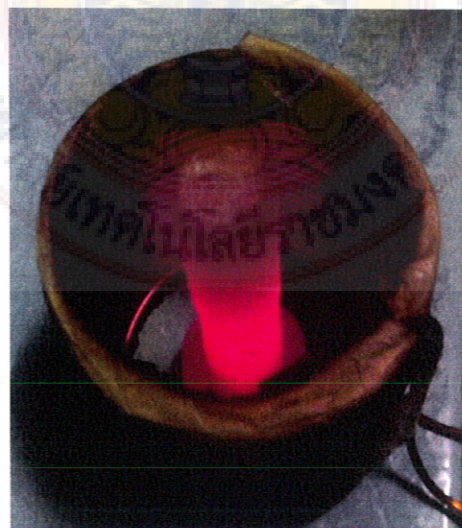
เมื่อมอสเฟตได้รับสัญญาณจาก Opto มอสเฟตจะทำงานเป็นการสวิทช์แรงดันที่ได้จากการแหล่งจ่ายแรงดันไฟสูง  $50V_{DC}$  จากนั้นกระแสของแหล่งจ่ายแรงดัน  $50V_{DC}$  จะไหลผ่านวงจรเรโซแนนซ์อนุกรมทางด้านเอาต์พุต ซึ่งประกอบด้วยตัวเก็บประจุขนาด  $1\mu F$  จำนวน 8 ตัว ที่ต่อแบบผสมกันอยู่ โดยมีค่าประจุรวม  $0.5\mu F$  และ  $L$  ค่า  $40\mu H$  โดยเกิดจากการพันขอลวดจำนวน 30 รอบ ซึ่งตัวเก็บประจุและขดลวดนี้จะเป็นตัวกำหนดความถี่เรโซแนนซ์ ( $f_r$ ) เมื่อกระแสไฟหล่อผ่านวงจรเรโซแนนซ์ทำให้เกิดการยุบตัวของตัวของสนามแม่เหล็กตัดผ่านเหล็ก ซึ่งเรียกว่ากระแสไฟลุก เหล็กจึงเกิดความร้อนในขณะที่วงจรทำงาน และเหล็กเกิดความร้อนนี้จะได้สัญญาณที่คร่อม  $L$  ดังภาพที่ 4.6



ภาพที่ 4.6 แสดงสัญญาณที่ได้จากการวัดคร่อมขอลวด

#### 4.1.4 ลักษณะของเหล็กเมื่อถูกเหนี่ยวนำ

เมื่อกระแสไฟหล่อผ่านขดลวดทำให้เหล็กร้อนและแดงดังภาพที่ 4.7



ภาพที่ 4.7 แสดงลักษณะการเกิดความร้อนจากการเหนี่ยวนำ

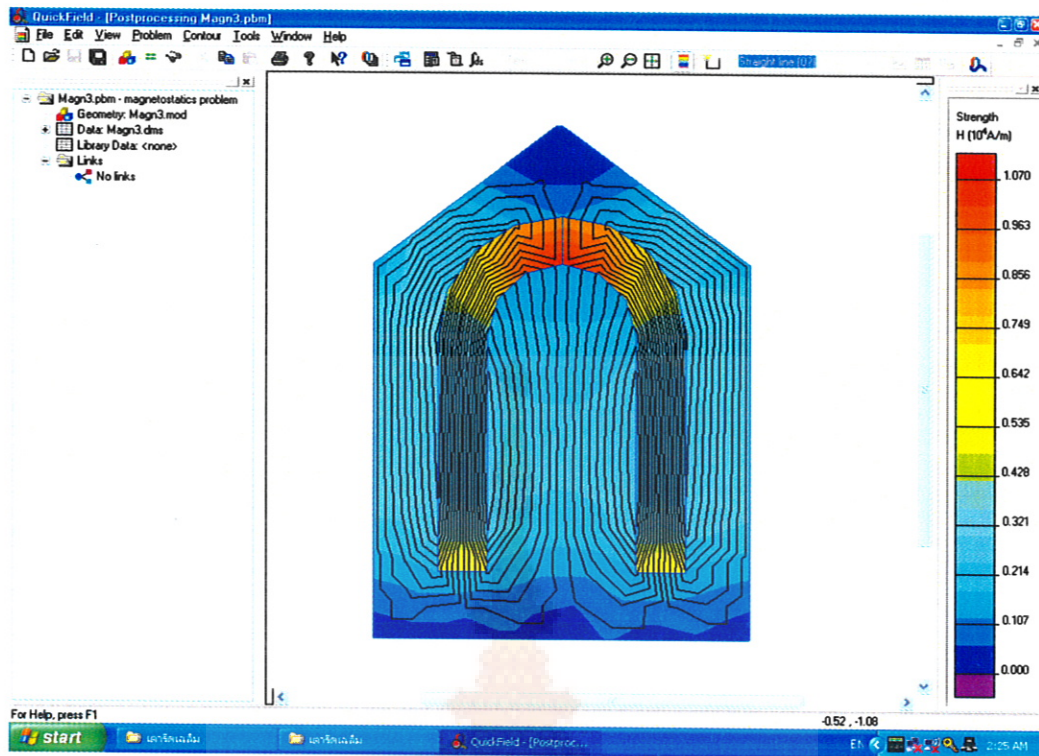
## 4.2 การวิเคราะห์การทดสอบชุดเหนี่ยวน้ำความร้อน

### 4.2.1 ผลจากการทดสอบการแผ่กระจายความร้อน

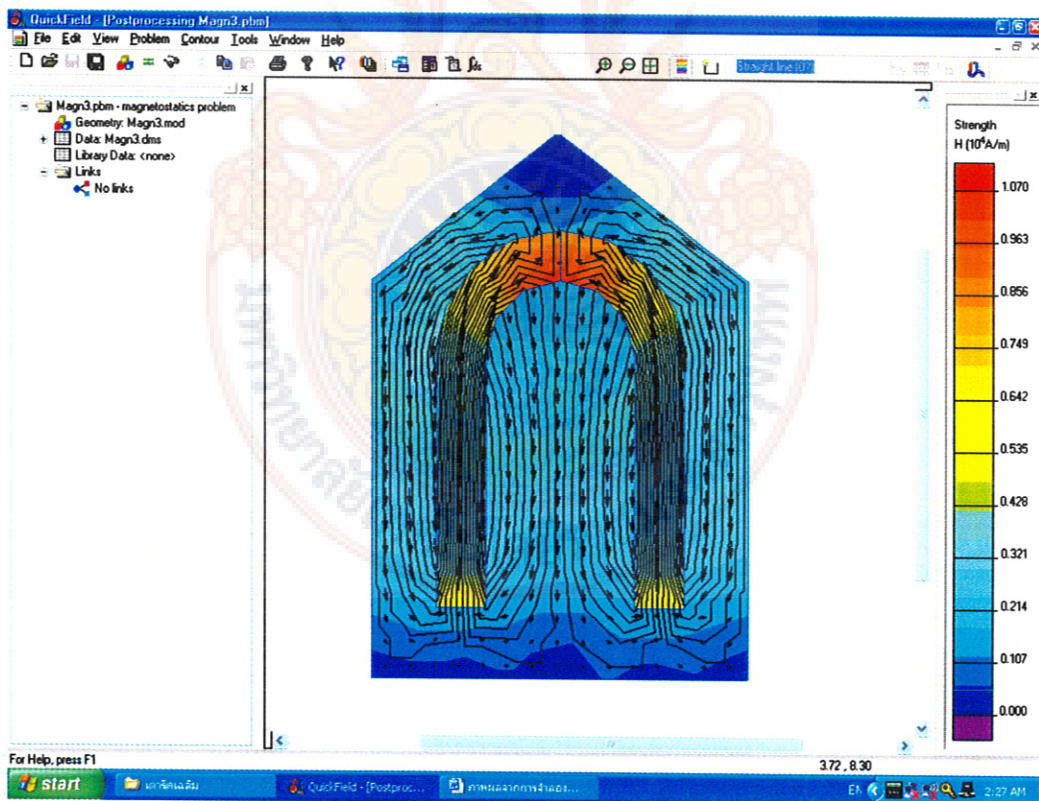
จากผลที่ได้จากการทดสอบพบว่า การแผ่กระจายของสนามแม่เหล็กไฟฟ้าจะมีลักษณะกระจายออกจากร่องกลางของชุด漉ดเหนี่ยวน้ำ โดยเห็นได้จากการทำปฎิริยา กับเหล็กที่ใส่ลงตรงกลางของชุด漉ดเหนี่ยวน้ำ พบว่าเหล็กจะเกิดความร้อนขึ้นมากที่สุดที่บริเวณตรงกลางของชุด漉ดเหนี่ยวน้ำ แล้วจะค่อยๆ ร้อนขึ้นเรื่อยๆ เนื่องจากสนามแม่เหล็กไฟฟ้ากระจายผ่านเหล็กเรื่อยๆ และยังได้สังเกตเห็นอีกว่า เหล็กที่มีขนาดใหญ่จะร้อนข้ากกว่าเหล็กที่มีขนาดเล็ก โดยทฤษฎีแล้วการที่เหล็กเกิดความร้อนได้เร็วหรือซักขึ้นอยู่กับค่า Skin Effect (ความลึกผิว) เนื่องจากยิ่งความถี่สูงมากๆ ค่า Skin Effect ก็จะมีค่าน้อย ทำให้เมื่อไส้เหล็กขนาดเล็กกว่าทำให้เกิดความร้อนเร็วกว่าเหล็กที่มีขนาดใหญ่ โดยจะเกิดความร้อนขึ้นที่ผิวของเหล็กแล้วจะเกิดการกระจายความร้อนหรือเกิดการนำพาความร้อนขึ้น เมื่อเหล็กมีขนาดเล็กก็จะเกิดการนำพาความร้อนได้เร็วกว่าเหล็กที่มีขนาดใหญ่ เพราะมีพื้นที่ที่เล็กกว่าและการที่ชุด漉ดเหนี่ยวน้ำมีขนาดรัศมีที่เล็ก จะมีการทำปฎิริยา กับเหล็กได้ถูกว่าชุด漉ดเหนี่ยวน้ำที่มีขนาดรัศมีที่ใหญ่ เนื่องจากชุด漉ดเหนี่ยวน้ำที่เล็ก สนามแม่เหล็กไฟฟ้าจะการกระจายที่แคบและจะทำให้สนามแม่เหล็กมีความหนาแน่นมากกว่าชุด漉ดเหนี่ยวน้ำที่มีขนาดรัศมีที่ใหญ่กว่า โดยสนามแม่เหล็กจะมีการแผ่กระจายออกมาก และจะทำให้สนามแม่เหล็กแพร่โอนตรงเหล็กน้อย ทำให้ร้อนข้ากกว่าชุด漉ดเหนี่ยวน้ำที่มีขนาดเล็กกว่า

### 4.2.2 ผลจากการจำลองการทำงานของ การแผ่กระจายความร้อน

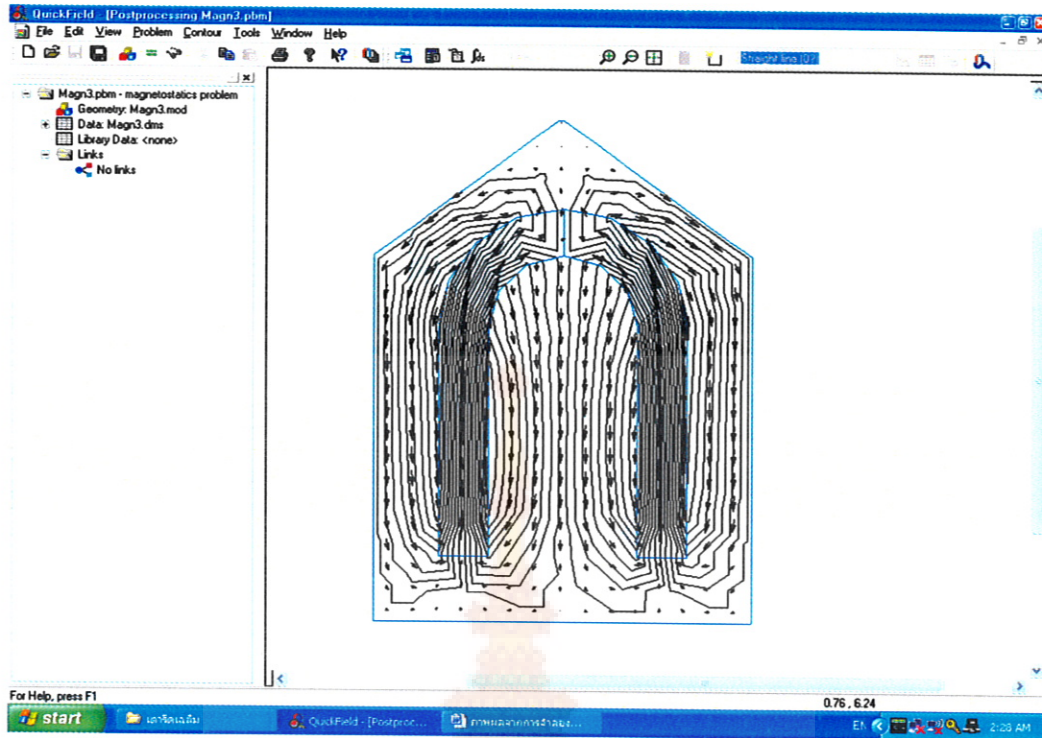
จากการจำลองการทำงานด้วยโปรแกรม QuickField จำลองการทำงาน เพื่อถูกการแผ่กระจายเส้นแรงแม่เหล็ก ทิศทางการแผ่กระจายเส้นแรงแม่เหล็ก และระดับของความร้อนที่เกิดขึ้น ดังภาพที่ 4.8 ถึง ภาพที่ 4.11 โดยมีอุณหภูมิอยู่ที่ 100 – 600 องศาเซลเซียส



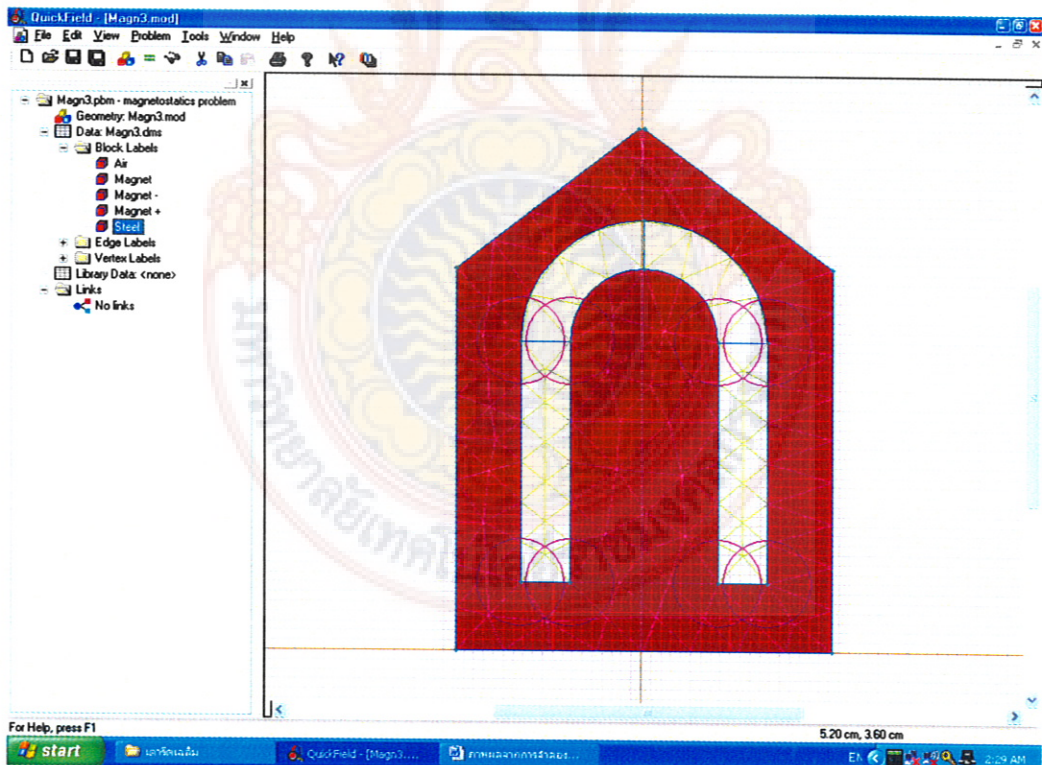
ภาพที่ 4.8 แสดงการแผ่กระจายเส้นแรงแม่เหล็กและระดับความร้อน



ภาพที่ 4.9 แสดงทิศทางการแผ่กระจายเส้นแรงแม่เหล็กและระดับความร้อน



ภาพที่ 4.10 แสดงเส้นแรงแม่เหล็กและการแผ่กระจายเส้นแรงแม่เหล็ก



ภาพที่ 4.11 แสดงจุดร่วมของการแผ่กระจายเส้นแรงแม่เหล็ก

#### 4.2.3 ผลการทดสอบการให้ความร้อน

จากการทดลองให้ความร้อนโดยการเหนี่ยวนำ โดยทดลองให้ความร้อนกับเหล็กขนาดเส้นผ่าศูนย์กลาง 52 มิลลิเมตร ยาว 60 มิลลิเมตร ความถี่ที่ใช้  $35.588\text{ kHz}$  ค่า  $L = 40\ \mu\text{H}$  และ  $C = 0.5\ \mu\text{F}$

##### 4.2.3.1 ทดสอบการเพิ่มแรงดันให้กับมอสเฟตกำลัง

เพื่อทำการวัดค่าของพลังงานที่ใช้ และอุณหภูมิที่ได้ เพื่อหาความสัมพันธ์ของพลังงานที่ใช้ กับอุณหภูมิที่ได้ แรงดันที่ใช้ในการทดสอบ ตั้งแต่  $10V_{DC} - 60V_{DC}$  โดยทำการเพิ่มแรงดันทีละ  $5V_{DC}$  ได้ผลการทดสอบดังตารางที่ 4.1

ตารางที่ 4.1 แสดงความสัมพันธ์ของกระแส แรงดัน และอุณหภูมิ

แรงดันมอสเฟต (V)	แรงดันของสัญญาณ (V)	กระแสที่ใช้ (A)	อุณหภูมิที่วัดได้ (°C)
10	7.2	0.96	42
15	11.0	1.35	60
20	15.2	1.63	89
25	16.2	1.90	146
30	17.4	2.06	188
35	19.6	2.21	252
40	28.2	2.41	273
45	32.2	3.43	326
50	33.9	3.71	>360
55	35.1	3.92	>360
60	36.6	4.45	>360

#### 4.2.3.2 การทดสอบเปลี่ยนความถี่เพื่อดูผลของความร้อนที่ได้

ทำการเปลี่ยนความถี่ที่ใช้ในการเหนี่ยวนำสนามแม่เหล็ก เพื่อศึกษาถึงพลังงานที่ใช้ และอุณหภูมิที่ได้ โดยคงที่แรงดันที่ใช้ และทำการเปลี่ยนแปลงความถี่ ดังตารางที่ 4.2

ตารางที่ 4.2 แสดงความสัมพันธ์ของพลังงานที่ใช้และอุณหภูมิที่ได้เมื่อทำการปรับความถี่ในการใช้งาน

ความถี่ (kHz)	แรงดันที่มีอสเพต (V)	แรงดันที่โหลด (V)	กระแสที่โหลด (A)	อุณหภูมิ (°C)
35	49.2	30.6	3.73	>360
40	59.4	13.2	0.76	102
40	50.6	27.8	3.17	332
45	51.4	25.0	2.92	304
50	53.8	20.8	2.20	260
55	55.0	19.8	1.89	176
60	57.4	16.6	1.28	144
65	58.7	14.6	0.93	130
75	61.0	11.0	0.54	83
80	61.1	11.5	0.42	80
85	61.3	12.0	0.40	65
90	61.5	12.3	0.41	75
95	61.71	12.4	0.45	69
100	62.6	11.0	0.32	66
105	62.6	10.8	0.29	55

#### 4.2.3.3 ผลการทดสอบจากการเปลี่ยนแปลงความถี่

โดยวงจรเรโซแนนซ์เป็นลักษณะของขดลวดที่พันยึดติดกับแผ่นความร้อนของเตารีด มีการวางแผนคล้ายกับการวางแผนขดลวดความร้อนของเตารีดที่ใช้ในปัจจุบัน ทำให้การกระจายความร้อนเหมือนกัน จากนั้นได้ทำการทดลองวงจรโดยใช้ความถี่ที่  $45.94 \text{ kHz}$ ,  $L = 21 \mu\text{H}$  ขณะมีโหลด  $C = 1 \mu\text{F}$  และทำการปรับเปลี่ยนความถี่จนได้พลังงานตามต้องการ มีผลการทดลองดังนี้



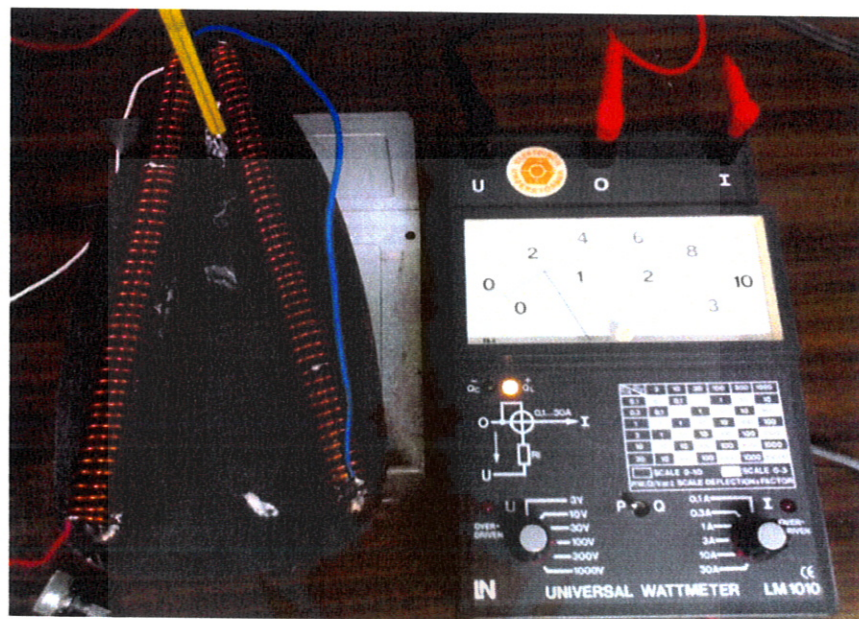
ภาพที่ 4.10 แสดงสัญญาณที่วัดจากขดลวดที่พันยึดกับแผ่นความร้อน

การทำงานของวงจรที่ความถี่เหมาะสม เป็นผลทำให้ได้ความร้อนสูงสุดจากผิวน้ำของแผ่นความร้อน โดยในการทดลองเท่ากับ 154 องศา โดยได้ทำการวัดกำลังงานที่ใช้ในวงจร ซึ่งวัดกำลังงานที่ใช้งานอยู่ที่ 210 วัตต์ ซึ่งเป็นกำลังงานสูงสุดที่เตารีดตัวนี้ใช้ในการเปรียบเทียบกับเตารีดทั่วไป ซึ่งได้ความร้อนสูงสุดไม่เกิน 140 องศา ในกรณีที่ทำการปรับความร้อนสูงสุด ถ้าเปรียบเทียบที่ 140 องศา เท่ากัน เตารีดตัวนี้จะใช้พลังงานไม่เกิน 200 วัตต์ จึงกำหนดพลังงานที่ใช้ของเตารีดที่สร้างได้ไม่เกิน 200 วัตต์

ตารางที่ 4.3 ผลการทดลองจากวงจรใช้งานจริงเมื่อมีโหลดเป็นแผ่นหน้าเตารีด

พลังงานที่ใช้ (W)	ความถี่ (kHz)	แรงดันมอสเฟต (V)	กระแส (A)	อุณหภูมิ (°C)
50	255.8	51.1	0.8	48
70	174.26	56.5	1.23	62
90	145.05	56.7	1.52	69
110	109.26	64.1	1.97	83
130	86.81	52.5	2.55	90
150	74.82	51.1	2.92	102
170	67.01	50.01	3.33	116
190	61.59	49.81	3.61	132
210	46.30	49.50	3.99	154

เมื่อต้องการให้ความร้อนลดลง สามารถทำได้โดยการปรับเปลี่ยนความถี่ดังตารางที่ 4.3 ซึ่งเป็นการกำหนดให้เกิดการเปลี่ยนแปลงของกระแสและแรงดัน แต่ทั้งนี้กำลังงานที่ใช้ในเตารีดไม่เกิน 200 วัตต์ ดังแสดงในภาพที่ 4.11



ภาพที่ 4.11 แสดงกำลังงานที่ใช้ของเตารีดขณะความร้อนสูงสุด

จากผลการทดลองเมื่อเรานำผลที่ได้มาคำนวณหาค่าพลังงานไฟฟ้า โดยคิดค่ากระแสเฉลี่ยที่  $4\text{ A}$  และแรงดันที่  $50\text{ V}_{dc}$   
คำนวณหากำลังงานที่ใช้

$$\begin{aligned} P &= V \times I \\ &= 50 \times 4 \\ &= 200 \text{ วัตต์} \end{aligned}$$

และเมื่อค่าพลังงานไฟฟ้าเฉลี่ยหน่วยละ 3 บาท จะได้ผลดังนี้

$$\begin{aligned} \text{ค่าไฟฟ้า(บาทต่อชั่วโมง)} &= \frac{P_{in} \times H_r}{1000} \times \text{bath per unit} \\ &= \frac{50 \times 4 \times 1}{1000} \times 3 \\ &= 0.6 \text{ bath/hour} \end{aligned}$$

## บทที่ 5

### สรุปผลการวิจัยและข้อเสนอแนะ

#### 5.1 สรุปผลการวิจัย

หลักการให้ความร้อนแก่โลหะด้วยวิธีการเหนี่ยวนำของสนามแม่เหล็กเข้าไปในชิ้นโลหะ ทำให้เกิดกระแสไฟฟ้าเป็นกระแสไฟฟ้าที่เกิดขึ้นในชิ้นโลหะ เมื่อสนามแม่เหล็กรอบๆ มีการเปลี่ยนแปลงกระแสไฟฟ้านี้ก่อให้เกิดพลังงานความร้อนที่ต้องการในชิ้นโลหะ โดยสามารถแบ่งการทำงานของระบบได้เป็น 5 ส่วน คือ วงจรกำเนิดความถี่ ที่ใช้กำเนิดความถี่ที่นำไปขับสวิตซ์มอสเฟต ซึ่งสามารถปรับเปลี่ยนความถี่ได้ ส่วนที่สอง คือ วงจรขับเกตและแยกกราว์ด ทำหน้าที่ป้อนแรงดันให้กับมอสเฟตกำลังและแยกแรงดันสูงกับแรงดันต่ำ พร้อมกับแยกแรงดันของวงจรขับเกตแต่ละชุด ส่วนของวงจรอินเวอร์เตอร์ ซึ่งเป็นวงจรหลักที่ทำให้กระแสไฟฟ้าผ่านโหลด ส่วนของวงจรเรโซแนนซ์ที่ทำให้เกิดพลังงานสูงสุด และส่วนสุดท้ายคือส่วนของการจ่ายแรงดันให้กับวงจรทั้งหมด ซึ่งทั้งหมดนี้เป็นที่ทำให้เกิดความร้อนที่แผ่นความร้อนของเตารีด ในการวิจัย สามารถสรุปผลจากการวิจัยและทดสอบได้ดังนี้

1. ในการจำลองการทำงานด้วยโปรแกรมจำลองการทำงานทำให้เห็นถึงทิศทางของสนามแม่เหล็ก กระแสไฟฟ้า และความร้อนที่เกิดขึ้นในแต่ละชุด ทำให้สามารถวิเคราะห์ถึงความร้อนที่เกิดขึ้นว่าเหมาะสมสมหรือไม่
2. ในการปรับเปลี่ยนแรงดันที่ป้อนให้กับวงจรควบคุมการเหนี่ยวนำ ทำให้ได้ว่าเมื่อเพิ่มแรงดันมากขึ้น โดยคงความถี่ในการทำงานไว้ จะได้อุณหภูมิที่แผ่นรีดสูงขึ้นด้วย
3. ในการเปลี่ยนแปลงความถี่ของวงจรควบคุมนั้น จะได้ว่า เมื่อเพิ่มความถี่ให้สูงขึ้นจากความถี่เรโซแนนซ์ของชุดคอยล์เหนี่ยวนำแล้ว อุณหภูมิที่ได้จะลดลง
4. จากการทดสอบการสื้นเปลืองพลังงานเบรียบเทียบกับเตารีดแบบเดิมจะได้ว่า ที่อุณหภูมิเท่ากัน อัตราการสื้นเปลืองพลังงานจะน้อยกว่าเตารีดทั่วไปประมาณ 5 เท่า

จากการวิจัยทำให้สามารถสรุปผลของการวิจัยตามจุดประสงค์ของการวิจัยได้ดังนี้

1. จากการวิจัยทำให้สามารถสร้างเตารีดที่ใช้พลังงานน้อยกว่าเตารีดที่ใช้ในปัจจุบัน ซึ่งใช้พลังงานประมาณ 225 วัตต์ ในอุณหภูมิที่เท่ากันกับเตารีดทั่วไป
2. จากทดลองระบบการให้ความร้อนโดยการเหนี่ยวนำ ทำให้เข้าใจหลักการทำงานของระบบเป็นอย่างดี
3. ความถี่ที่ทำให้วัดได้รับพลังงานสูงสุด คือ ความถี่เรโซแนนซ์
4. สามารถสร้างเตารีดแบบสนามแม่เหล็กไฟฟ้าเหนี่ยวนำต้นแบบได้สำเร็จ

## 5.2 ปัญหาของงานวิจัย

จากการวิจัยสามารถวิเคราะห์และสรุปปัญหาต่างๆได้ดังนี้

1. mosfet กำลังที่ใช้มีอัตราการทนกระแสต่ำ
2. การสูญเสียจากการสวิตซ์ ที่เกิดขึ้นที่ตัว mosfet กำลังจะทำให้มอสเฟตเสียหายได้
3. เนื่องจากเตารีดมีขนาดเล็ก ทำให้ยากต่อการออกแบบโครงสร้างของและแผ่นความร้อนของเตารีดและวงจร
4. วงจรในเตารีดใช้กระแสสูง ทำให้ยากต่อการออกแบบแหล่งจ่ายกำลัง
5. ความทนทานในการใช้งานน้อย เนื่องจากยังมีการเสียหายของวงจรควบคุมได้ง่าย

## 5.3 ข้อเสนอแนะ

1. การออกแบบเตารีดระบบเหนี่ยวนำความร้อน ควรออกแบบให้สามารถปรับอุณหภูมิให้ละเอียดมากกว่าเดิม และสามารถควบคุมความร้อนให้คงที่กว่าเดิม
2. จากการทำงานของระบบการให้ความร้อนโดยการเหนี่ยวนำซึ่งใช้ความถี่สูง ภาค Inverter เกิดการสวิตซ์ด้วยความถี่สูง ทำให้เกิดความร้อนที่มอสเฟตกำลัง จึงต้องออกแบบระบบระบายความร้อนให้ดี
3. ในการออกแบบแพรงจรต้องมีขนาดเล็ก เพื่อให้สามารถบรรจุแพรงจรลงในเตารีดได้
4. ต้องมีการออกแบบแหล่งจ่ายกำลังใหม่ให้มีขนาดเล็กลง เนื่องจากแหล่งจ่ายกำลังถ้ามีแรงดันสูงอุปกรณ์ที่ใช้จะมีขนาดใหญ่ และถ้าออกแบบให้ใช้กระแสสูงจะจะมีขนาดใหญ่
5. ต้องมีการออกแบบและทดสอบความทนทานในการใช้งานให้มากกว่านี้ เนื่องจากยังมีการเสียหายของวงจรควบคุมได้ง่าย
6. ควรมีการทดสอบในการทำงานด้วยชุดคอยล์ในรูปแบบอื่นๆเพิ่มเติม เพื่อศึกษาถึงรูปแบบการกระจายความร้อนที่เหมาะสมสำหรับการรีด
7. ควรมีการถ่ายภาพการแพร์กระจายความร้อนด้วยกล้องถ่ายภาพความร้อนเปรียบเทียบกับการทดสอบ และการจำลองการทำงาน

## บรรณานุกรม

- คงศักดิ์ รัตนนิยมชัย และ สำราญ สันทาลุนย์. 2550. การออกแบบเครื่องให้ความร้อนแบบเหนี่ยวแน่น  
โครงงานวิศวกรรมโทรคมนาคม สำนักวิชาชีวกรรมศาสตร์ มหาวิทยาลัยเทคโนโลยีสุรนารี.  
ชัยพร กิตติรัตน์เพบูลย์ และ เขมราช จากรุตา. เทารีดประสิทธิภาพสูง. ปัญหาวิจัยวิศวกรรมศาสตร์  
บัณฑิต คณะวิศวกรรมศาสตร์ มหาวิทยาลัยเทคโนโลยีพระจอมเกล้าธนบุรี.  
นภดล นุนนำม. 2539. เครื่องให้ความร้อนแบบเหนี่ยวแน่นนิดปรับความถี่แบบอัตโนมัติ.  
วิทยานิพนธ์ปริญญาวิศวกรรมศาสตร์ สถาบันเทคโนโลยี  
พระจอมเกล้าฯ พระนครเหนือ.  
ประเสริฐ เขียนนอก, ประณม บุญทน และ คำเพียร สะอาดศรี. การใช้พลังงานกับวิถีชีวิตชุมชน.  
มหาวิทยาลัยราชภัฏอุบลราชธานี.  
รุ่งมล สีหวงศ์. 2541. ลักษณะการใช้ไฟฟ้าในบ้านอยู่อาศัย. วิทยานิพนธ์ปริญญาวิศวกรรมศาสตร์  
มหาบัณฑิต คณะพลังงานและวัสดุ มหาวิทยาลัยเทคโนโลยีพระจอมเกล้าธนบุรี.  
วงศ์วิชิต หอมโภคล และ ปณคพล แย้มครวต. 2552. การออกแบบเครื่องให้ความร้อนแบบ  
เหนี่ยวแน่นความถี่สูง. โครงงานวิศวกรรมโทรคมนาคม สำนักวิชาชีวกรรมศาสตร์  
มหาวิทยาลัยเทคโนโลยีสุรนารี.  
วิรักรอง ประสานวงศ์. 2548. การประหยัดพลังงานในเตารีดไฟฟ้า. วิทยานิพนธ์ปริญญาครุศาสตร์  
อุตสาหกรรมมหาบัณฑิต คณะครุศาสตร์อุตสาหกรรมและเทคโนโลยี มหาวิทยาลัย  
เทคโนโลยีพระจอมเกล้าธนบุรี.  
สำนักงานมาตรฐานผลิตภัณฑ์อุตสาหกรรม. 2547. มาตรฐานผลิตภัณฑ์อุตสาหกรรมเตารีดเฉพาะ  
ความปลอดภัย (มอก. 366 – 2547 ).  
ศุภกิจ ตาพล, สุภวัฒน์ สมดัว และ อรรถชัย วิเศษโวหาร. 2547. เตาไฟฟ้าแบบเหนี่ยวแน่น.  
ปริญญา尼พนธ์อุตสาหกรรมศาสตรบัณฑิต คณะอุตสาหกรรมศาสตร์ สถาบันเทคโนโลยี  
พระจอมเกล้าฯ พระนครเหนือ.

Byoung-Kuk Lee, Jin-Woo Jung, Bum-Seok, Dong-Seok Hyun “ A New Half-Bridge  
Inverter Topology with Active Auxiliary Resonant Circuit Using Insulated Gate  
Bipolar Transistor for Induction Heating Applications ” IEEE 1997.

C. Patummakasorn, S. Tangwachirapan and C. Thongsopa. “Development of  
Inductive Regional Heating By Energy Control at Frequency 2.45 GHz”  
IEEE Conference Hyperthermia APMC Dec 2007.

E.J. Davies. “Conduction and Induction Heating”.

E.J.Dede, V. Eeteve, J.V. Gonzalez, J.Garcia, L. Lapiedra and M. Fernandez. “ Design of A

Series Resonant Converter For Induction Heating" IEEE 1991.  
J. Davice and P. Simpson Induction Heating Handbook McGraw-Hill, 1979.  
Lawrence R. Egan and Edward P. Furlani A Computer Simulation of an Induction  
Heating System IEEE TRANSACTIONS ON MAGNETICS. VOL. 21, NO. 5.  
SEPTEMBER 1991.  
Valery Rudnev, Don Loveless, Raymond Cook and Micah Black. "Handbook of  
Induction Heating".

